

東京電力福島第一原子力発電所における
事故の分析に係る検討会
第14回会合

議事次第

1. 日 時 令和2年10月16日(金) 14:00 ~ 18:00
2. 場 所 原子力規制委員会 13階会議室B、C、D
3. 議 題
 - (1) 3号機原子炉格納容器内の圧力挙動について
 - (2) 2号機及び3号機原子炉建屋内調査について
 - (3) 原子炉格納容器耐圧強化ベントラインの熱流動解析について
 - (4) その他
4. 配布資料
 - 資料1：議事次第
 - 資料2：3号機原子炉格納容器内の圧力挙動について
 - 資料2-1：福島第2原子力発電所1号機の格納容器圧力挙動について〔東京電力ホールディングス株式会社〕第13回会合資料の再掲
 - 資料2-2：福島第一原子力発電所3号機のRCIC運転中の原子炉圧力挙動について〔東京電力ホールディングス株式会社〕第13回会合資料の再掲
 - 資料2-3：3号機の原子炉圧力及び格納容器圧力の挙動について(2)
 - 資料3：現地調査の実施状況について
 - 資料3-1：2号機原子炉建屋内の現地調査時の動画(令和2年10月8日原子力規制庁撮影)
 - 資料3-2：3号機原子炉建屋内の現地調査時の動画(令和2年9月18日原子力規制庁撮影)
 - 資料3-3：3号機原子炉建屋内(4階)の現地調査時の動画(令和2年9月18日原子力規制庁撮影)
 - 資料3-4：1号機タービン建屋内の現地調査時の動画(令和2年10月9日原子力規制庁撮影)
 - 資料4：原子炉格納容器耐圧強化ベントラインの熱流動解析について
 - 資料4-1：原子炉格納容器耐圧強化ベント及びSGTSライン熱流動解析-1号機及び2号機の結果-〔国立研究開発法人日本原子力研究開発機構〕

資料4-2：JAEAにおける試料分析について〔国立研究開発法人日本原子力研究開発機構〕

資料5：これまでの事故分析検討会における論点の整理

資料5-1：追加説明資料 シールドプラグの設計等について

資料6：参考資料等

- ・1～4号機非常用ガス処理系（SGTS）の設計等について

3号機原子炉格納容器内の圧力挙動について

- 資料2-1: 福島第2原子力発電所1号機の格納容器圧力挙動について[東京電力ホールディングス株式会社]第13回会合資料の再掲
- 資料2-2: 福島第一原子力発電所3号機のRCIC運転中の原子炉圧力挙動について[東京電力ホールディングス株式会社]第13回会合資料の再掲
- 資料2-3: 3号機の原子炉圧力及び格納容器圧力の挙動について(2)

福島第2原子力発電所1号機 の格納容器圧力挙動について

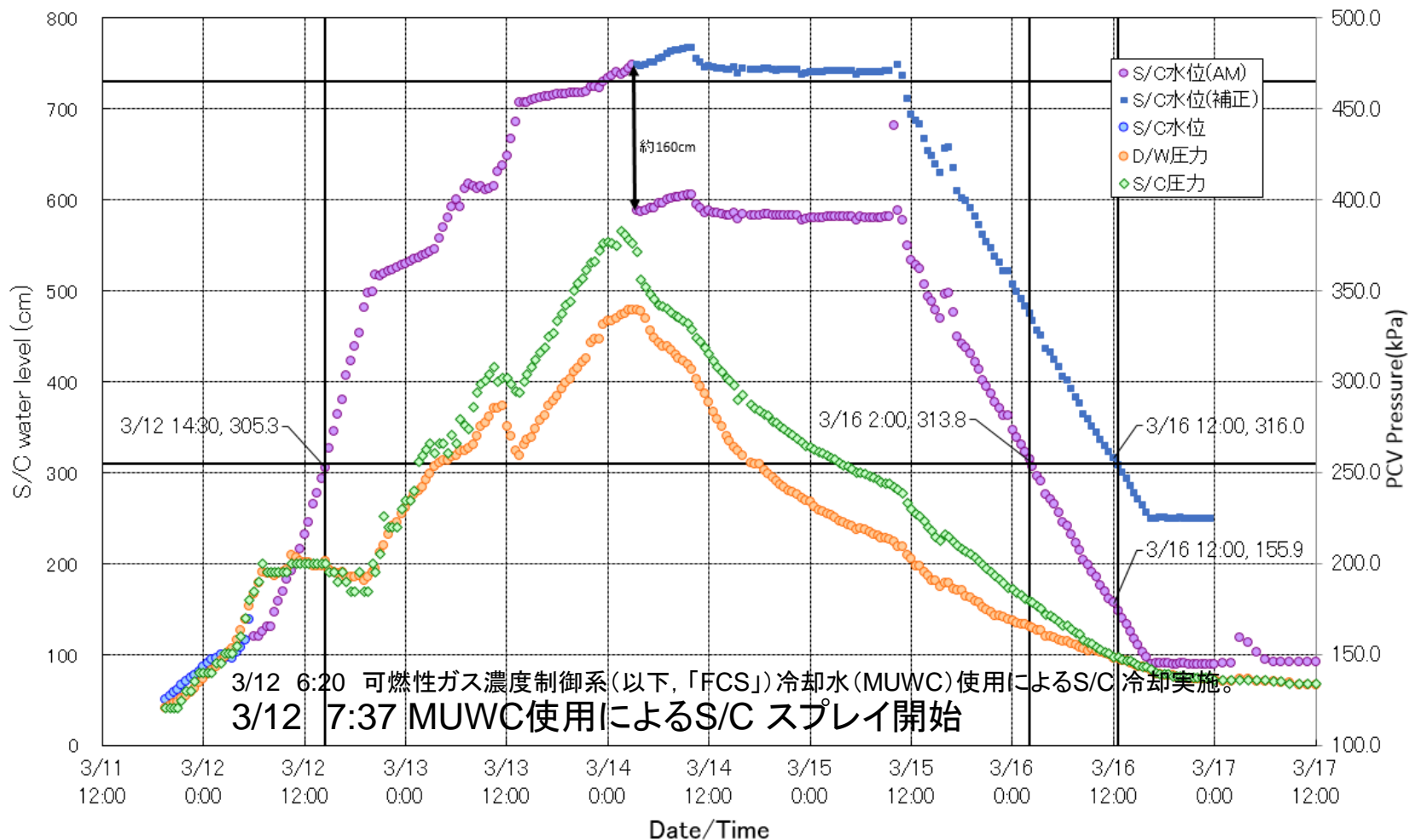
2020年9月3日

1. はじめに

- 第11回の事故分析検討会において、福島第二原子力発電所1号機（以下、「2F1」という）の真空破壊弁のガスケットずれについて議論があった。
- ガスケットずれによるD/WとS/C間の気体の流れについては、2F1の冷温停止までの期間にS/C圧力 $>$ D/W圧力となる期間が確認できることから、S/CとD/Wに圧力差が発生し、自由に気体が行れる状況にはなかったことが確認された。
- 一方で、この圧力差は真空破壊弁の作動圧よりも高く、本来は均圧化されていなくてはならない、S/C圧力 $>$ D/W圧力の状況にあって、真空破壊弁に期待される機能が果たされていないのではないかとこの質問があった
- 本資料は当該期間中のS/C圧力のD/W圧力の測定値の関係について、設計・運転員操作情報に基づき説明する。

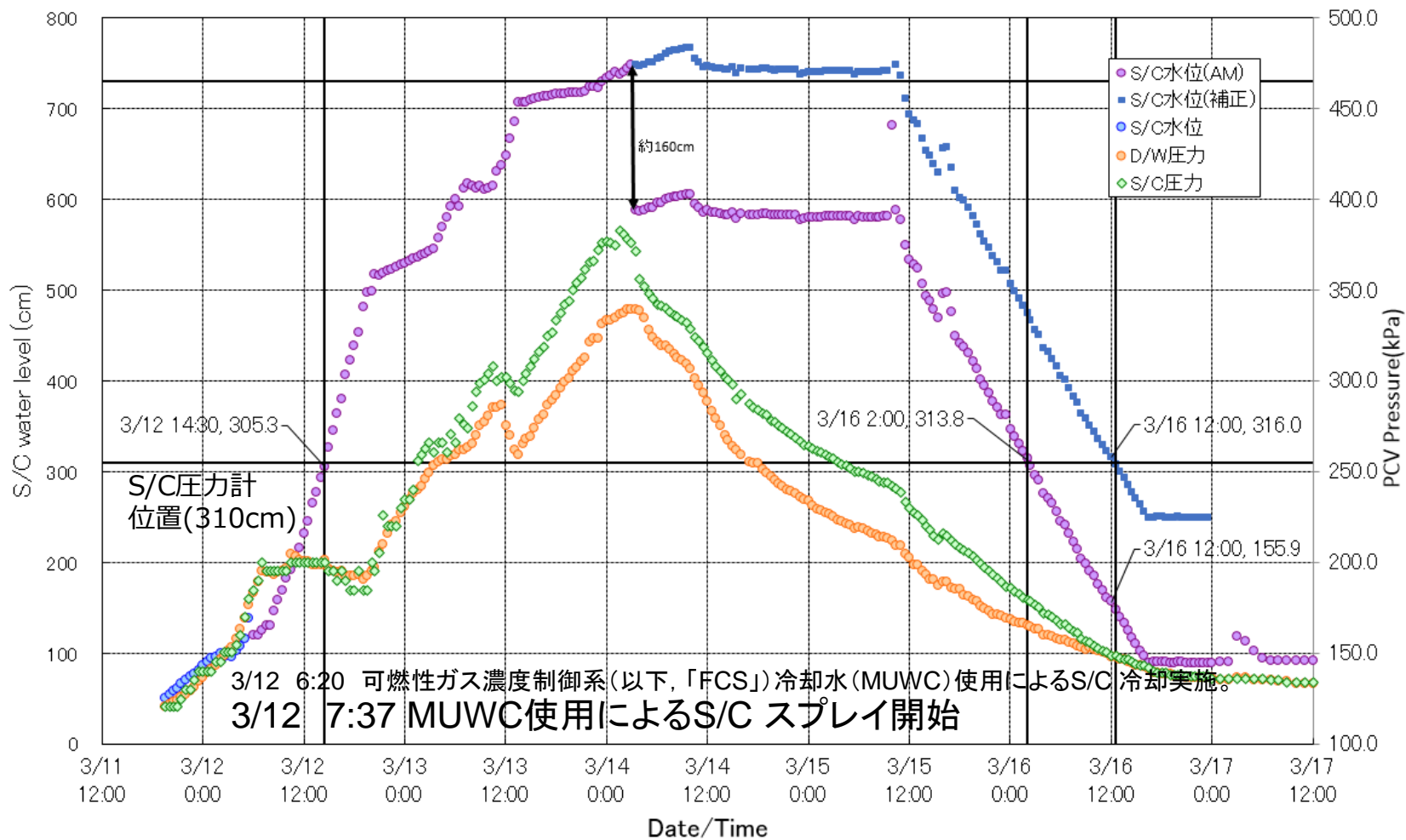
2. PCV圧力と水位の関係

2F1 PCV 圧力と S/C 水位



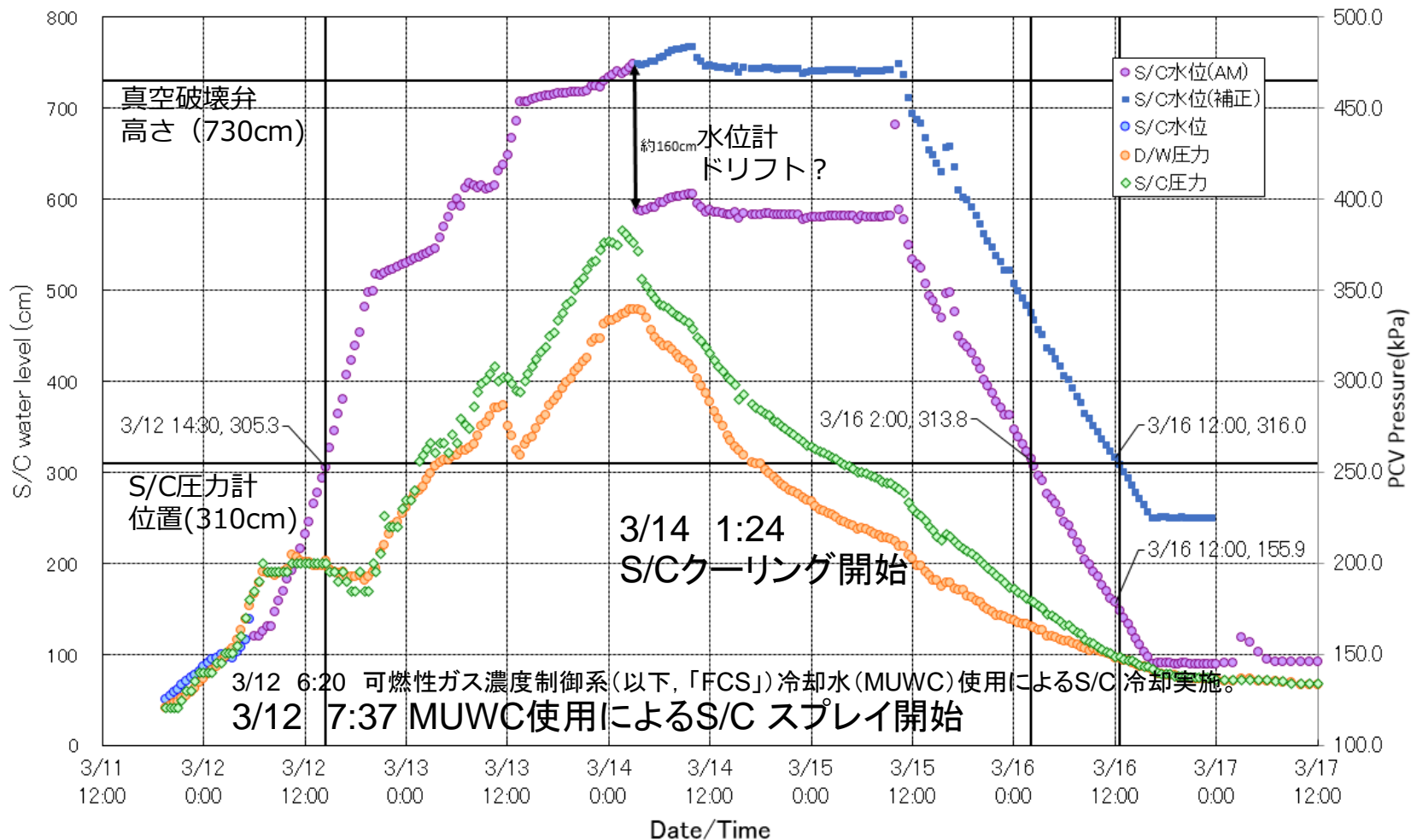
2. PCV圧力と水位の関係

2F1 PCV 圧力と S/C 水位

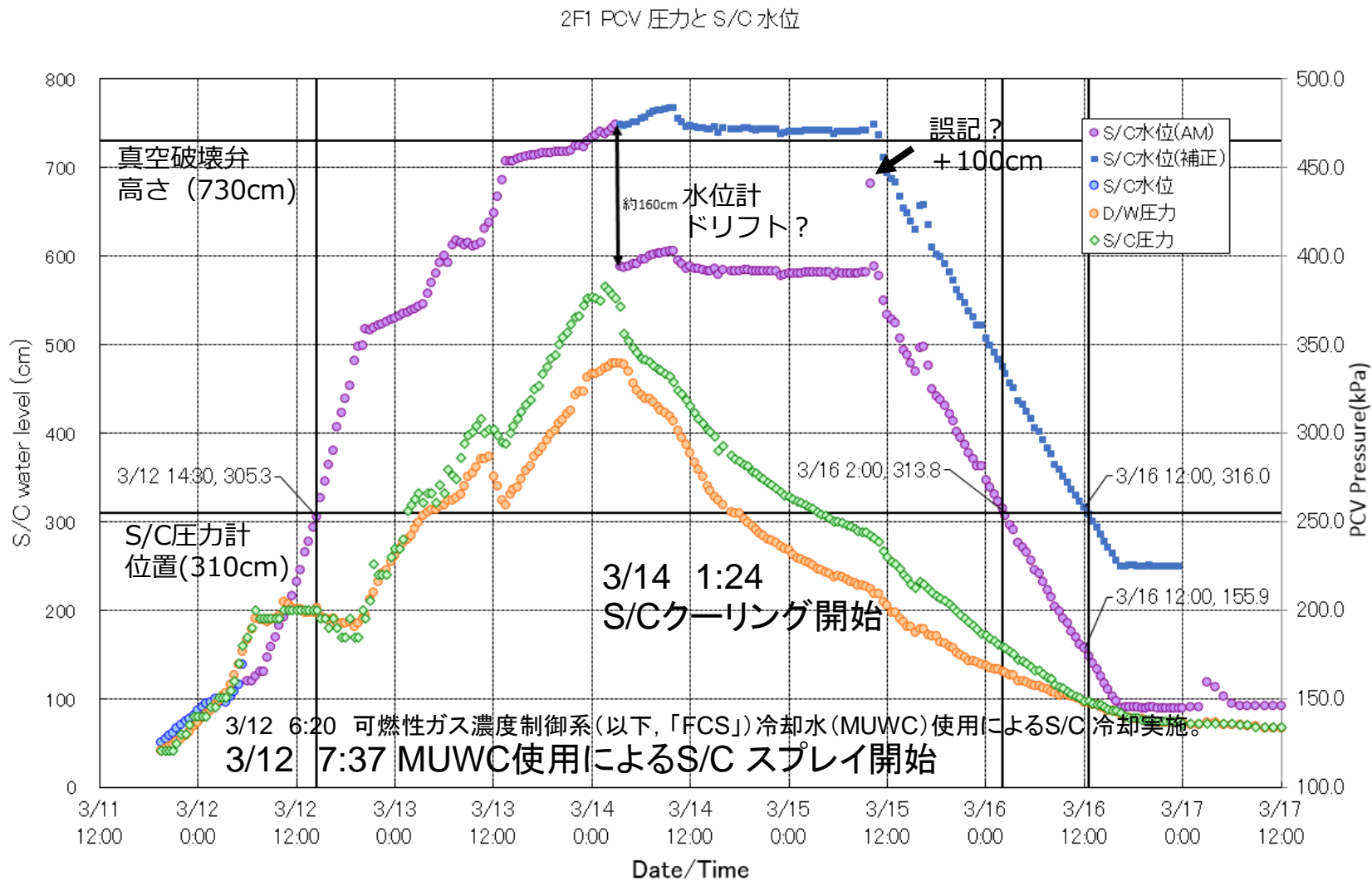


2. PCV圧力と水位の関係

2F1 PCV 圧力と S/C 水位

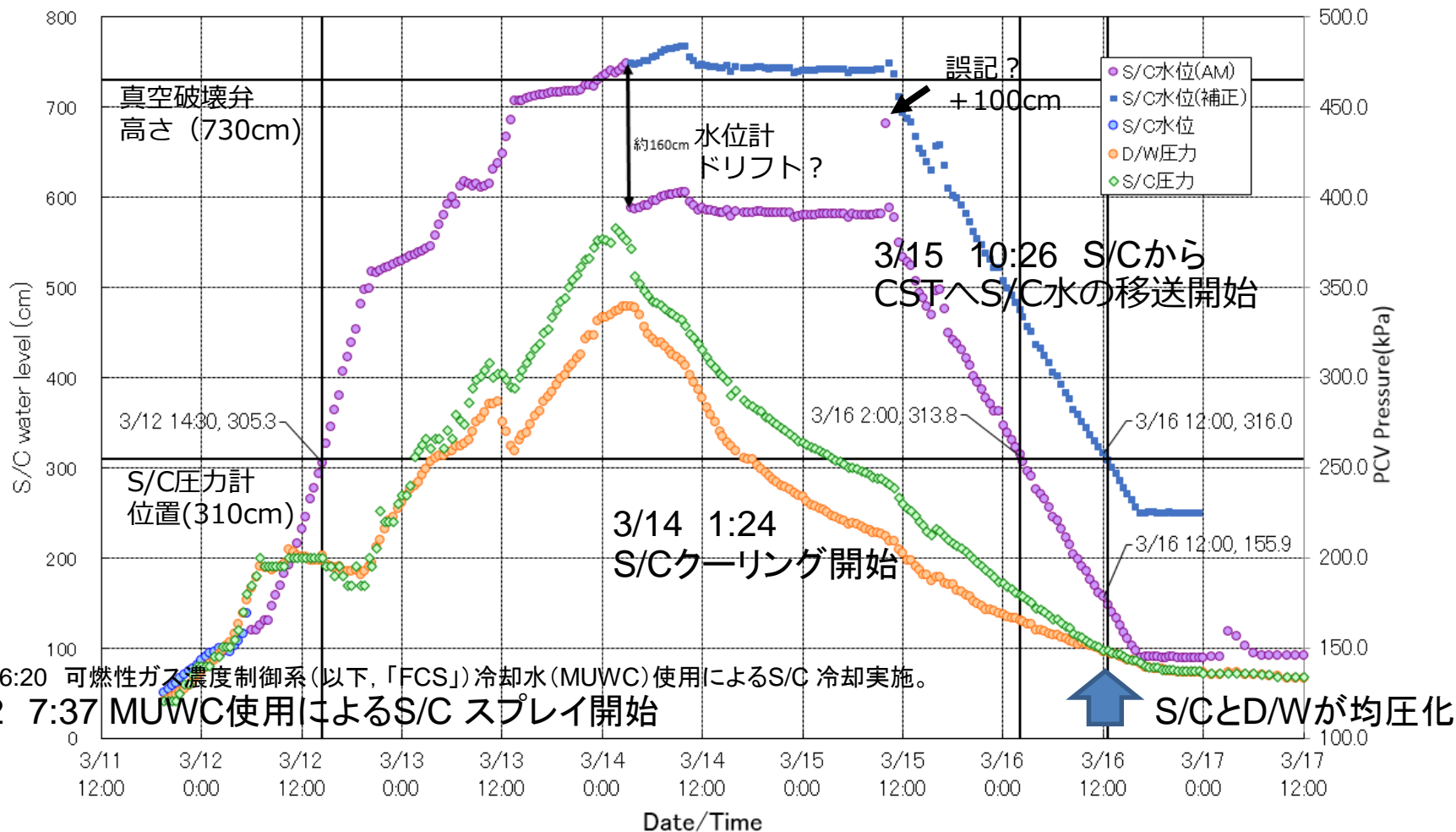


2. PCV圧力と水位の関係



2. PCV圧力と水位の関係

2F1 PCV 圧力と S/C 水位



3. まとめ

- 2F1の格納容器圧力（D/W圧力、S/C圧力）挙動について検討を行った。
- 2F1のS/C圧力計の設置位置（通常水位+310cm）を考慮すると、 $D/W圧力 + 水頭圧 = S/C圧力$ との関係となっていることがわかった。
- 2F1の真空破壊弁は、東日本大震災に伴う事故時において、その機能を喪失していないと考えられる。

福島第一原子力発電所3号機 のRCIC運転中の原子炉圧力挙動について

2020年9月3日

1. はじめに

- 第12回の事故分析検討会において、福島第一原子力発電所3号機のRCIC運転中の原子炉圧力挙動を明確に説明できないことが問題となった
 - 3号機のRCIC運転中の原子炉圧力挙動についての当社の認識は、RCICはCSTへの戻りラインと原子炉への注水ラインの両方を使う特殊な運転がされる中で、SRVが開閉するという複雑な状況での、原子炉圧力挙動であるというものであった
 - そのため、上記の定性的な説明の妥当性を確認するため、以下に示す流れで、再現解析も含めた検討を実施した
- ① RCICの操作実績と運転員の操作方法の確認
 - ② 当該期間中の崩壊熱の変化
 - ③ 逃がし弁開設定圧以下の状態でのSRVの動作モードについて
 - ④ 解析コードRELAPを用いた再現解析
 - ⑤ 総合的な評価とまとめ

また、国産初のBWRである3号機を建設したプラントメーカーである東芝より、当該期間中のSRV作動有無に関する見解を受け取っているため、その内容を参考として示す。

2. 3号機のRCICの操作実績

当直引継日誌の記載

2011年3月11日

15:06/15:25	RCICクイックスタート/L-8トリップ		
16:03	RCIC「起動」	Rx水位: -500mm	S/CLレベル: 150mm (ミニフロー弁開により上昇)
	RCICミニフロー弁「閉」		
16:13	HPCI、RCIC 水源切替防止リフト		
16:16	RCIC注入開始	Rx水位: -900mm	

2011年3月12日

象 発	11:36	RCIC トリップ	炉水位: +200mm (W)

https://www.tepco.co.jp/nu/fukushima-np/plant-data/f1_4_Nisshi3_4.pdf

3. 運転員の3号機のRCIC操作方法

【RCICによる原子炉水位確保】

・ 運転員は、RCICの起動停止によるバッテリー消費を避けること及び原子炉水位確保を安定して行うため、原子炉水位高により自動停止に至らない措置、運転制御に必要なバッテリーを節約する措置を実施。

➢ 原子炉水位高によるRCICの自動停止に至らない措置として、中央制御室にて原子炉水位を監視しながら、原子炉への注水ライン及び定期的な機能試験に用いるテストライン(水源の復水貯蔵タンク(以下、CST)からCSTにループして戻すライン)の両ラインに通水するようにRCIC制御盤にて操作し、ラインを構成。水位調整範囲を定めて水位を確保した。

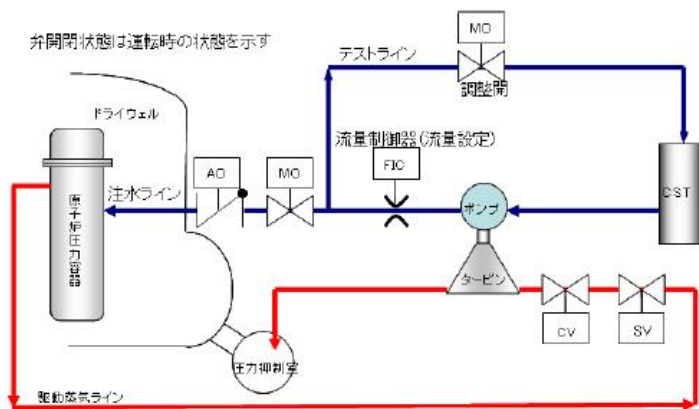


RCIC 制御盤 (後日撮影)

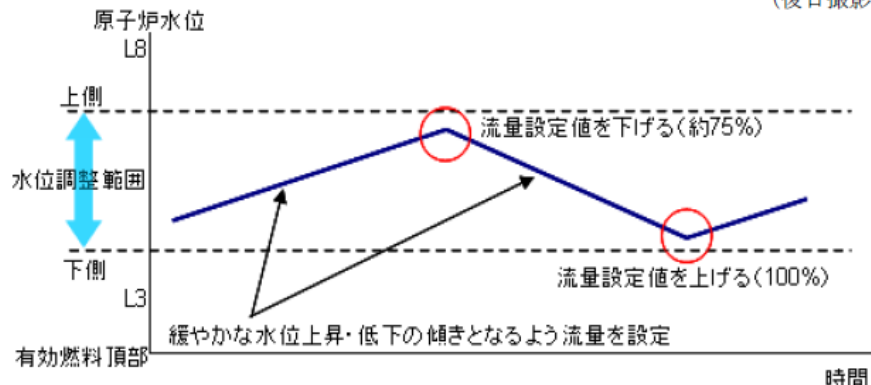
- 原子炉の水位監視に2名、RCICの操作に2名の体制で状況を報告し合いながら実施。また、次の注水手段として、RCIC停止後にHPCIをスムーズに起動するため、HPCI制御盤にて操作するスイッチなどに付箋を貼り準備を整えた。
- バッテリーを節約する措置として、弁や流量制御器(以下、FIC)の操作を少なくするため、原子炉水位が緩やかな変化となるように、テストラインの弁の開度調整やFICにて流量を設定した。原子炉水位が水位調整範囲の上側または下側に近づいたら流量の設定値を変更(定格流量(25.2L/s)100%から約75%の範囲)する方法を繰り返した。



RCIC 流量制御器(FIC) (後日撮影)



RCIC及びHPCIの原子炉注水ライン概要

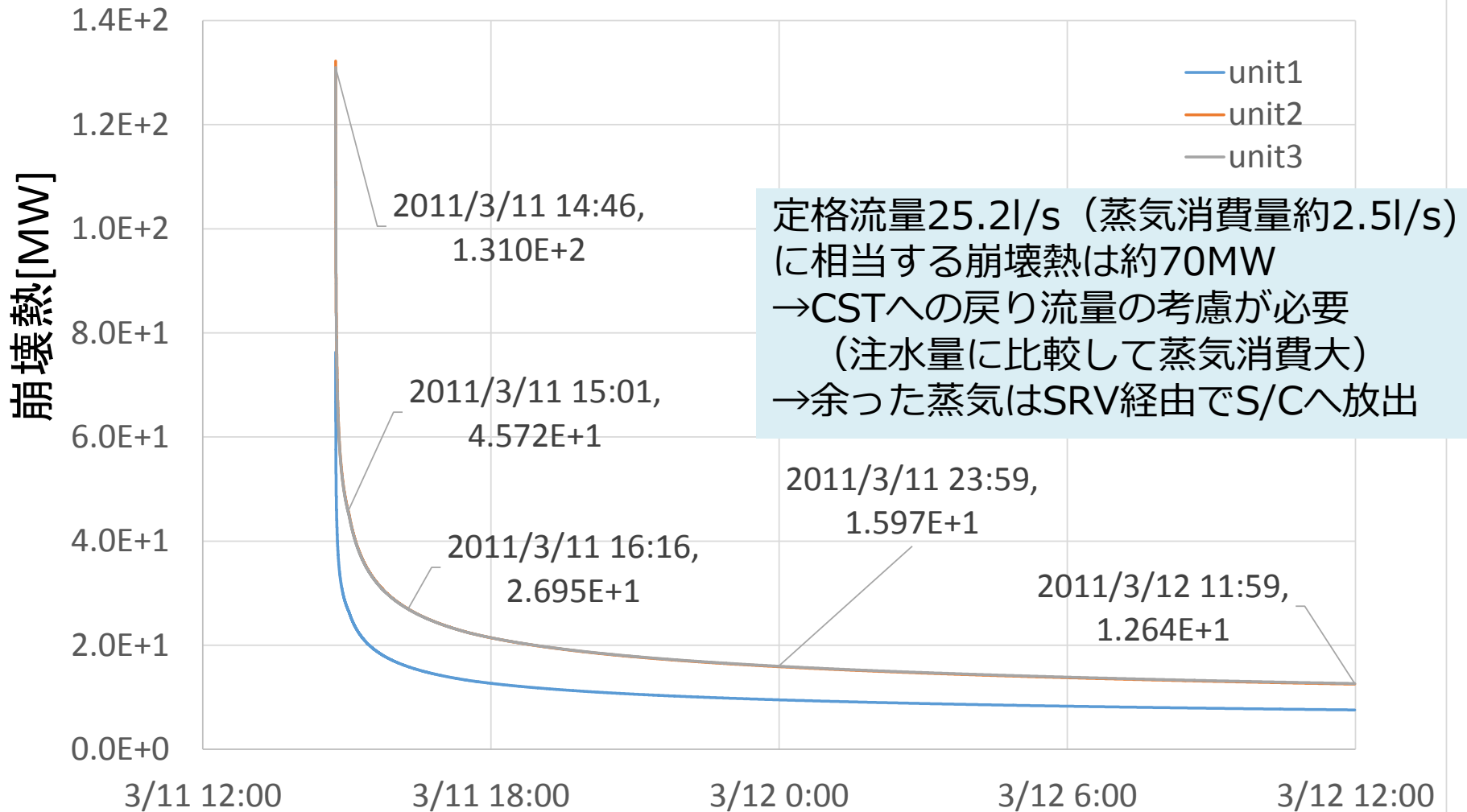


原子炉水位の調整方法 (イメージ)

2012/06/20 東京電力 福島原子力事故調査報告書 別紙2 P90,91

4. 崩壊熱

福島第一原子力発電所1～3号機の崩壊熱の時間変化



5. 予想されるSRVの開モード

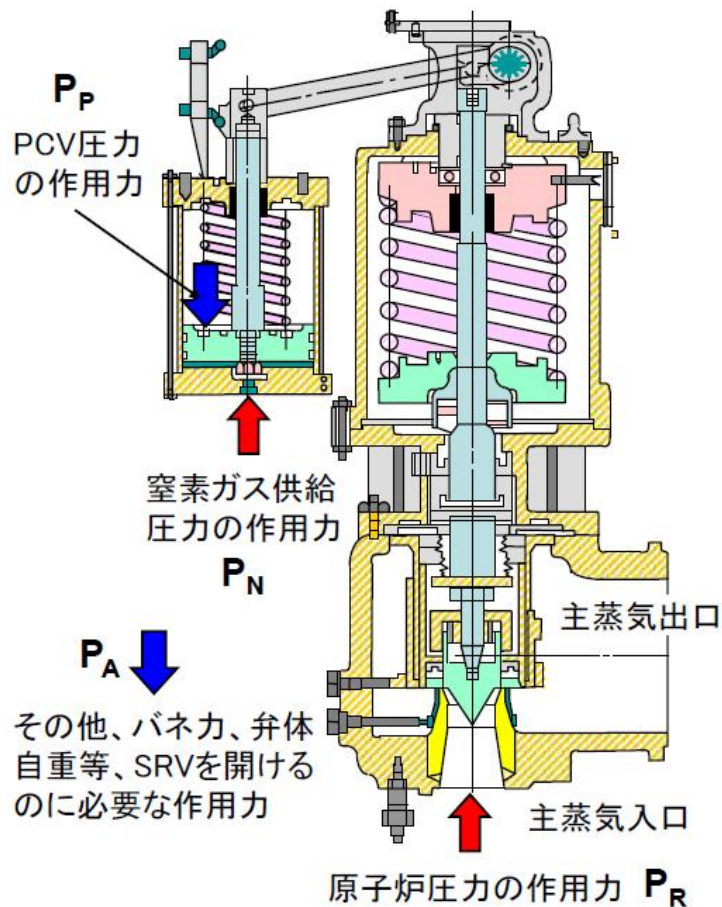


図7 SRV 断面図

逃がし弁モード

$P_P + P_A < P_N + P_R$
 の場合に開

→復帰値まで減圧していない場合
 原子炉圧力 (P_R) が上昇すると
 開く可能性

いずれの場合も蒸気発生量が少ない
 時間帯なので、開となってもすぐに
 圧力が下がり閉となる可能性 (中間開)

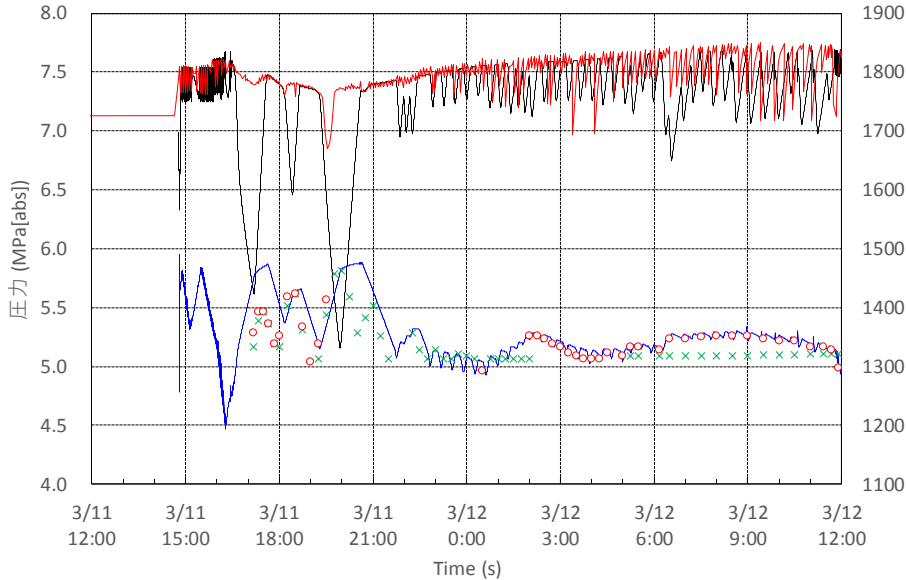
安全弁モード

$P_A < P_R$
 の場合に開

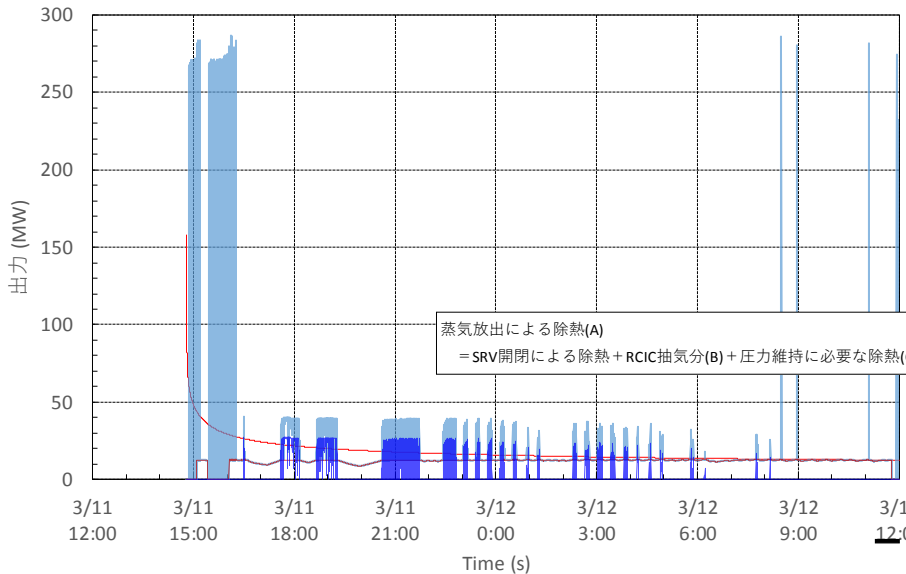
→ばねの温度が上昇することで
 ヤング率が下がり、設定値より
 低い圧力で開く可能性

6. RELAPを用いた解析結果 (プラント挙動)

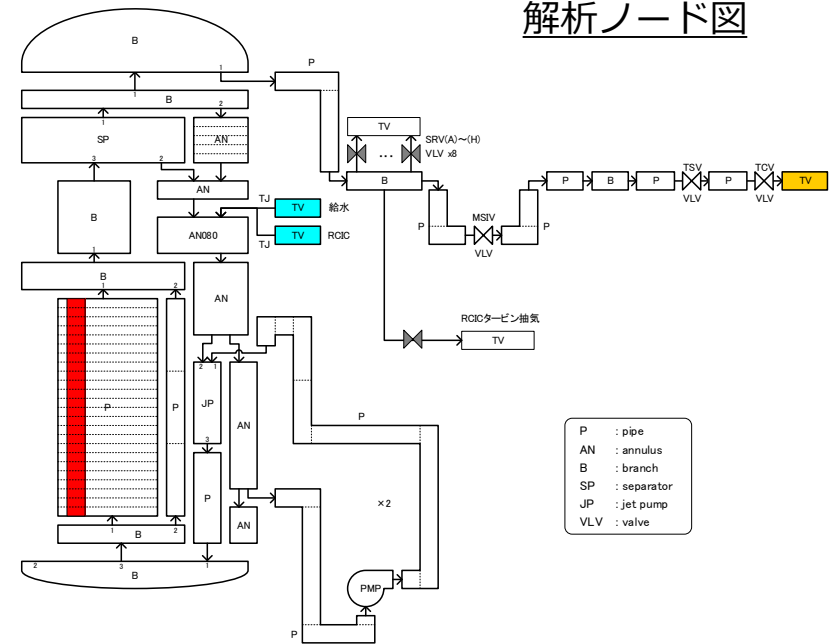
— 圧力(計算) — 圧力(チャート:補正有) — 広帯域水位(計算) × 狭帯域水位(測定値) ○ 広帯域水位(測定値)



— 崩壊熱 — 蒸気放出による除熱(A) — RCIC抽気分(B) — 圧力維持に必要な除熱(C)



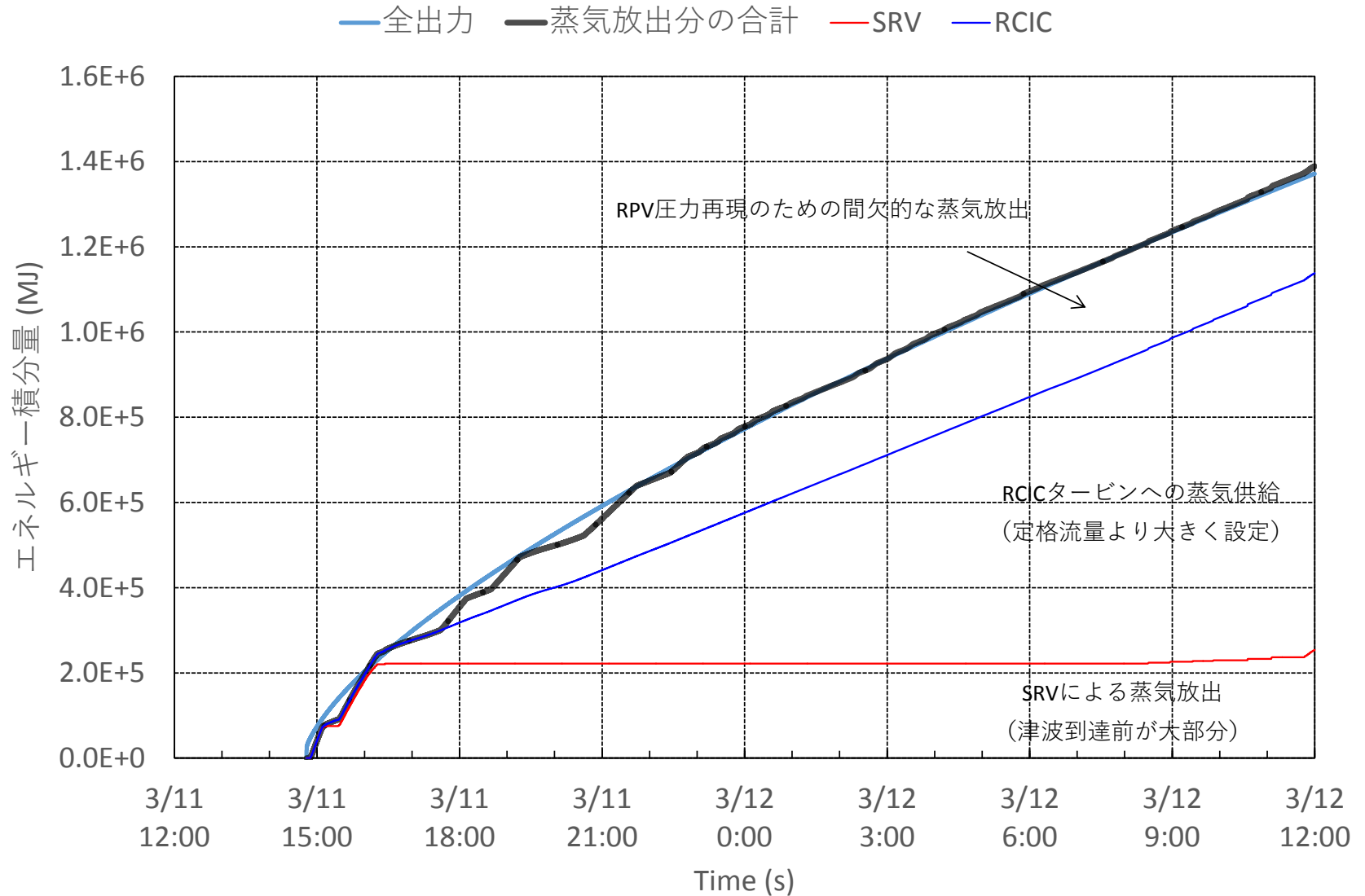
解析ノード図



圧力を維持するのに必要な蒸気について

- 原子炉圧力が緩やかに変動するように設定しているため、それを考慮すると流量はより大きく、放出間隔は長くなる
- RCIC注水による原子炉圧力の大きな変動は実測よりも変動幅が大きいいため、抽気と蒸気放出の割合は実際と異なる可能性がある(抽気流量は設計より大)
- RCIC抽気の過大評価はその他にも崩壊熱の過大評価、SRVシートリーク等の可能性がある。

6. RELAPを用いた解析結果（エネルギーバランス）



7. まとめ

- 1F3のRCIC運転時の原子炉圧力挙動についての検討を実施した
- 津波到達以降のRCIC運転中の崩壊熱はRCIC定格流量に比較してかなり小さいものの、RCICタービンへの供給蒸気量（約2.5l/s）だけでは崩壊熱を消費できないため、SRV経由でのS/Cへの放出があった可能性が高い。
 - ただし、通常のSRVの流量よりも小さい流量（中間開の流路面積）と推定
- RCICから原子炉の注水される低温水による大きなRPV減圧が起こることが解析により示された。
 - （ノード内での温度均一化効果により、解析で評価される減圧は実際よりも大きくなる傾向）
- 1F3のRCIC運転時の原子炉圧力挙動は、炉圧変化に応じたSRVの中間開作動とRCIC注水による減圧の組み合わせを反映したものと考えられる。
 - ただし、逃し弁モードか安全弁モードかは特定が困難

(参考) 東芝ESSによるSRV開閉有無に関する見解

- 東芝ESSは東電同様、崩壊熱のエネルギーバランスから、SRV経由での蒸気放出は確実にあったとの見解
- SRV開設定圧未満でSRVが中間開になるメカニズムは以下の通り
 - SRVの開閉により窒素が消費され、アキュムレータ圧力が低下する
 - アキュムレータ圧力が低下すると、相対的に P_R の開挙動への影響力が高まる
 - 原子炉圧力がSRV開設定圧より低く推移する前の段階で、SRV開設定圧に到達しSRVが開いたが、 P_R の低下によりSRV閉設定圧に到達前に閉じる挙動となり、SRV開信号保持かつSRV閉の状態が成立する（若しくは僅かな開度でつり合った状態となる）
 - SRV開設定圧に到達しなくても、 P_R の上昇により $P_p + P_A < P_N + P_R$ が成立し、SRVが開くが、すぐに P_R が低下するため小さな圧力変化幅にて開閉を繰り返す。
 - ただし、19:30すぎのSRV閉設定圧に到達した後の圧力挙動については不明
- 初期アキュムレータ圧力 0.69MPaに対し、原子炉圧7.4MPaにおけるSRVが開き始めるのに必要なアキュムレータ圧力は0.090 MPa。全開に必要なアキュムレータ圧力は0.206 MPa（SRV力量バランスの簡易評価値、炉圧が低下すると増加）
- SRV開閉に窒素を消費することによる、アキュムレータ圧力は4回作動後0.210MPa、5回作動後0.145MPa、6回作動後0.094MPa、7回作動後0.053MPaと変化（断熱膨張を仮定した簡易評価値）
- 上記の評価値の関係から、中間開の状態が発生する可能性ありと評価

3号機の原子炉圧力及び格納容器圧力の 挙動について(2)

東京電力福島第一原子力発電所事故対策室
星 陽崇

目次

1. 原子炉隔離時冷却系(RCIC)運転中の逃し安全弁(S/RV)の挙動について P. 2
2. 高圧注水系(HPCI)停止後のS/RVの挙動について P. 11
3. 3号機ベント後の事故進展の推定 P. 17
 1. 主蒸気管貫通部からの漏えいについて P. 20
 2. ADSの閉止時期について P. 25
 3. D/W床面への溶融炉心落下時期 P. 35
 4. MCCIについて P. 44
 5. 可燃性ガスの発生について P. 46
 6. RPVとD/Wからの漏えいについて P. 50

1. RCIC運転中のS/RVの挙動について

- 逃し安全弁(S/RV)の実際の動作
 - チャートに記録された細かな圧力振動はS/RVの挙動(逃し弁機能、安全弁機能)によるものか
 - 原子炉圧力低下時に、S/RVの閉信号が出されたか
 - 原子炉圧力が開設定圧に復帰するまでに、それ以前と同様の圧力振幅が継続するのはなぜか
- 設計から推定されるS/RVの動作
 - S/RVに対して出されるべき信号
 - 開/閉信号に対して、窒素供給が遮断された場合のS/RVの応答

3号機RPV圧力

3号機

閉信号が出されれば、炉圧はS/RV開の設定圧まで上昇するのではないか

逃し弁機能による動作

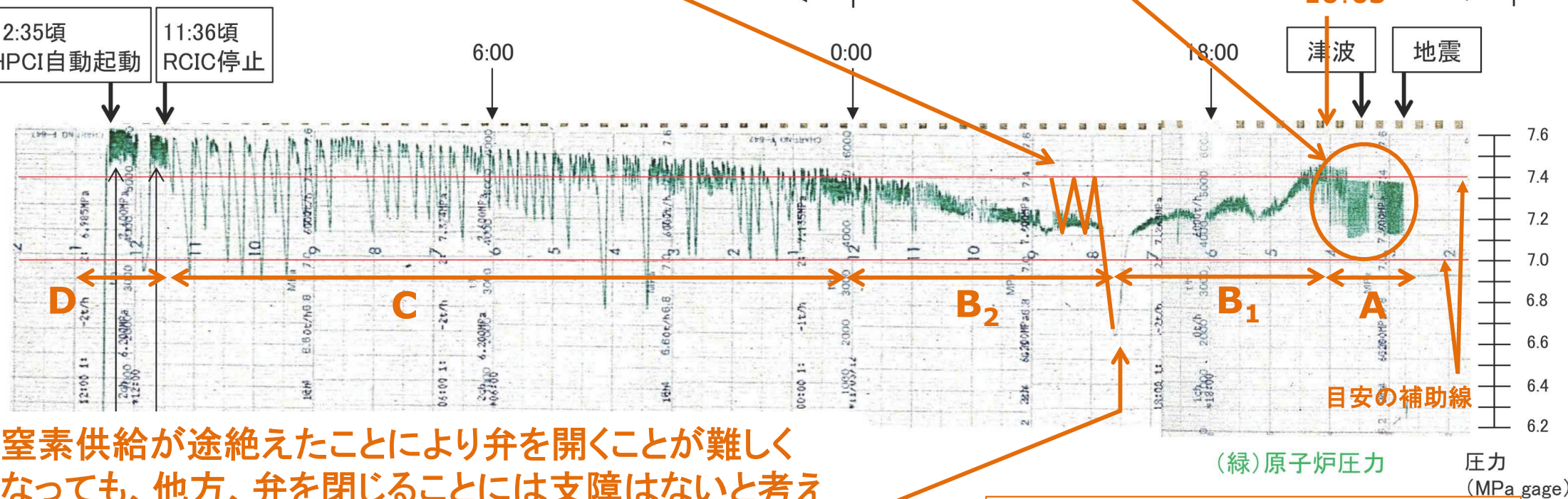
RCIC手動起動
16:03

3/11

3/12

12:35頃
HPCI自動起動

11:36頃
RCIC停止



窒素供給が途絶えたことにより弁を開くことが難しくなっても、他方、弁を閉じることには支障はないと考えられる

A、B₁、B₂、C及びDは便宜上の時間区分

3月11日19:頃に原子炉圧力は大きく低下している
 ・この時点で明らかにS/RVの閉止圧より炉圧が低下していることから、閉止信号が出ているはず。
 ・B₂の期間では、炉圧はS/RVの開圧力まで上昇せずに振幅を繰り返している。

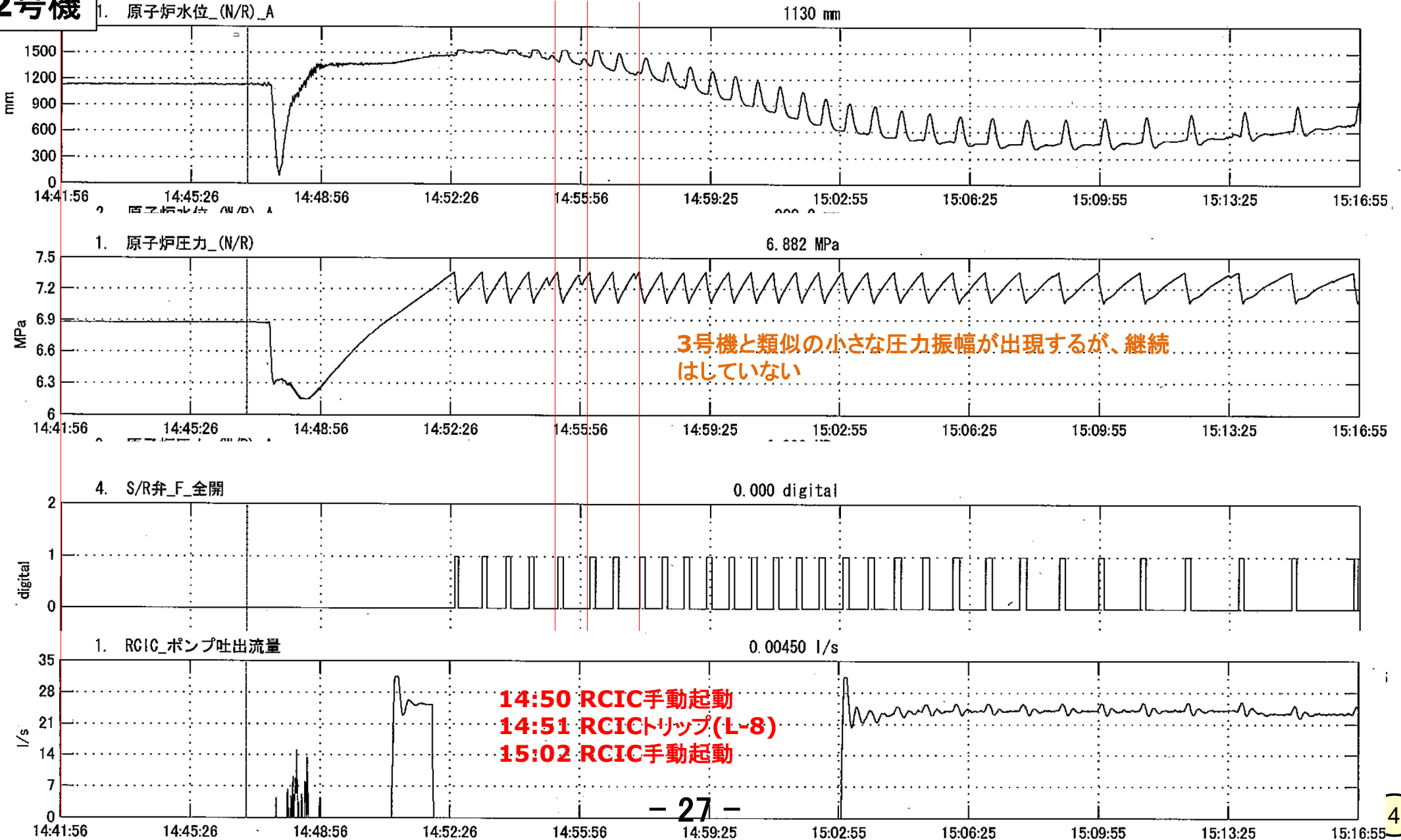
表1 SRVの逃がし弁機能と安全弁機能の作動圧 単位: MPa[gage]

	A	B	C	D	E	F	G	H
逃がし弁機能	7.51	7.58	7.44	7.58	7.51	7.58	7.51	7.58
安全弁機能	7.71	7.78	7.64	7.71	7.64	7.78	7.71	7.78
ADS機能の有無	有	有	有	—	有	—	有	有

東電、未説明問題報告書(第5回)より抜粋

比較として2号機でのS/RVの動作を確認

2号機

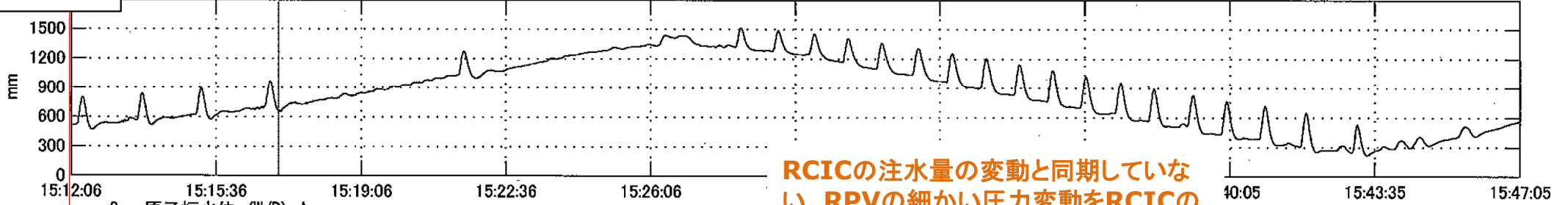


炉圧とRCIC注水量との相関

2号機

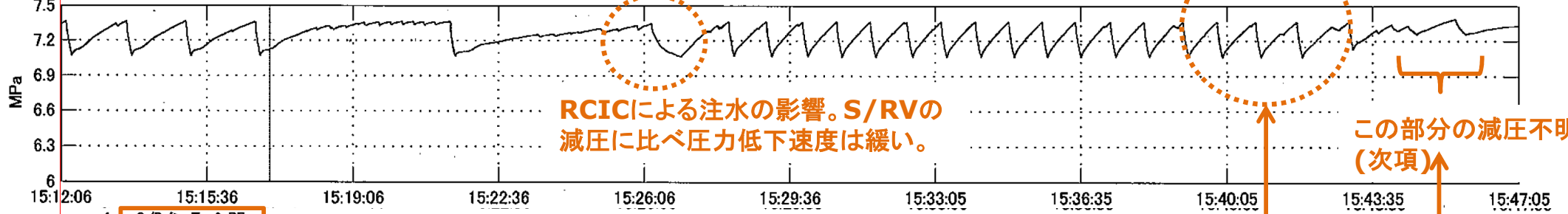
原子炉水位_(N/R)_A

660.6 mm



RCICの注水量の変動と同期していない。RPVの細かい圧力変動をRCICの注水量の変化が理由ではない。

1. 原子炉圧力_(N/R)

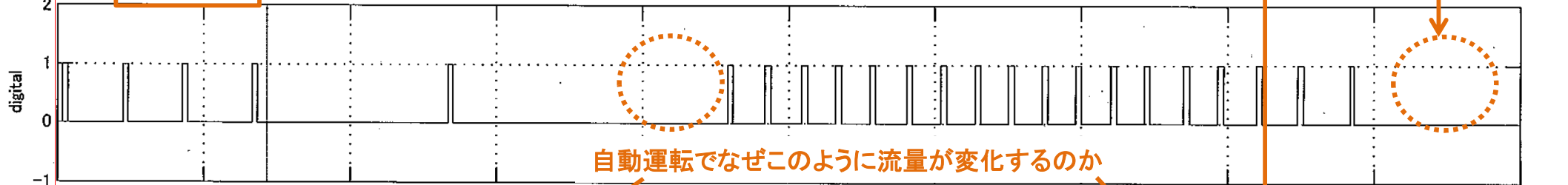


RCICによる注水の影響。S/RVの減圧に比べ圧力低下速度は緩い。

この部分の減圧不明(次項)

4. S/R弁_F_全開

0.000 digital

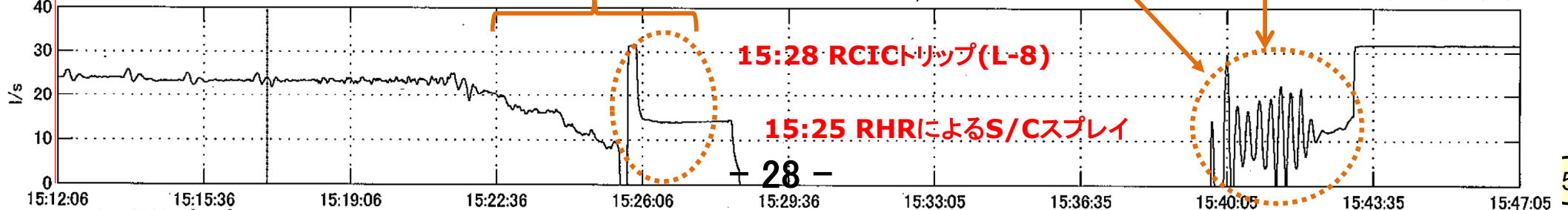


自動運転でなぜこのように流量が変化するのか

15:41 全交流動力電源喪失

1. RCICポンプ吐出流量

24.08 l/s



15:28 RCICトリップ(L-8)

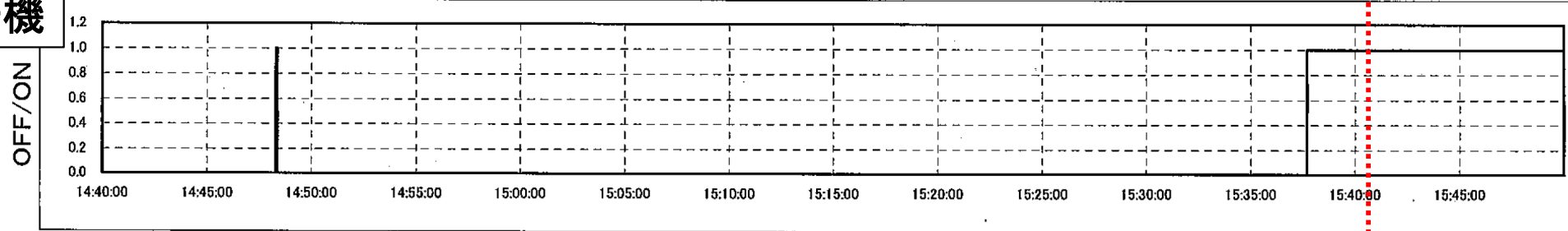
15:25 RHRによるS/Cスプレイ

28 -

2号機SBO後にみられるS/RVの中間開

2号機

D680 6. 9KV 母線 2C 電圧喪失



2C母線電圧喪失 15:37:40

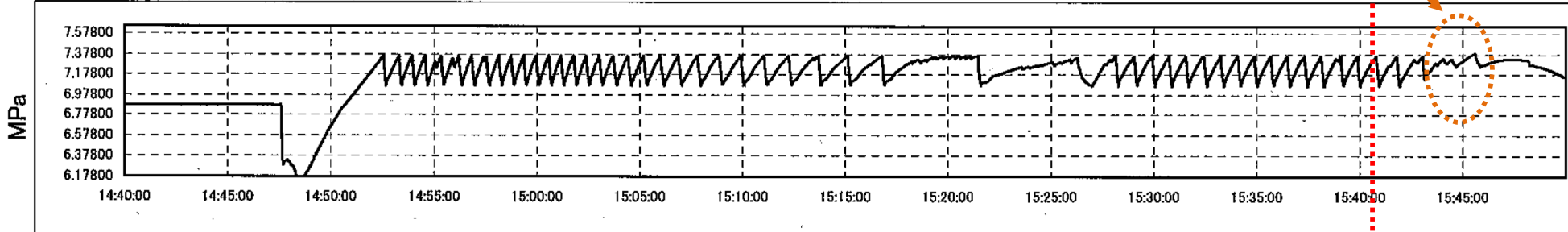
4. D681 6. 9KV 母線 2D 電圧喪失



3号機と同様に、窒素供給停止による中間開の様な状態と考えられる

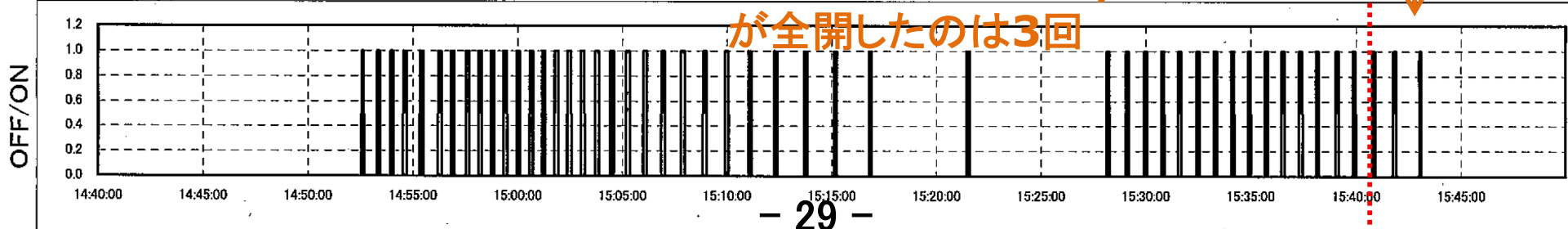
1. P600 原子炉圧力 (N/R)

2D母線電圧喪失 15:40:38



2. D628 逃し安全弁 F 開

交流電源喪失後にS/RVが全開したのは3回

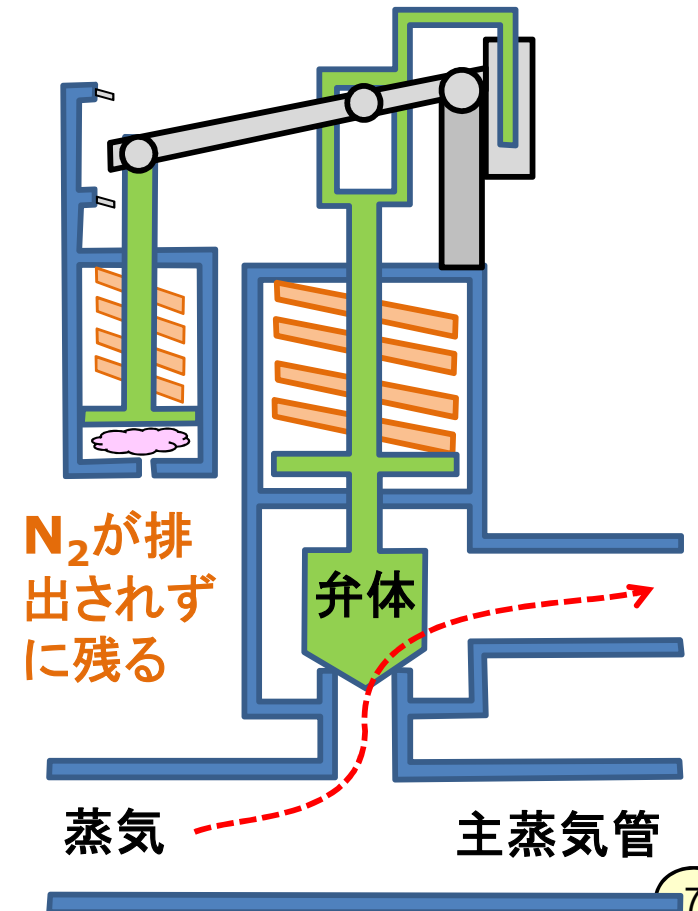
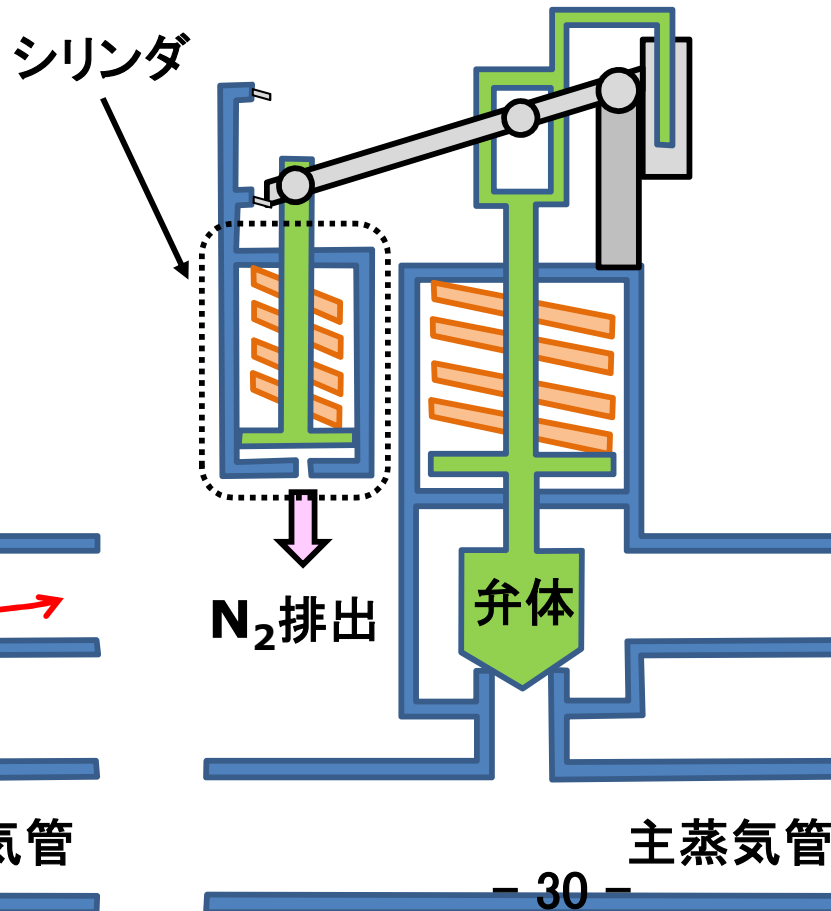
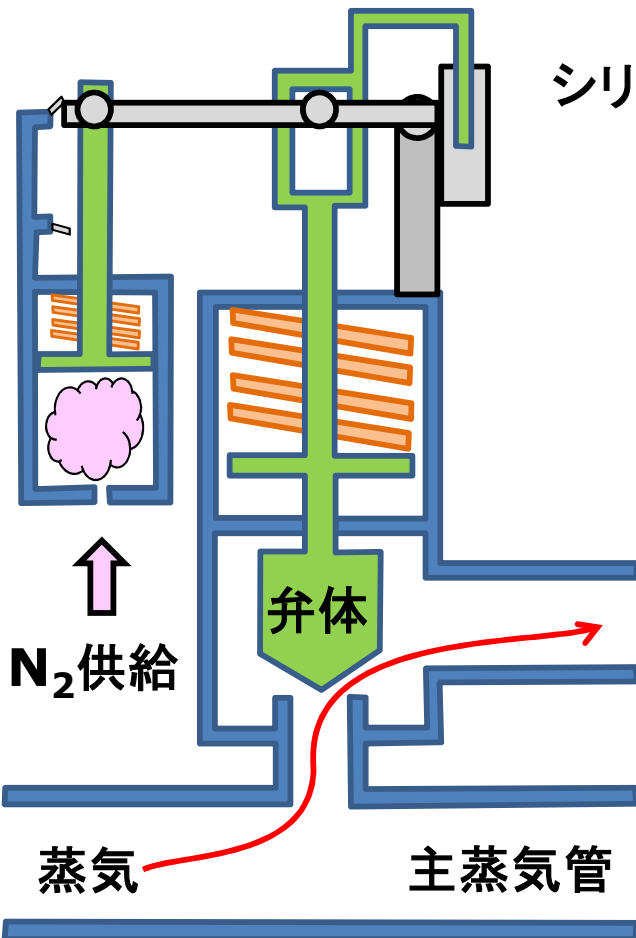


B-1の区間で生じるS/RVの中間開状態

開
窒素ガスがシリンダに供給され、弁体が持ち上げられる

閉
シリンダから窒素ガスが排出され、弁体がバネで押し付けられる

中間開
窒素ガスがシリンダに不十分に供給され、弁体を上方へ押し上げる力がかかる。その後、シリンダから窒素ガスが排出されないと、弁体を上方へ押し上げる力がなかった状態が維持される。



再掲

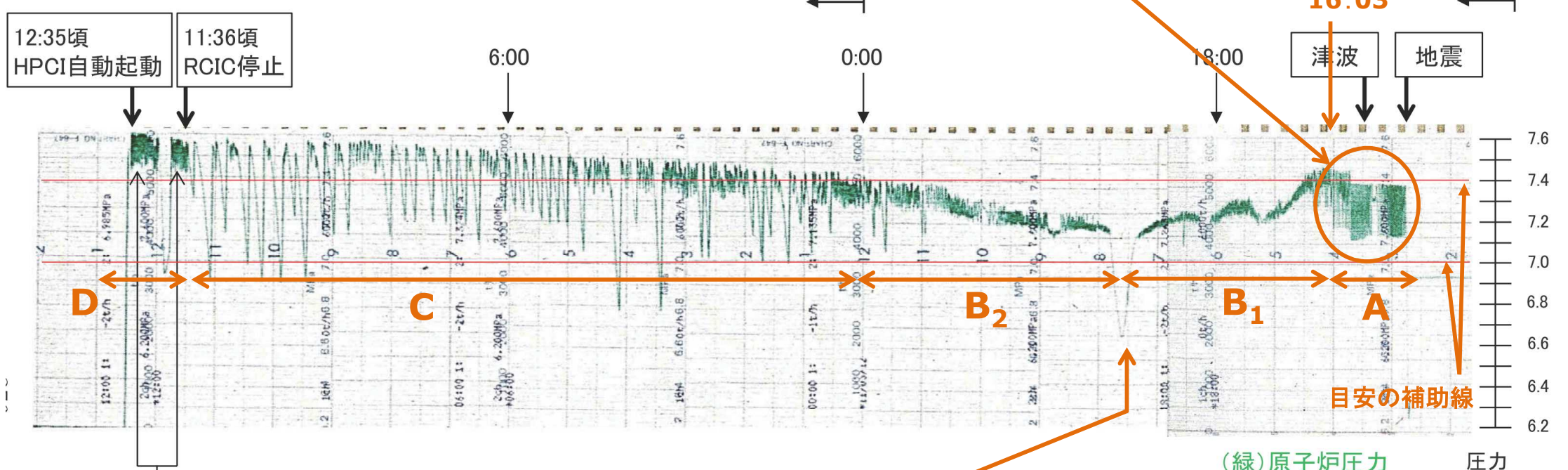
3号機RPV圧力

3号機

逃し弁機能による動作

RCIC手動起動
16:03

津波 地震



- 実態として、S/RVは一旦全開されないと炉圧が設定圧を下回っても開信号が解除されない(あるいは閉信号が出ない)と考えられる
- そのため、窒素供給を喪失した弁を閉止できていないと考えられる
- 2号機においても類似の挙動が見られることから、窒素供給切れになったS/RVに共通する挙動と考えられる

A、B₁、B₂、C及びDは便宜上の時間区分

表1 SRVの逃がし弁機能と安全弁機能の作動圧 単位: MPa[gage]

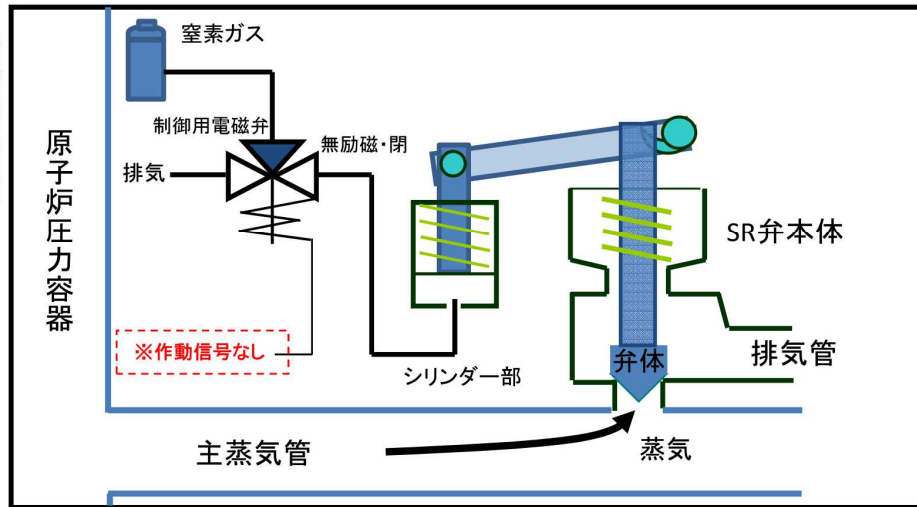
	A	B	C	D	E	F	G	H
逃がし弁機能	7.51	7.58	7.44	7.58	7.51	7.58	7.51	7.58
安全弁機能	7.71	7.78	7.64	7.71	7.64	7.78	7.71	7.78
ADS機能の有無	有	有	有	—	有	—	有	有

東電、未説明問題報告書(第5回)より抜粋

逃し安全弁の作動原理

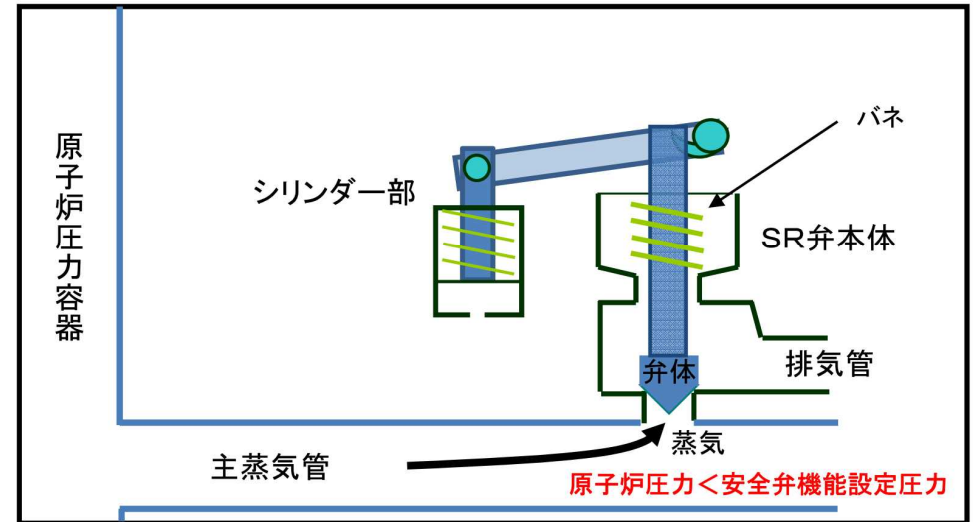
逃し弁機能

通常時

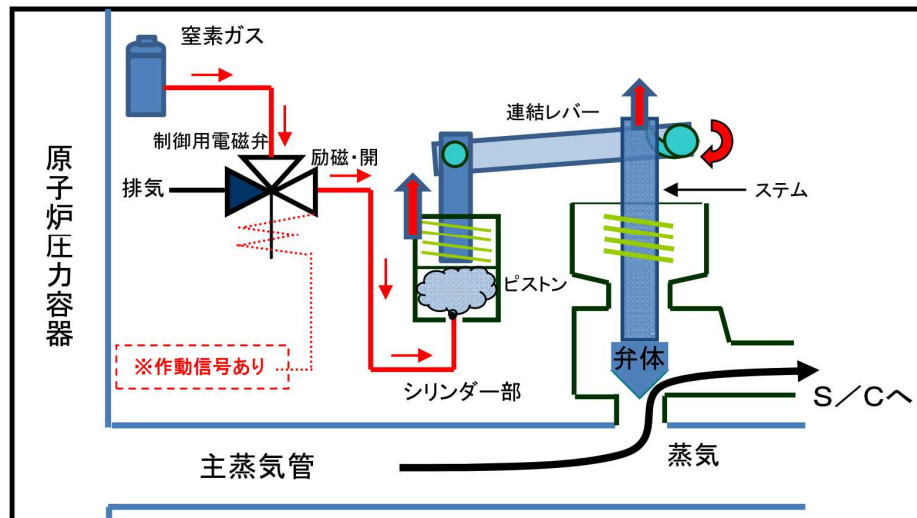


安全弁機能

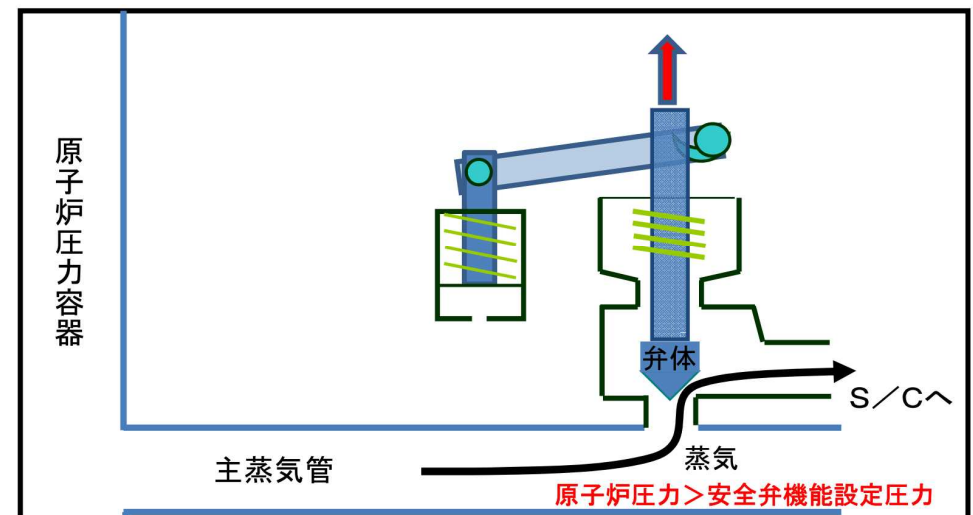
通常時



圧力異常上昇時／冷却材喪失事故時／遠隔手動操作時



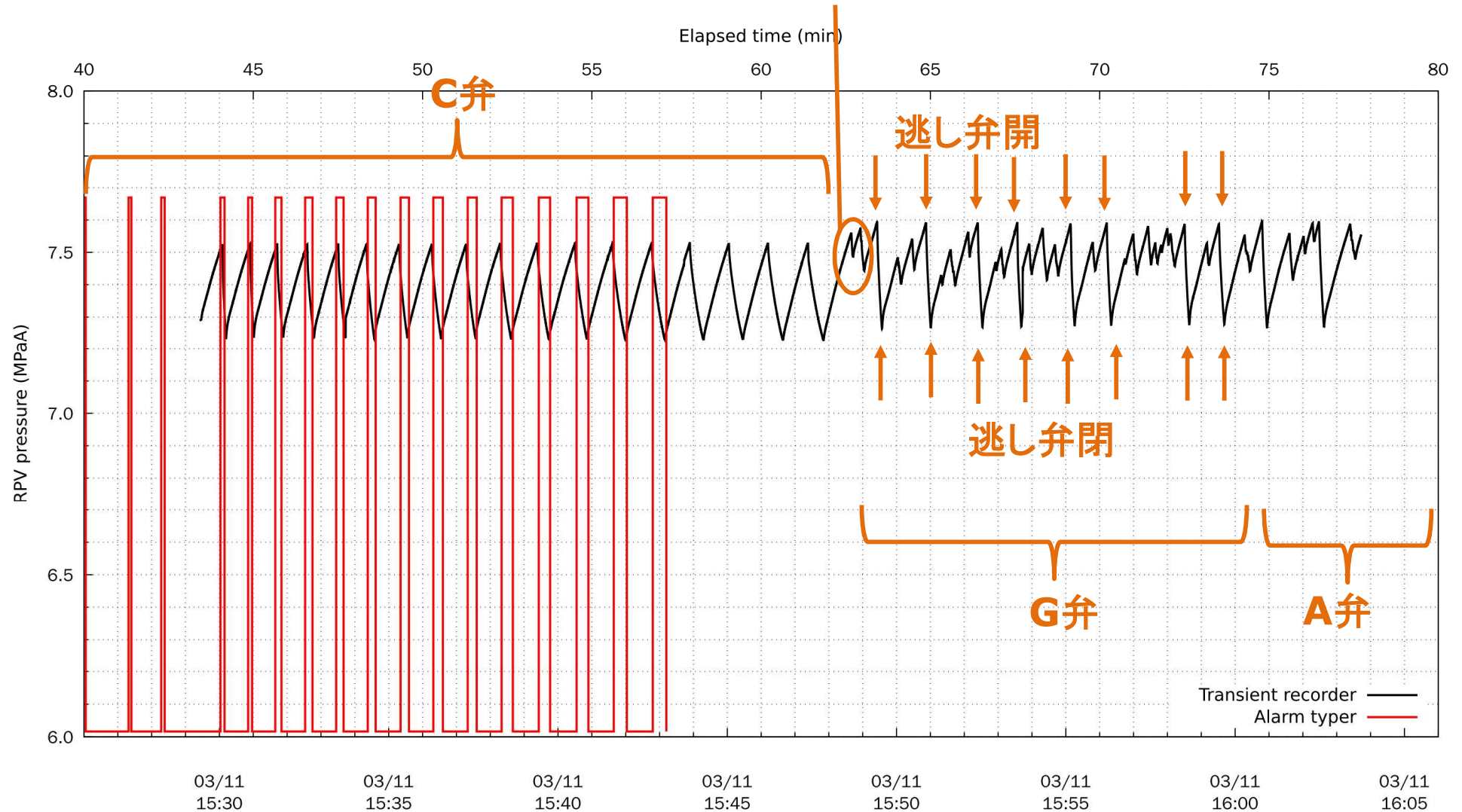
圧力異常上昇時



参考 SRV動作と考えられる細かい圧力振動

3号機

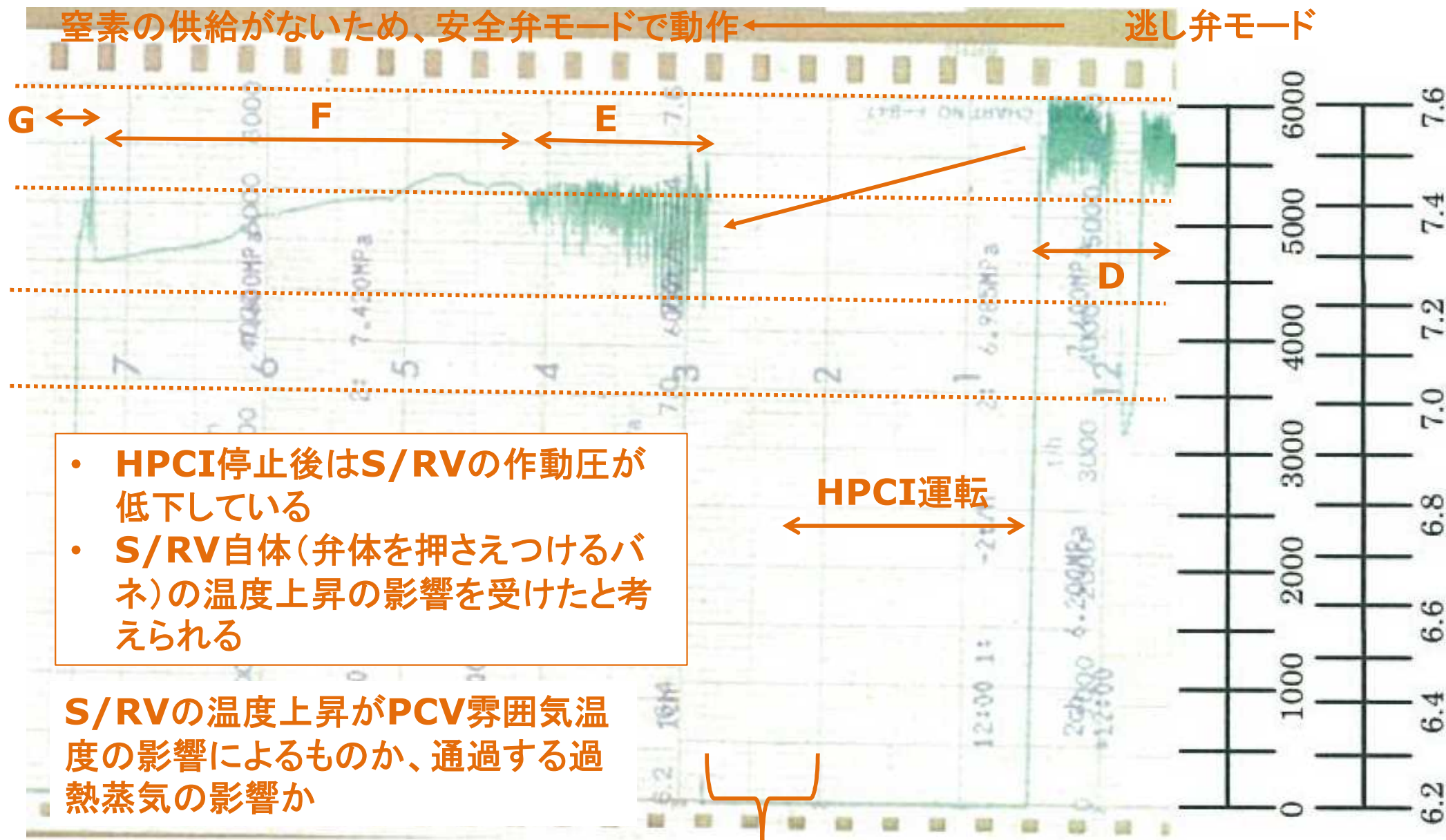
C弁が残圧で中間開状態になっていると考えられる



2. HPCI停止後のS/RVの挙動について

- 炉心損傷後は、過熱蒸気によってS/RV自体の温度が上昇したと考えられる
 - 主蒸気管を通過する蒸気温度の上昇によってS/RV自体(ばね部)の温度が上昇
 - S/RVの温度は格納容器の雰囲気温度よりも高温になると考えられる
- S/RV自体の温度が上昇した場合の影響
 - ばねによる弁体の押し下げ力の低下
 - 設定圧よりも低い炉圧での安全弁としての動作

HPCI運転前後でのRPV圧力



- HPCI停止後はS/RVの作動圧が低下している
- S/RV自体(弁体を押さえつけるバネ)の温度上昇の影響を受けたと考えられる

S/RVの温度上昇がPCV雰囲気温度の影響によるものか、通過する過熱蒸気の影響か

D、E、F及びGは便宜上の時間区分

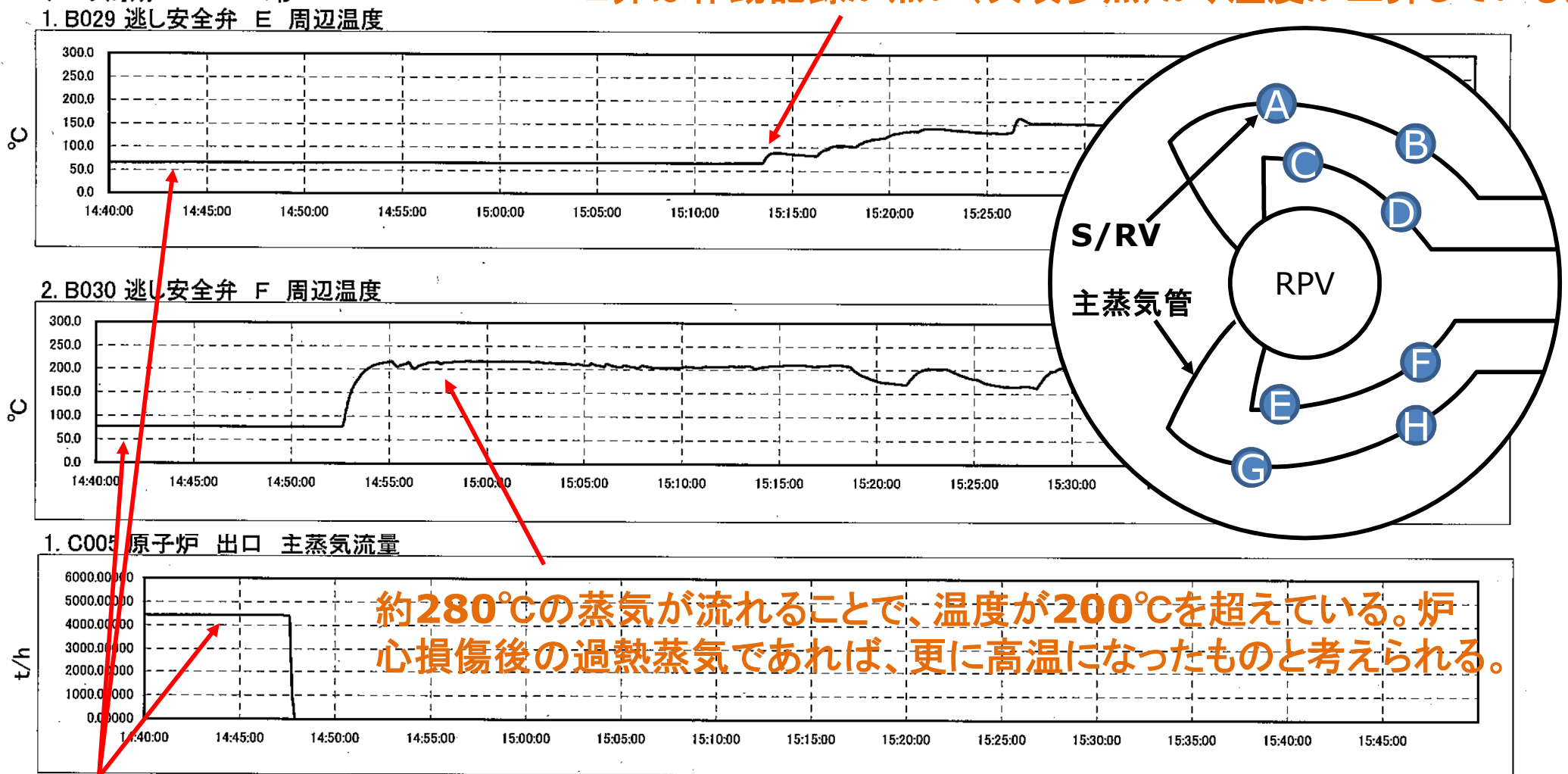
(注) 欠測期間が存在する

2号機でのS/RV周辺温度

2号機

E弁及びF弁は同一主蒸気管上に設置

E弁は作動記録が無い(次項参照)が、温度が上昇している。



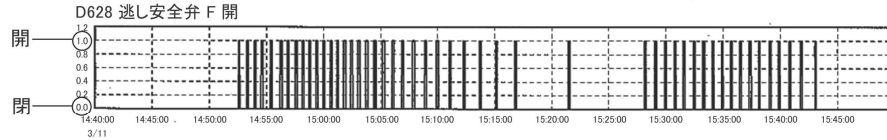
約280°Cの蒸気が流れることで、温度が200°Cを超えている。炉心損傷後の過熱蒸気であれば、更に高温になったものと考えられる。

通常運転時の蒸気流量でも、主蒸気管を蒸気が流れているだけでは、温度は上昇していない

2号機 S/RVの動作記録

2号機 SR弁の動作

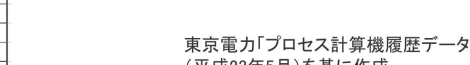
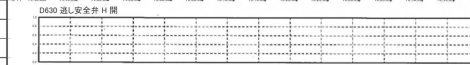
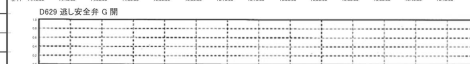
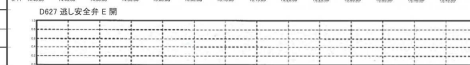
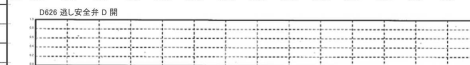
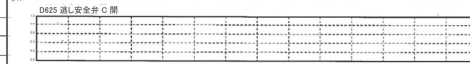
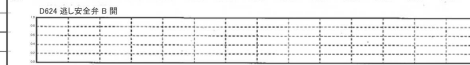
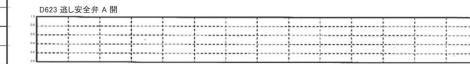
資料Ⅱ-1-1-24



逃がし安全弁Fの開閉記録

開閉回数	3/11時刻	逃し安全弁 F 開	開閉回数	3/11時刻	逃し安全弁 F 開
1	14:52:33	ON	26	15:11:02	ON
	14:52:40	OFF		15:11:11	OFF
2	14:53:18	ON	27	15:12:15	ON
	14:53:25	OFF		15:12:23	OFF
3	14:53:56	ON	28	15:13:41	ON
	14:54:04	OFF		15:13:49	OFF
4	14:54:33	ON	29	15:15:07	ON
	14:54:42	OFF		15:15:14	OFF
5	14:55:20	ON	30	15:16:47	ON
	14:55:29	OFF		15:16:54	OFF
6	14:56:12	ON	31	15:21:27	ON
	14:56:22	OFF		15:21:35	OFF
7	14:56:50	ON	32	15:28:08	ON
	14:56:59	OFF		15:28:16	OFF
8	14:57:32	ON	33	15:29:03	ON
	14:57:41	OFF		15:29:11	OFF
9	14:58:08	ON	34	15:29:55	ON
	14:58:17	OFF		15:30:03	OFF
10	14:58:44	ON	35	15:30:44	ON
	14:58:53	OFF		15:30:53	OFF
11	14:59:20	ON	36	15:31:33	ON
	14:59:29	OFF		15:31:42	OFF
12	14:59:57	ON	37	15:32:26	ON
	15:00:06	OFF		15:32:35	OFF
13	15:00:34	ON	38	15:33:15	ON
	15:00:43	OFF		15:33:24	OFF
14	15:01:10	ON	39	15:34:04	ON
	15:01:19	OFF		15:34:13	OFF
15	15:01:46	ON	40	15:34:53	ON
	15:01:56	OFF		15:35:01	OFF
16	15:02:22	ON	41	15:35:41	ON
	15:02:33	OFF		15:35:49	OFF
17	15:03:01	ON	42	15:36:28	ON
	15:03:11	OFF		15:36:37	OFF
18	15:03:42	ON	43	15:37:19	ON
	15:03:52	OFF		15:37:28	OFF
19	15:04:25	ON	44	15:38:07	ON
	15:04:35	OFF		15:38:15	OFF
20	15:05:10	ON	45	15:39:03	ON
	15:05:21	OFF		15:39:12	OFF
21	15:06:00	ON	46	15:39:52	ON
	15:06:10	OFF		15:40:00	OFF
22	15:06:52	ON	47	15:40:48	ON
	15:07:02	OFF		15:40:56	OFF
23	15:07:48	ON	48	15:41:47	ON
	15:07:58	OFF		15:41:56	OFF
24	15:08:51	ON	49	15:43:02	ON
	15:09:01	OFF		15:43:07	OFF
25	15:09:54	ON			
	15:10:04	OFF			

※SR弁のA弁～E弁、G弁及びH弁の動作記録なし



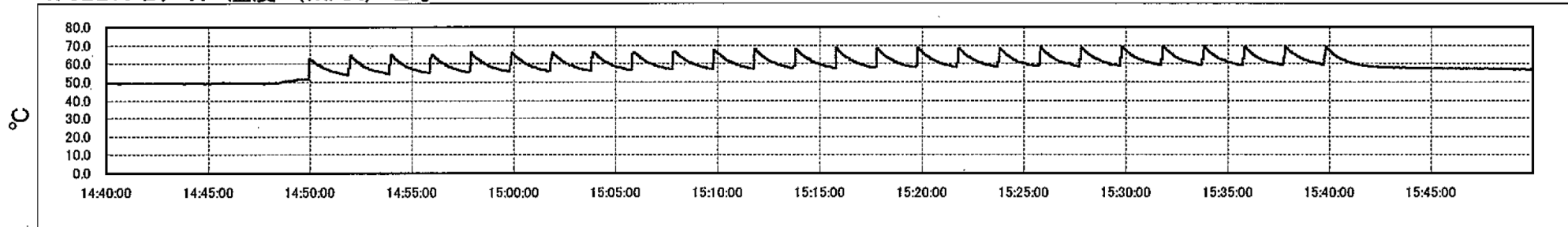
東京電力「プロセス計算機履歴データ」
(平成23年5月)を基に作成

14:52:33～15:43:07、合計49回にわたり、SR弁(F弁)の開閉が繰り返された(2号機アラームタイパ等に基づく)。

2号機のD/W温度

2号機

1. 0B210 D/W 温度 (MAX) 2号



D/W温度は極端には上昇していない。

上記グラフの温度は、ある時刻における複数の温度計の最大値を示しているので、D/Wのどの部位か、連続して同一の部位の温度を示しているかは不明。

D/W温度は60°C前後で推移しており、前項のS/RV周辺温度よりも低い。

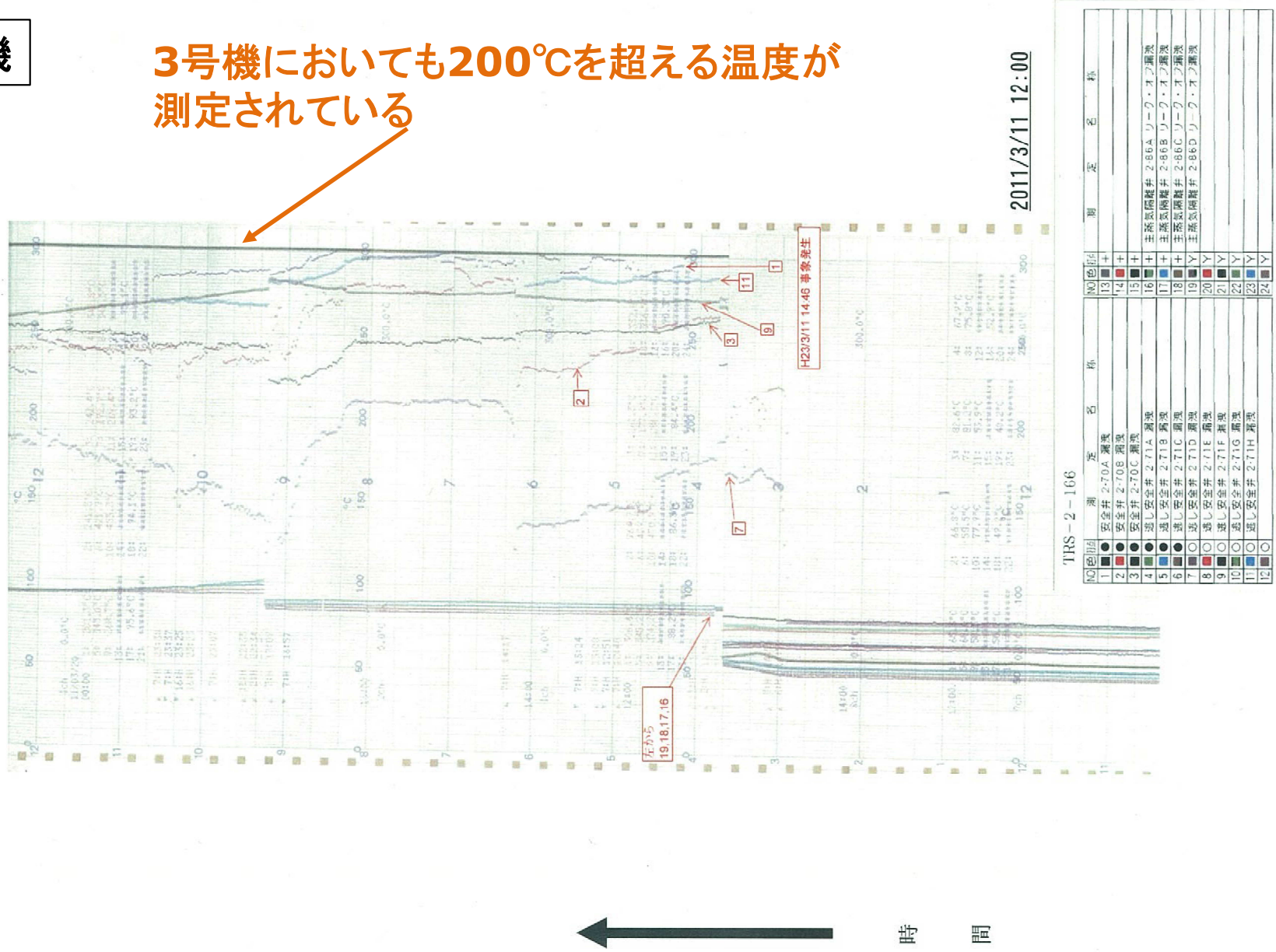
2号機の記録から、炉心が冷却されていた状態においても、S/RV周辺の温度は200°Cを超えている。3号機においてHPCIが停止して炉心損傷が生じる時期では、非常に高温の過熱蒸気がS/RVを通過すると考えられることから、S/RVの温度が上昇し、弁体を押しさえつける力(ばね力)への影響が生じたと考えられる。

参考

S/RVの温度

3号機

3号機においても200°Cを超える温度が測定されている



← 時間

3. 3号機ベント後の事故進展の推定

- ベント実施前からD/W圧力がS/C圧力よりも高い状態で推移していたことから、RPVからD/Wへの漏えい経路がベント実施以前に形成されていたと考えられる
- PCVスプレイ等の注水によりS/P水位は通常水位よりもかなり高い位置にあった
- D/WとS/Cの圧力の上下関係が逆転することで、S/P水がD/W床面へ引き上げられたり押し下げられたりした
- PCV内の水位の変動に伴いPCV内での蒸気発生量が変動したことがPCV圧力変動の大きな要因と考えられる
 - S/Pの減圧沸騰による圧力低下の抑制
 - D/W床面に水位が形成されるため、床面に落下したデブリにより蒸気が発生し圧力が上昇

ベント実施後の事故進展の推定手順

- 圧力挙動等から拘束条件を検討
 - PCV内での水蒸気及び非凝縮性ガスの合理的な発生量を検討
 - RPV、D/W及びS/C圧力の上下関係の整合性を考慮
- 事故シナリオの推定
 - PCVからの漏えい発生時期、溶融燃料の落下時期等の推定
 - 単純な体系及び単純な仮定に基づき解析を実施し、実測値と比較することで実現性を確認

この後で示すグラフでは、原子炉圧力を黒色、
D/W圧力を赤色、S/C圧力を青色で示す。

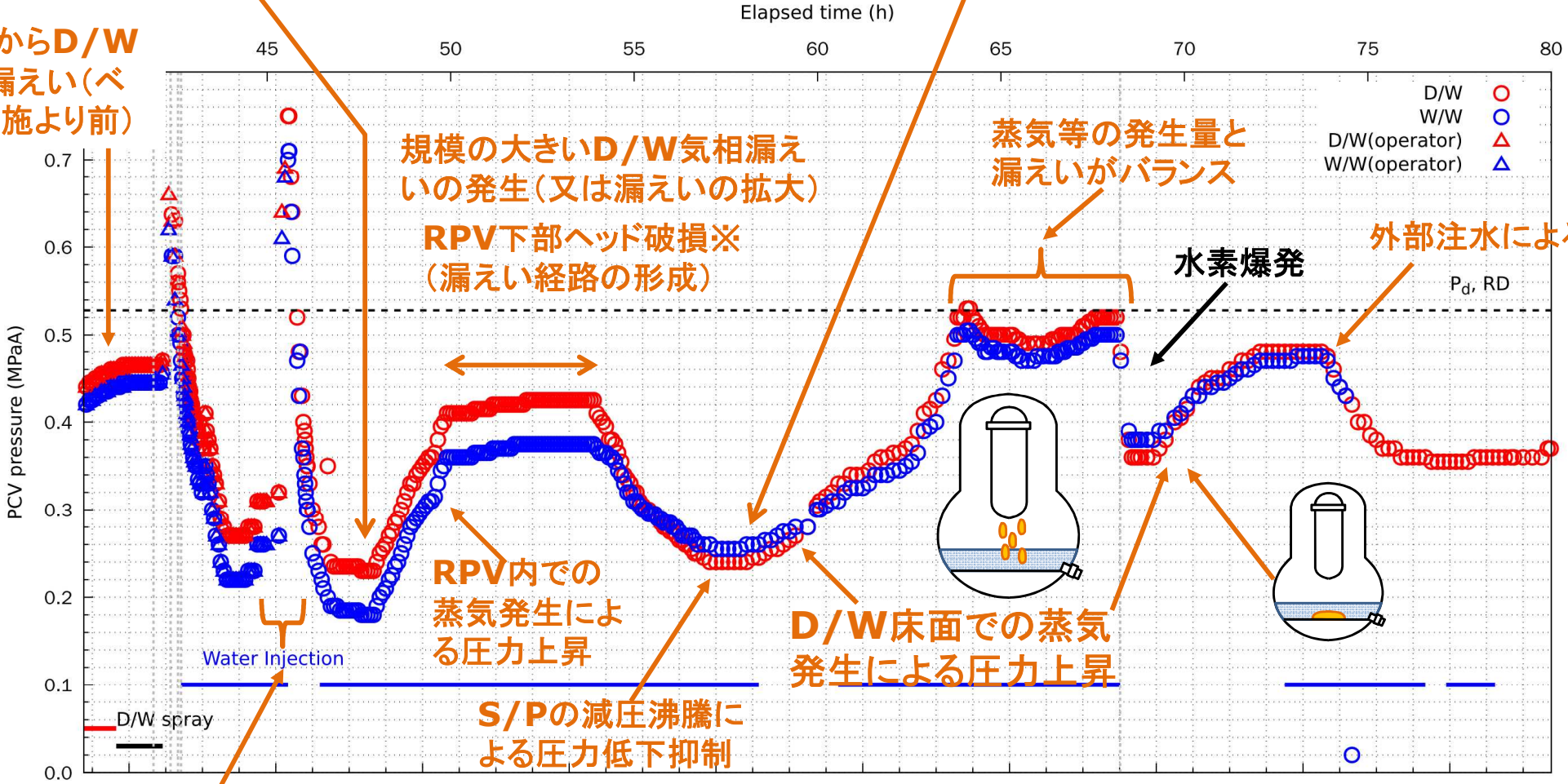
事故進展の推定

※BWRのRPV下部構造の複雑さから、RPV下部ヘッド破損とD/W床面への溶融炉心の落下には時間差が生じると想定している

S/P水のD/Wへの逆流
D/W床面への溶融燃料の落下

PCVベント閉止

RPVからD/Wへの漏えい(ベント実施より前)



主蒸気管貫通部近傍からの小規模な漏えい開始

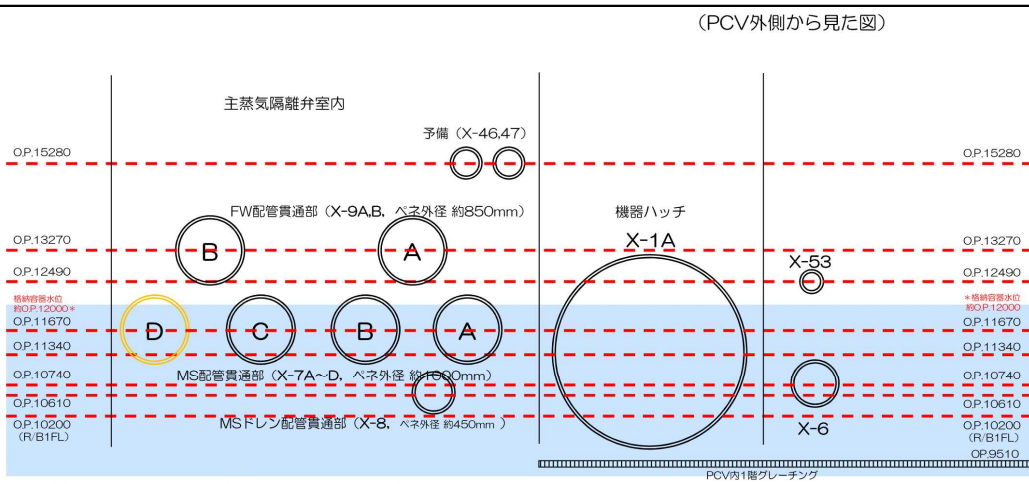
3.1 主蒸気管貫通部からの漏えいについて

- 現在、3号機は主蒸気管貫通部から漏水が確認されており、過温により漏えいが発生したと考えられる P. 21
- 3月13日に3号機原子炉建屋で高線量が測定され、「白いモヤモヤ」が観測されていることから、ベントの逆流又はPCVからの漏えい発生が考えられる P. 23
- 1号機でも同様の高線量及び「モヤモヤ」が観測されているが、これは1号機のベント実施前であることから、PCVからの直接漏えいの影響と考えられる。 P. 23
- 1号機で推定された建屋内線量と3号機で測定された線量はほぼ同レベルである。 P. 24
- 線量及び状況が1号機と類似していることから、3号機においてもPCVからの直接漏えいにより高線量と「モヤモヤ」の状態が観測されたと考えられる。 P. 24
- 3号機で測定された線量は建屋北側が南側よりも高いが、MSIV室には北側に開口部が存在し、線量測定場所と距離が近く、線量の南北の異方性とも整合する。 P. 21
- したがって、3月13日のお昼ごろまでには主蒸気管貫通部で漏えいが開始したと考えられる

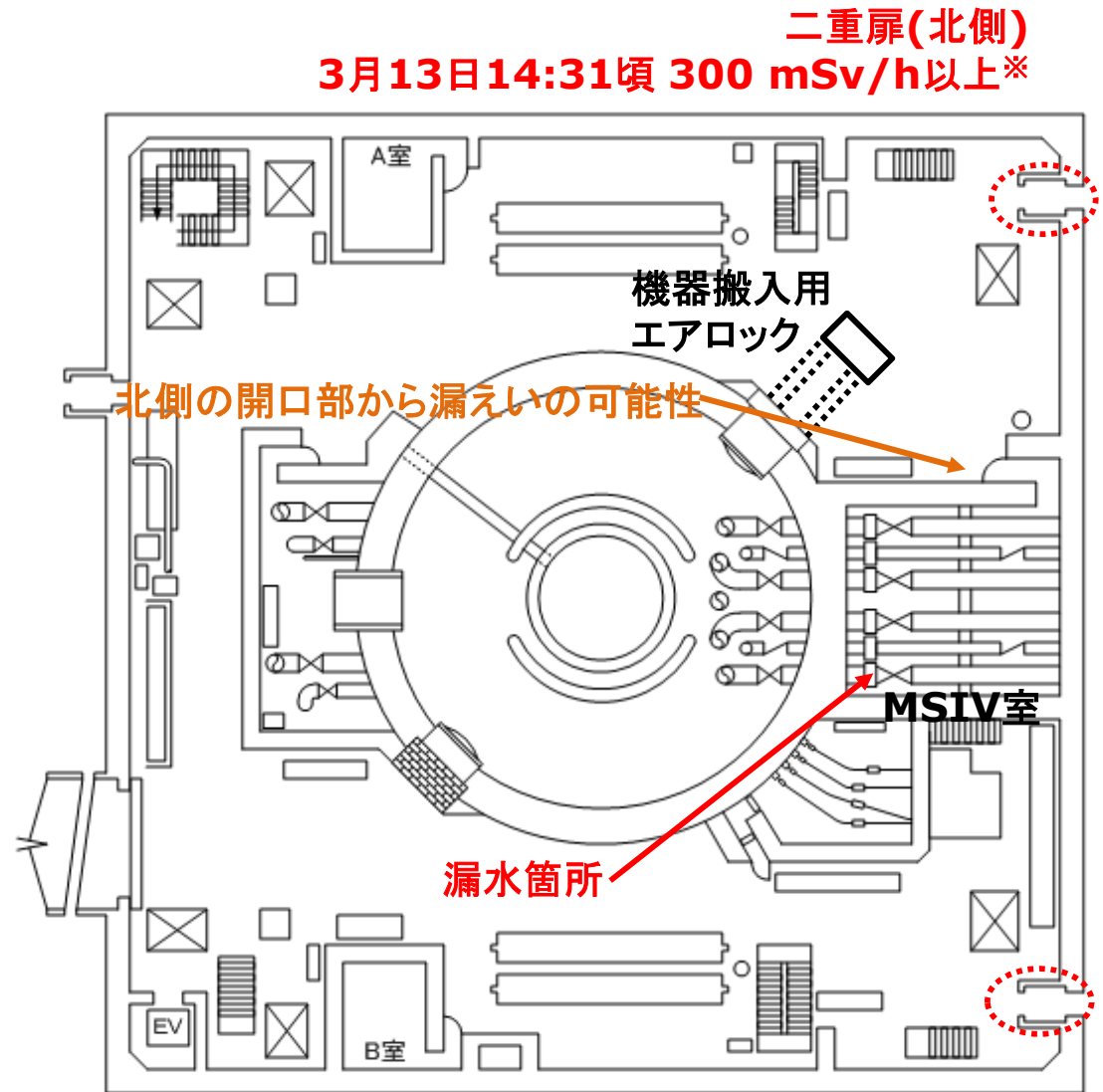
3号機格納容器からの漏えい



(PCV外側から見た図)



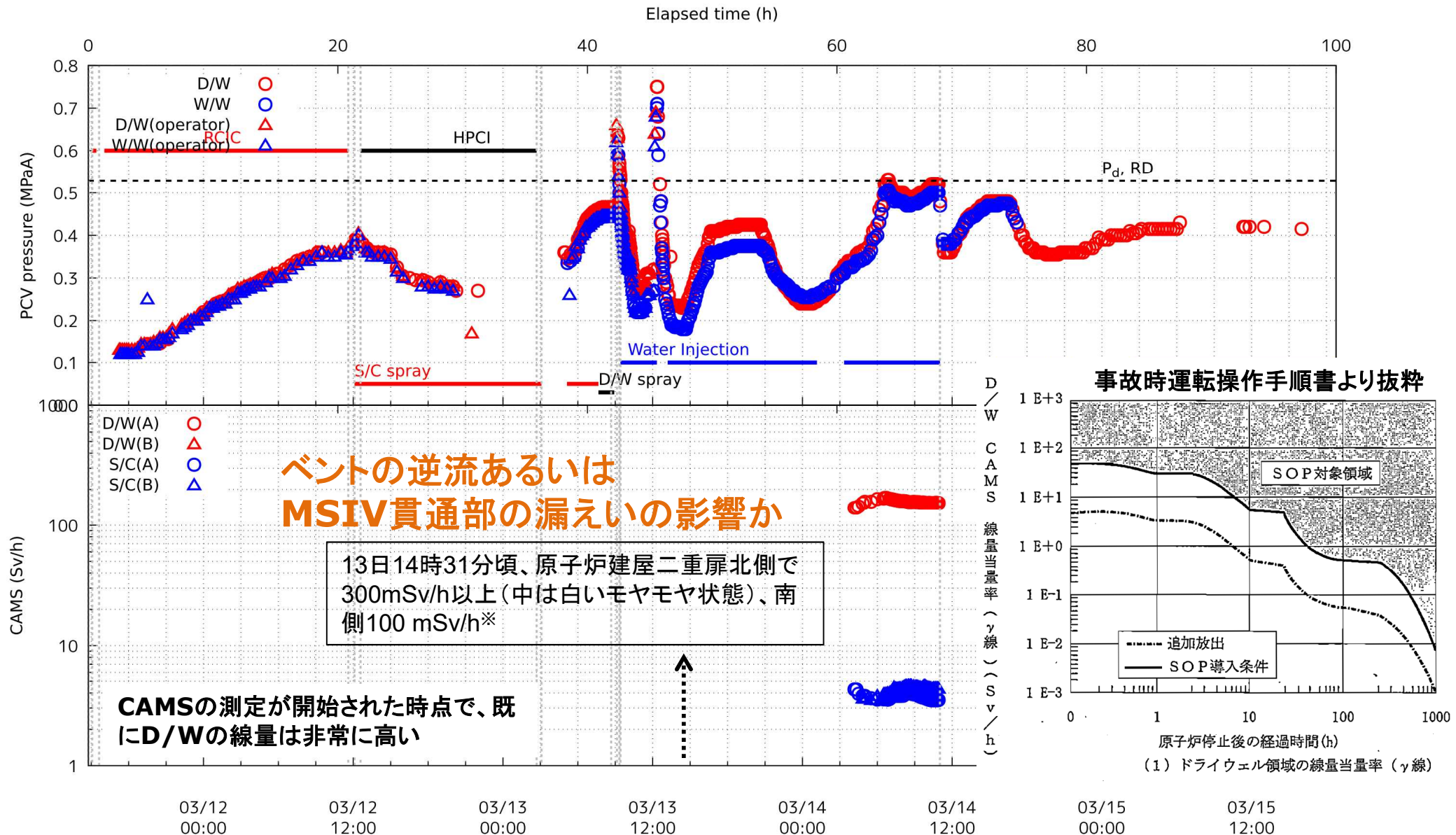
■ 現状、3号機ではMS配管 (D) 貫通部ベローズに漏えいが確認されている。



東京電力資料及び政府事故調報告書より抜粋一部加工

※原子力災害対策本部、「国際原子力機関に対する日本国政府の追加報告書 -東京電力福島原子力発電所の事故について- (第2報)」、平成23年9月

CAMS等の線量



関連する現場状況

- 全面マスク等の装備やヨウ素剤の服用など準備を行い、13日10:00頃、現場作業を開始した。(中略)4号機P/C(4D)から3号機原子炉建屋二重扉まで低圧側ケーブルを敷設し、二重扉内側にあるMCCまで敷設するために二重扉を開けたところ、白いもやがかかっている状況を確認。(中略)その先の作業を中断することとし、13日昼頃、入口にケーブルを丸めて仮置きした。
- (1号機)12日3:44、(中略)発電所では、保安班が原子炉建屋の線量測定のために同二重扉を開けたところ、白い“もやもや”が見えたため、すぐに扉を閉鎖。(ベント実施前の状況)
- (3号機)13日14:45、原子炉建屋二重扉の向こう側で放射線量が300 mSv/h程度ある状況から、発電所対策本部では、1号機と同様に原子炉建屋内に水素が溜まり爆発の可能性があると考え、中央制御室及び屋外の現場の作業員を一旦退避させることとした。

文字の着色及び着色されたかっこ書きは著者

引用:東京電力株式会社、福島原子力事故調査報告書、平成24年6月20日

1号機との比較

- 1号機では3月11日23:00に北側の二重扉前で1.2 mSv/h、南側の二重扉前で0.52 mSv/h
 - 建屋1階の北側の線量が高い類似性
 - 東京電力は建屋内部の線量を300 mSv/h 程度と予想※
 - ベント(3月12日14:30)前に漏えいしている
- ベント実施前の1号機で予想された建屋内線量と同程度
- 観測された水蒸気と思われる「もやもや」の状況からも、ベントの逆流ではなく、PCVからの直接漏えいの影響と考えられる
- 3号機PCVからの漏えい開始は13日昼頃よりも前と推定される

3.2 ADSの閉止時期について

- ADSが開状態を維持している場合は、RPV圧力とS/C圧力にはTクエンチャーの水深に相当する静水頭相当以上の圧力差が生じる P. 26
- RPV圧力とS/C圧力を比較する際に、RPV圧力は炉圧計の基準水喪失による測定値の誤差を考慮する必要がある P. 27
- RPV圧力はD/W圧力以上となる関係が成立することを考慮すると、3月12日頃には基準水をほぼ全量喪失したと考えられる P. 31
- 補正したRPV圧力とD/W圧力を比較すると、RPV圧力低下速度の減少等により、3月13日12:00頃から15:00頃にADSが閉じたと考えられる P. 32
- ADSが閉じる原因として、過熱蒸気が通過することでS/RVが高温になり、シリンダ部から窒素が漏えいすることが考えられる P. 33
- S/RVが高温になる場合には、S/RVが設置されている主蒸気管自体も同様に温度が上昇すると考えられる P. 33
- 主蒸気管の温度上昇は、前述の主蒸気管貫通部の漏えいが発生した要因と考えられる P. 33
- 炉心からの距離を考慮すると、ADSの閉止後に主蒸気管貫通部の漏えいが生じたものと考えられる P. 34

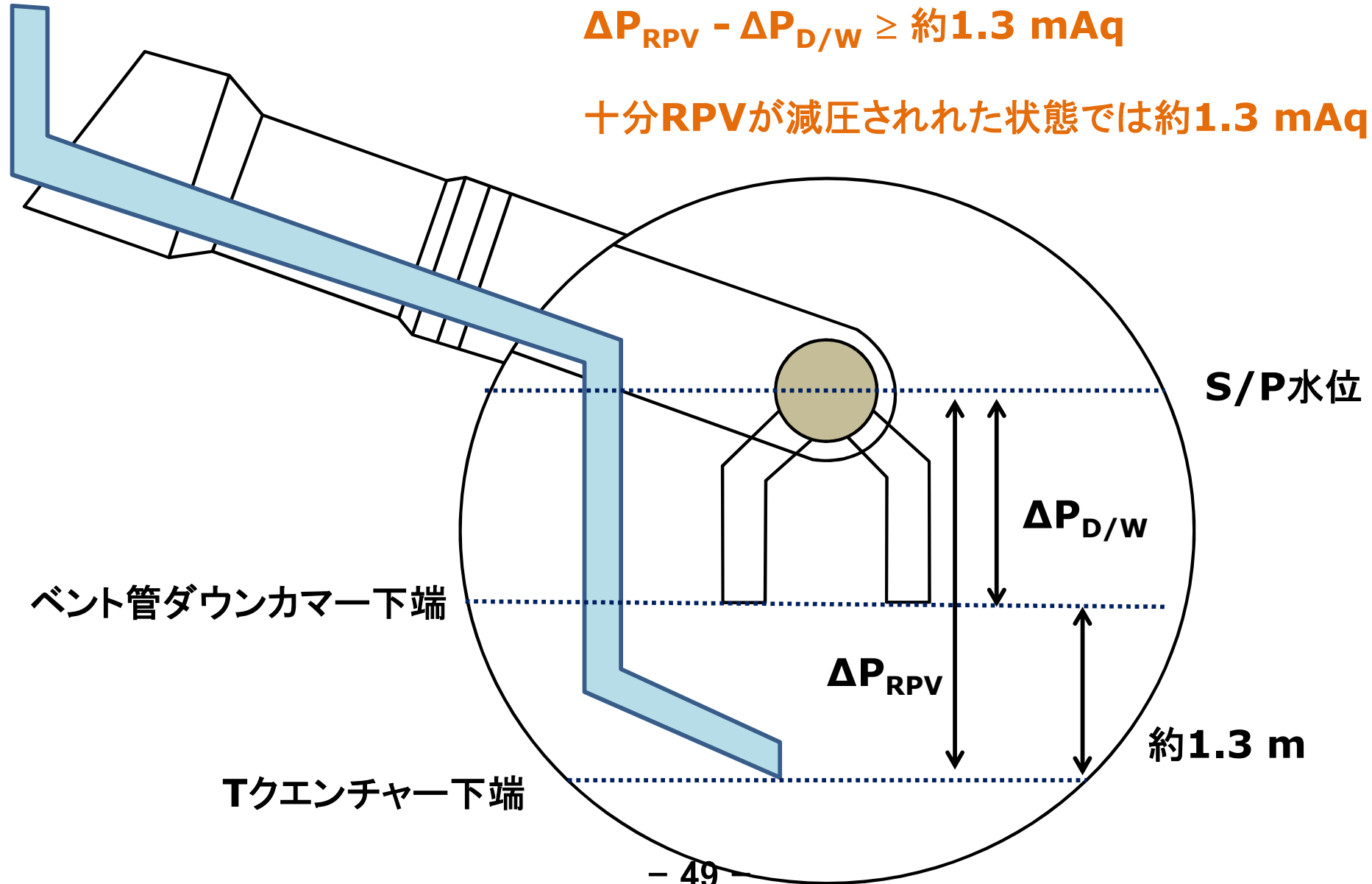
ADS動作時の圧力と水位

S/RV

ADSが開状態の場合

$$\Delta P_{RPV} - \Delta P_{D/W} \geq \text{約} 1.3 \text{ mAq}$$

十分RPVが減圧された状態では約1.3 mAqとなる



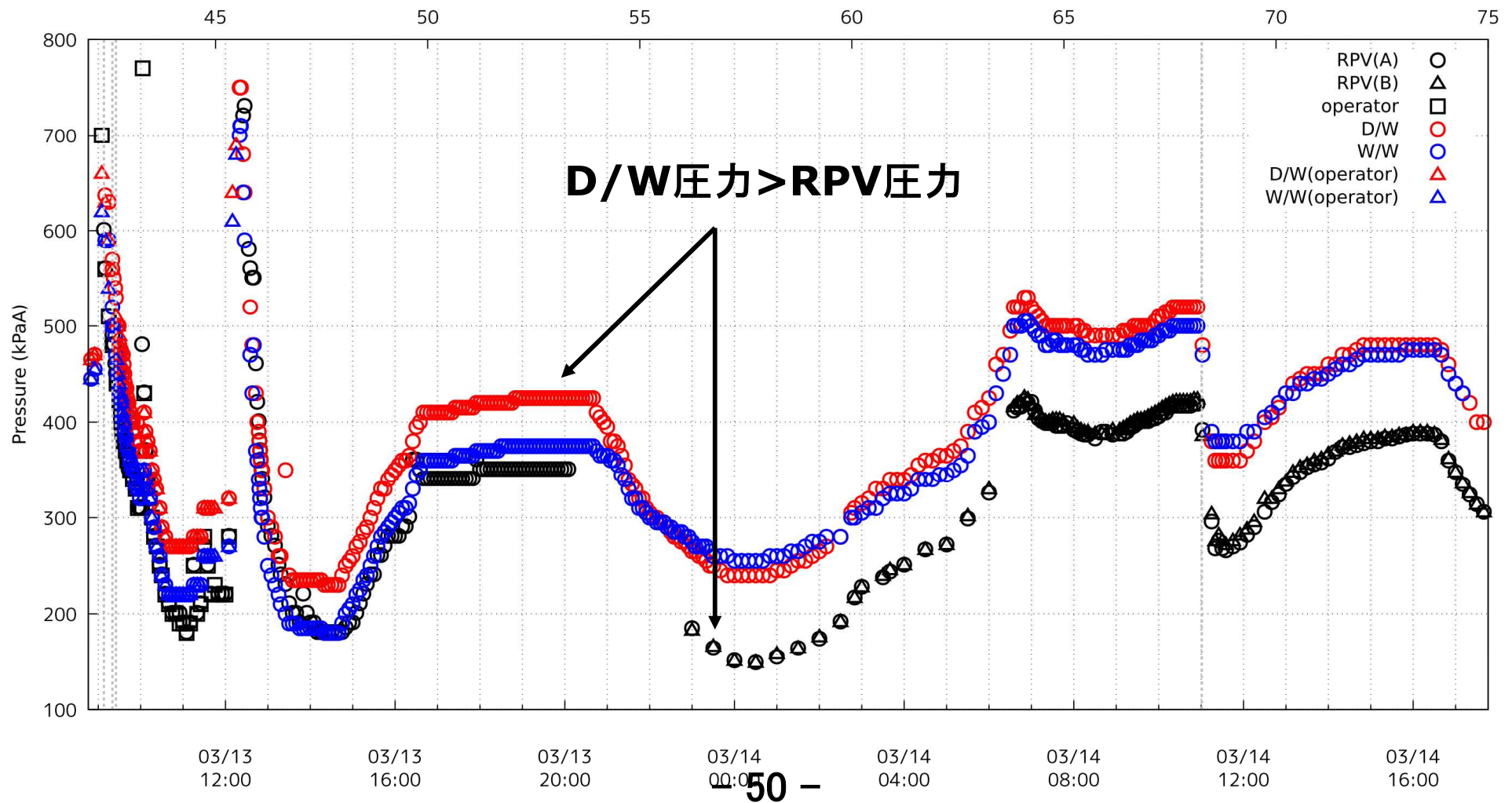
圧力測定値の信頼性

実測値は、原子炉圧力よりもD/W圧力が高いが、

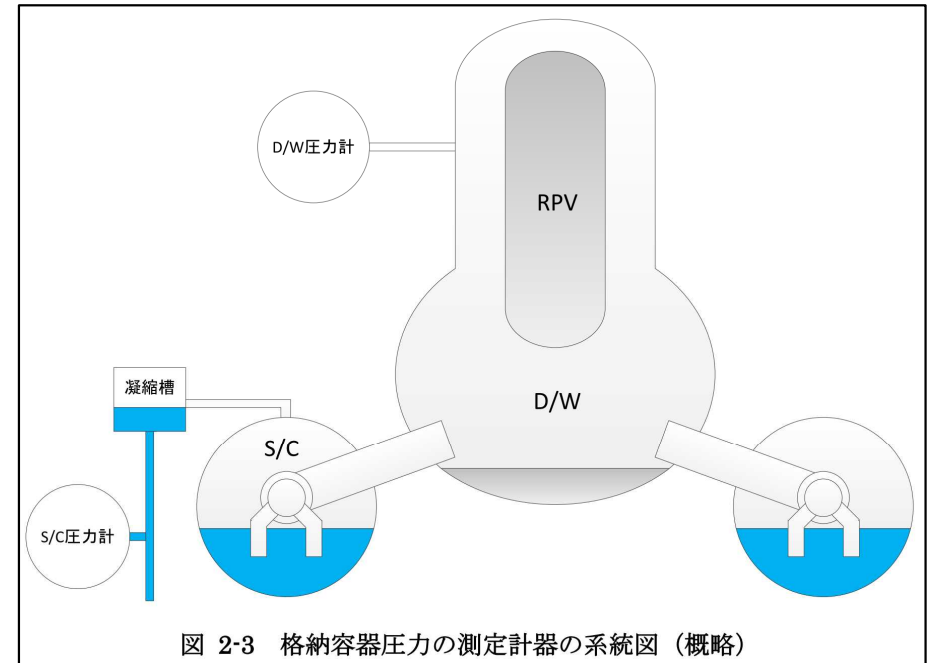
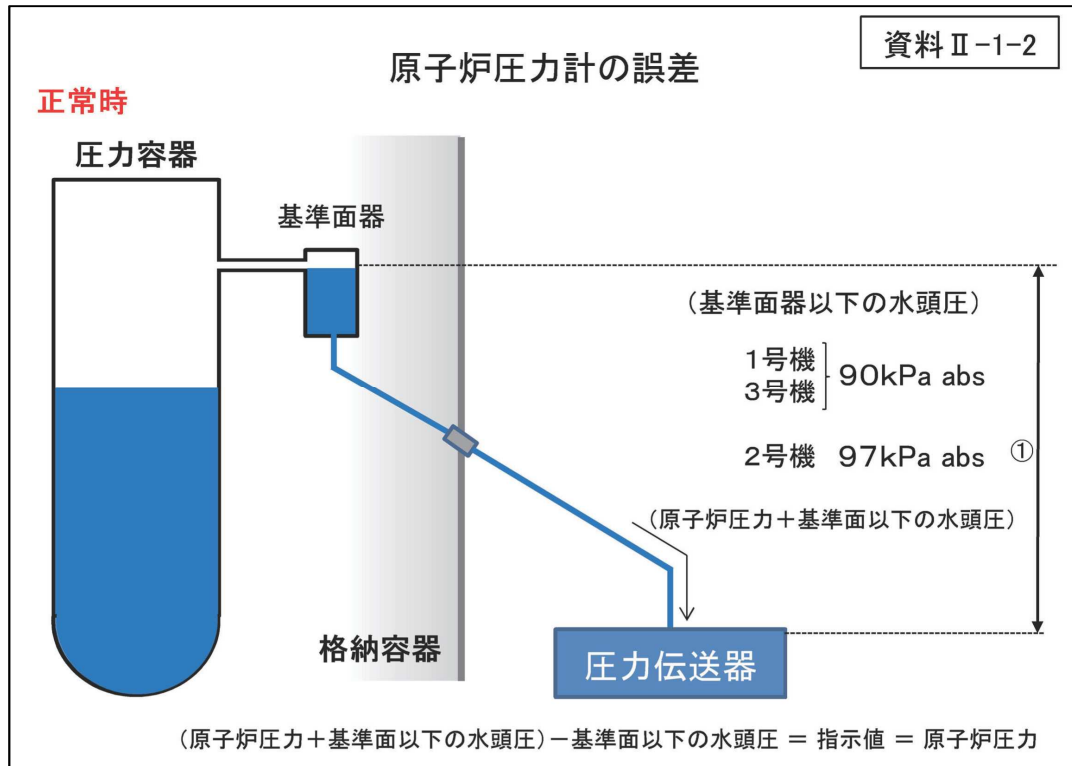
下部ヘッドが健全→RPV圧力>D/W圧力

下部ヘッドが破損→RPV圧力~D/W圧力

のいずれかであり RPV圧力 \geq D/W圧力 の関係にある



原子炉圧力測定値の補正



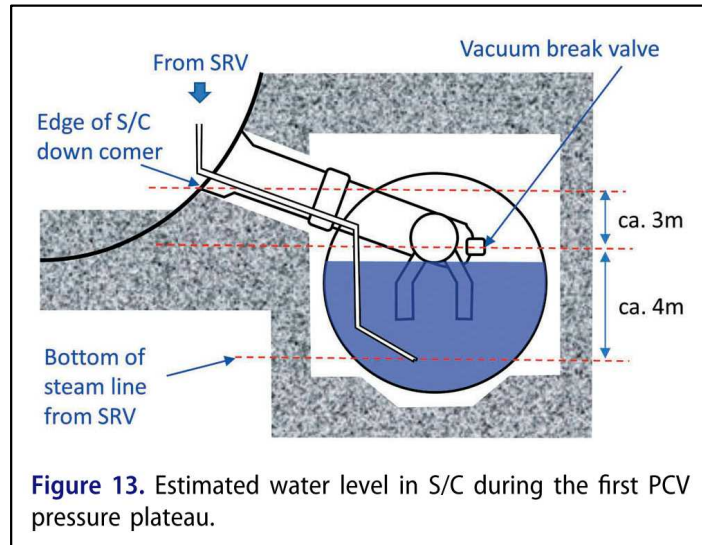
東京電力未解明問題報告書から抜粋

政府事故調報告書から抜粋

「RPV の圧力計は水位計配管の先にある圧力計で測定されており、基準面器側配管内の水位が低下すると、その水頭分(最大 1 気圧程度)RPV 圧力を過小評価することが分かっている」※
ことから、実際の原子炉圧力の取りうる範囲(実測値+90 kPa; ゲージ圧から絶対圧に変換しているため、都合+190 kPa)をグラフに示す(次々項)

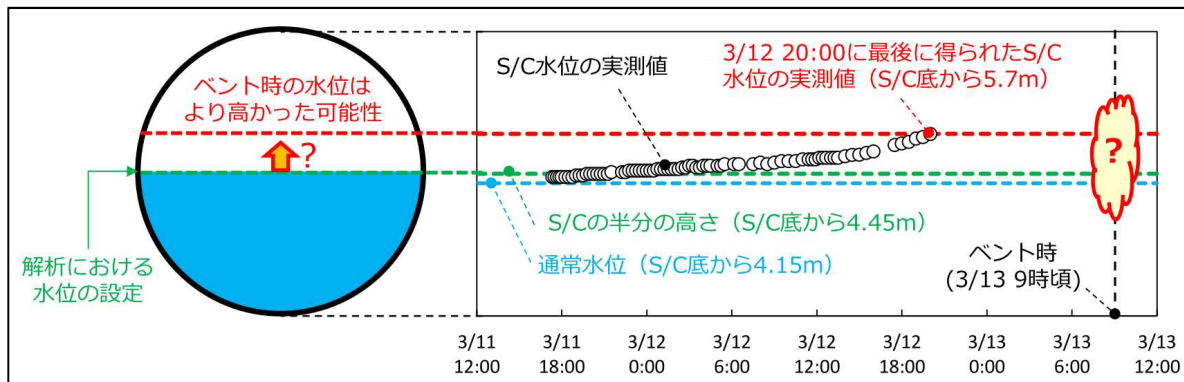
S/C圧力測定値の補正について

参考文献1



- 参考文献1ではS/C圧力計の水柱がベントによってフラッシングした可能性が指摘されている
- 補正された圧力に基づきベント後のS/Cの水位が推定されている(左図)
- 一方、参考文献2での評価にもあるように、3月12日22:00の時点で真空破壊弁程度まで水位が上昇したことが確認されている
- 最後のS/C水位の測定後もスプレイ注水等が継続されており、参考文献1でのS/C水位の推定は実測値よりも低いと考えられる
- ここではS/C圧力計の実測値の補正は実施していない

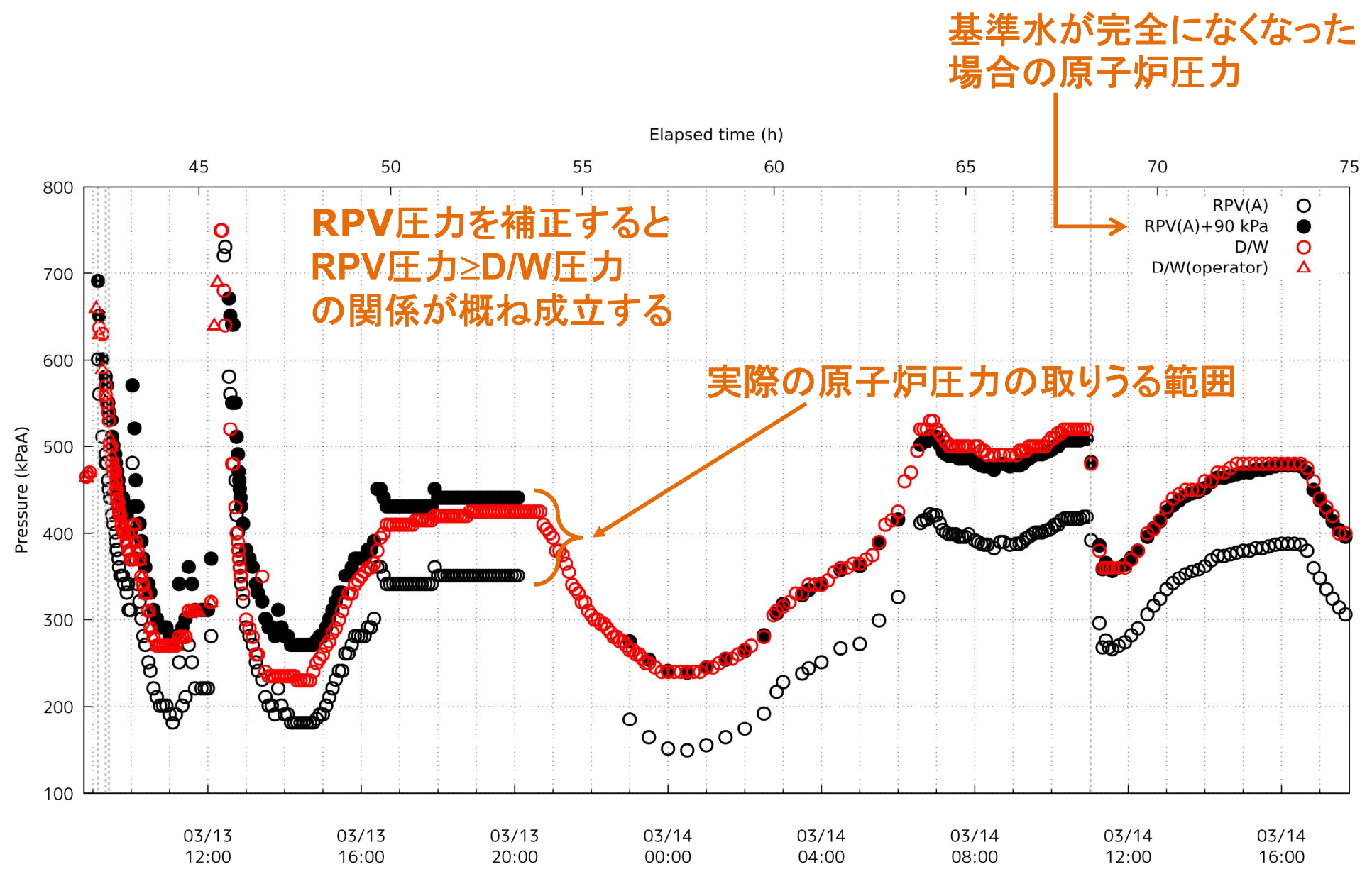
参考文献2



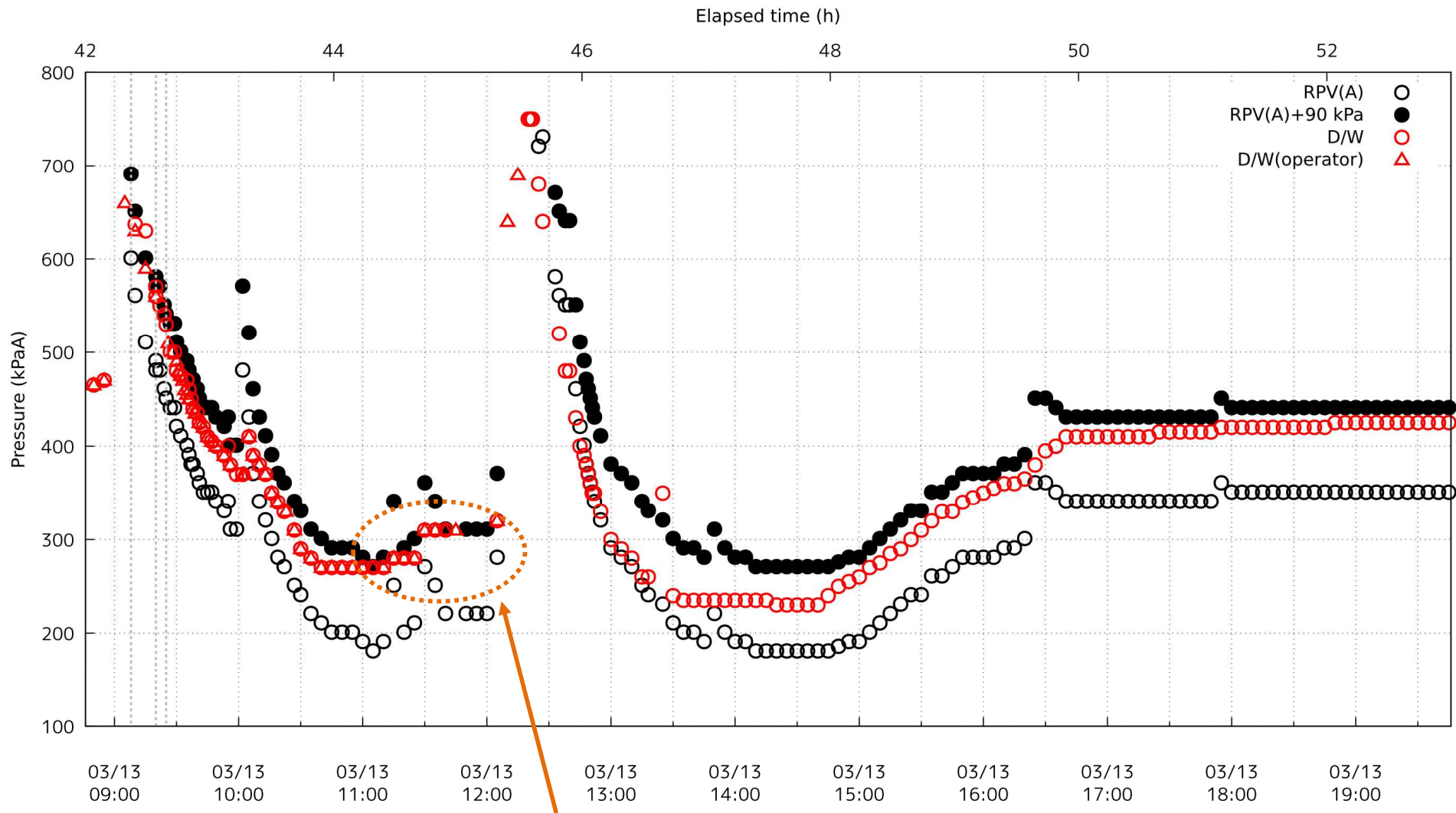
参考文献1: I. Sato, "An interpretation of Fukushima-Daiichi Unit 3 plant data covering the two-week accident-progression phase based on correction for pressure data," J. Nucl. Sci. Technol., 56(5), 394-411 (2019)

参考文献2: 東京電力ホールディングス株式会社、「福島第一原子力発電所1～3号機の炉心・格納容器の状態の推定と未解明問題に関する検討 第5回進捗報告」、平成29年12月25日

原子炉圧力とD/W圧力の比較



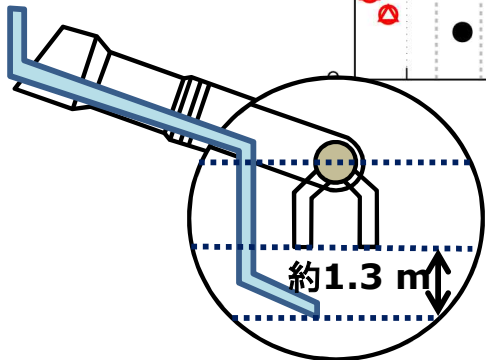
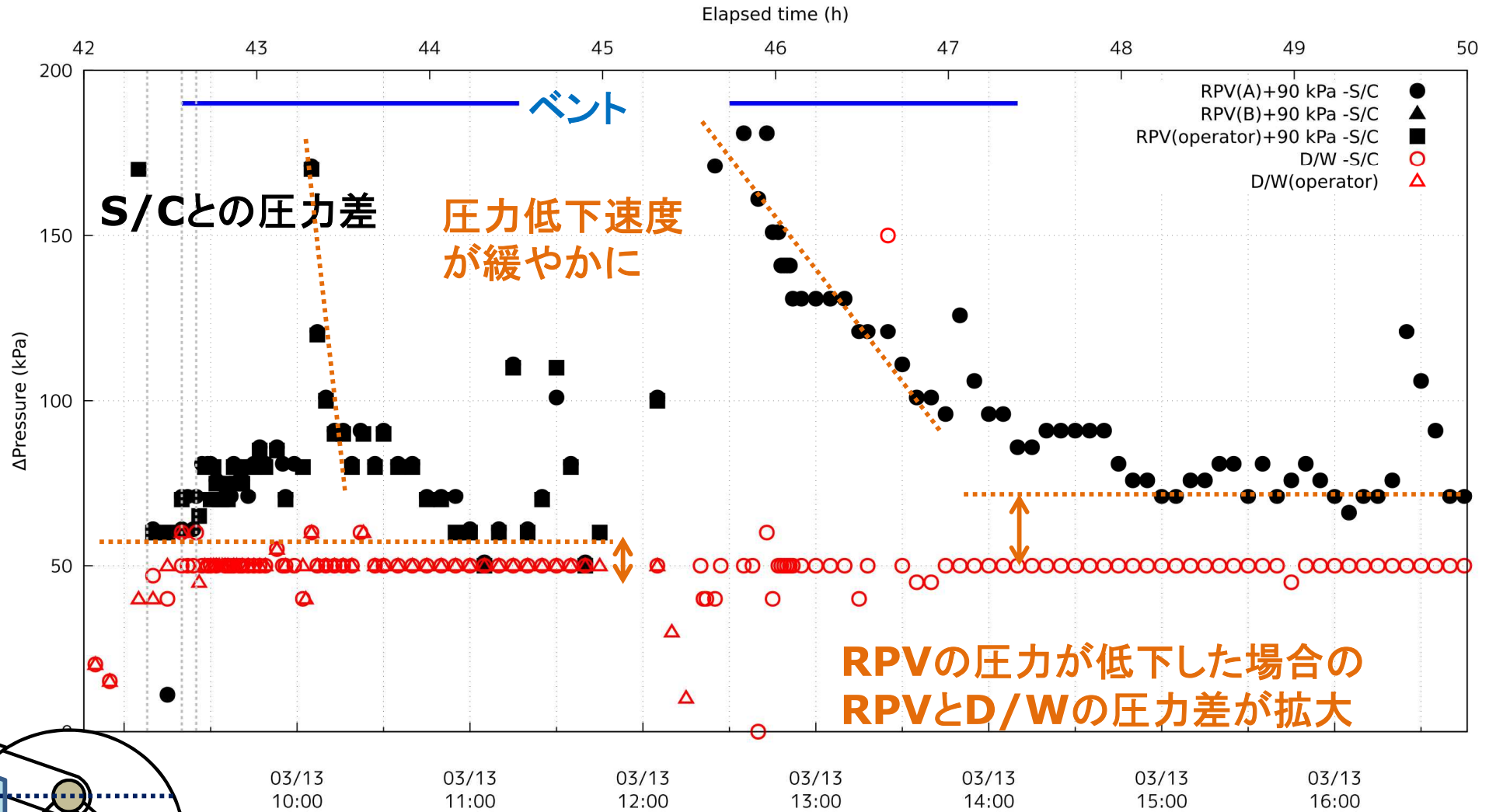
原子炉圧力計の基準水の喪失時期



基準水がほぼ完全に喪失したことを想定しないと $P_{RPV} > P_{D/W}$ の関係が成立しない
 → 3月13日12時頃までには炉圧計の基準水をほぼ全量喪失している

ADSの状態の推定

S/Cの圧力を基準として、RPV圧力とD/W圧力を比較



RPV圧力が下げ止まった場合の圧力差

← ADSが閉じた可能性がある →

S/RV近傍の過温について

- 前述のように、ADSは3月13日12:00頃から15:00頃の間に関じた可能性がある
 - 高温下では窒素をシリンダに保持できない可能性
- 主蒸気管貫通部は過温により13日14時31分頃までには漏えいが生じた可能性がある。
- 漏えいが発生しているのは、主蒸気管Dのみであることから、PCVの雰囲気気を上昇したのではなく、主蒸気管の温度が上昇したと考えられる
- 主蒸気管Dに接続されたS/RVも過温により閉止したと推定される
 - より炉心に近いS/RVが先に影響を受けたと考えられる

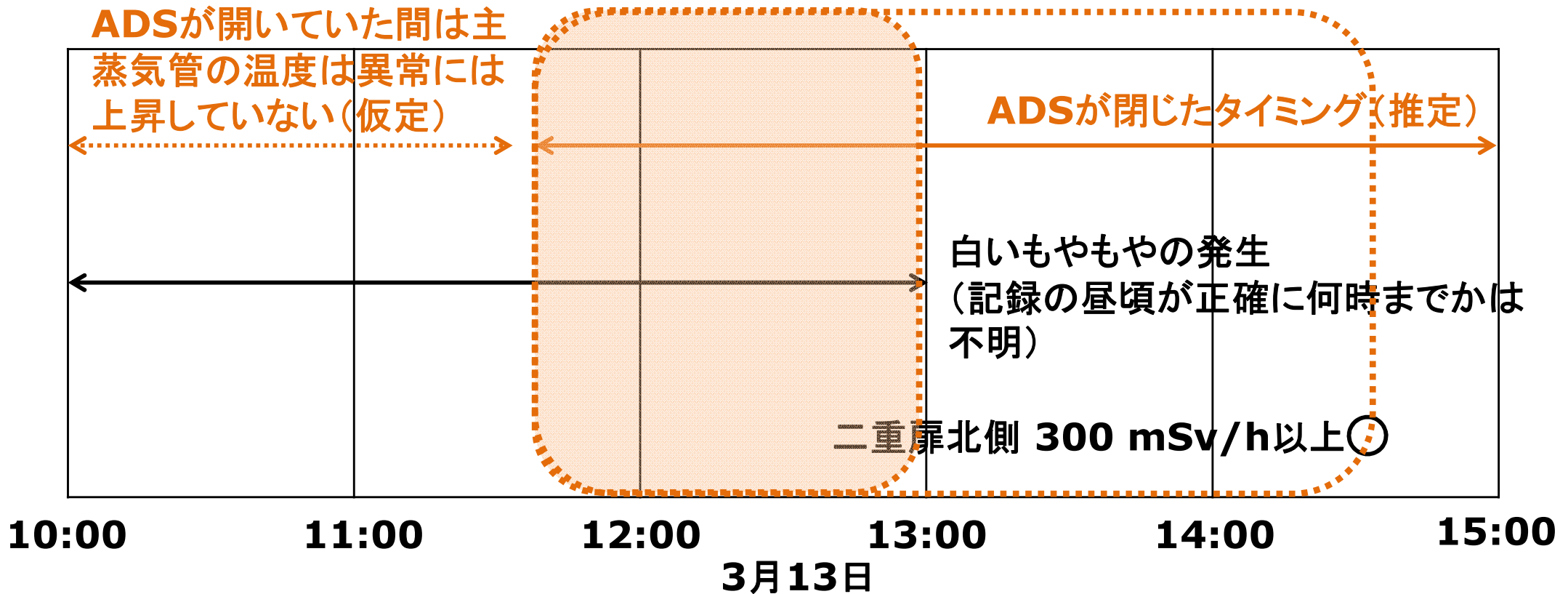
ADSが閉じたタイミングについて

炉心から流れる過熱蒸気によってS/RV及び主蒸気管が高温になり、ADSの閉止及びPCV貫通部からの漏えいが生じたと仮定した

炉心に近いS/RVがPCV貫通部よりも先に高温の影響を受けたと推定

ADSの閉止※及びPCVからの漏えい発生

→3月13日の12時前後、遅くとも14:31まで

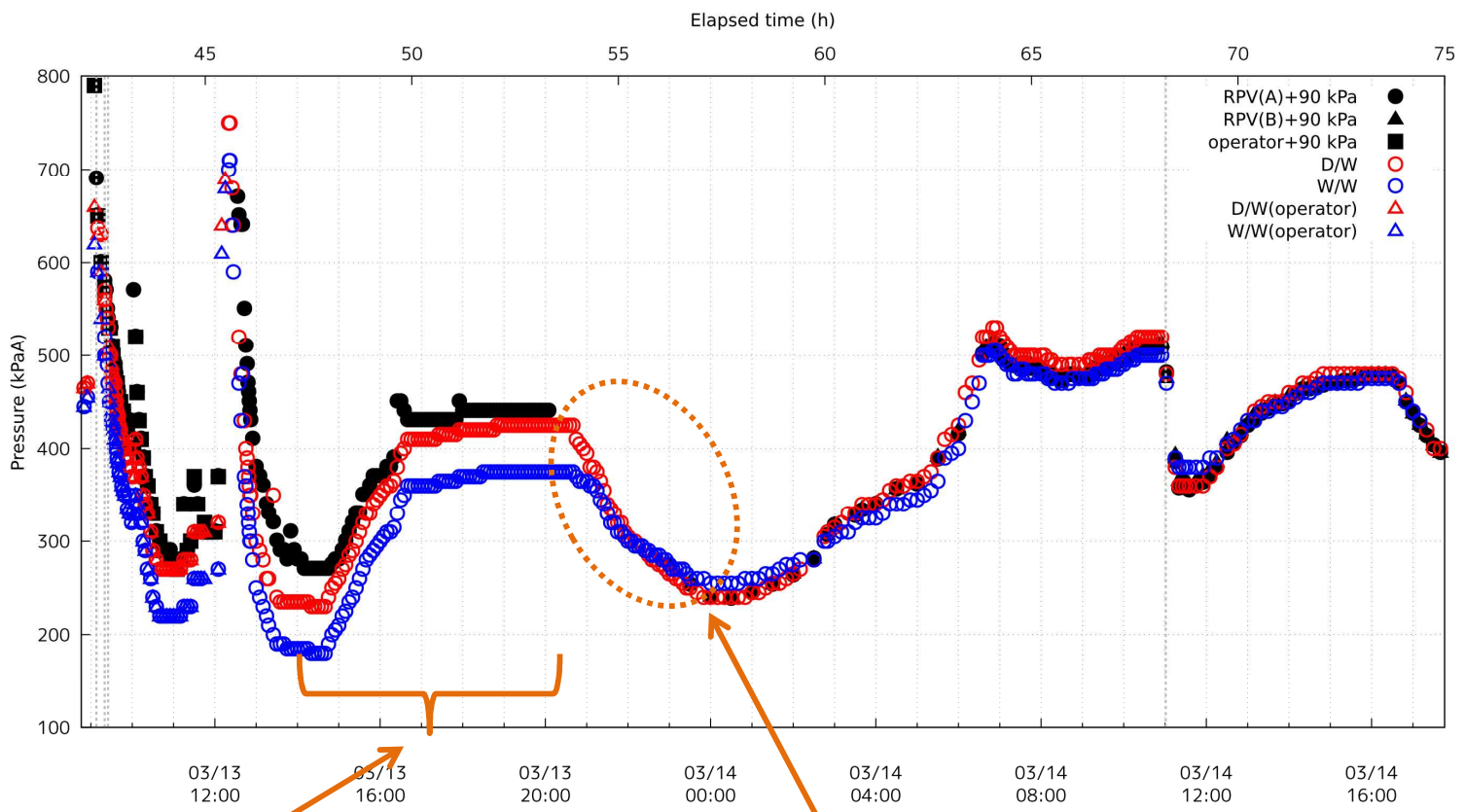


※漏えいが確認されている貫通部は、主蒸気管4本の内1本のみであるから、ADS機能がある6弁のうちの一部の弁の可能性はある

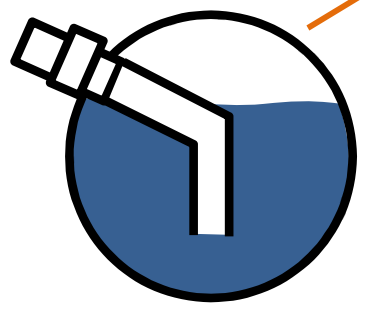
3.3 D/W床面への溶融炉心落下時期

- 格納容器外部からの継続的な注水によりS/P水量が増加しているため、D/W圧力がS/C圧力より低くなると、S/P水がD/W床面へ逆流する P. 36
- D/W床面に溶融炉心が存在すれば、S/P水が逆流することで水蒸気が発生し、PCV圧力が上昇すると考えられる P. 41
- 3月13日23時頃にはD/W床面に水位が形成されると推定されるが、PCV圧力は3月14日1時頃から上昇している P. 41
- 3月14日1:10から3:20の間は注水が中断されており、D/W床面に逆流した水が蒸気源と考えられる P. 41
- D/W床面で蒸気が発生させるには、PCV圧力が上昇し始める3月14日1時頃には溶融炉心がD/W床面に落下していたと考えられる P. 41

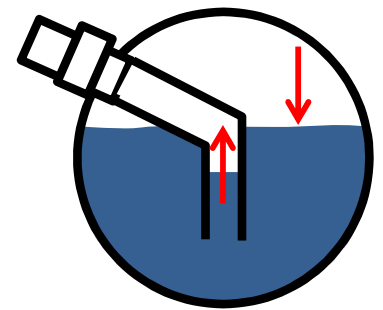
3号機：2回目ベント後のPCV圧力挙動



2回目のベント後はD/W
圧力>S/C圧力となるの
で、主たる加圧源は
D/W側にある

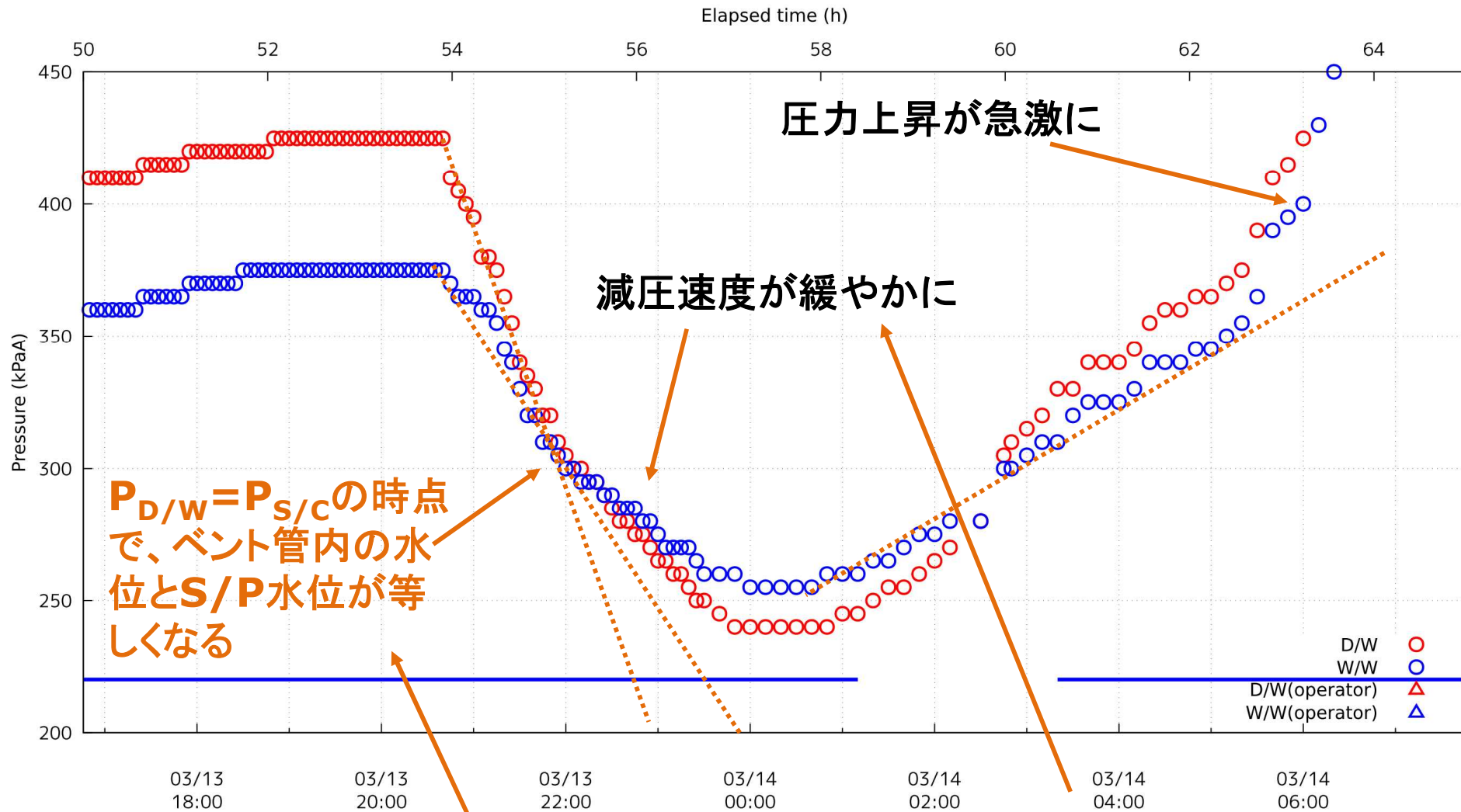


静水頭分だけD/W圧力がS/C
圧力より高い



D/W圧力が低下す
るとベント管内の水
位が上昇し、S/Cの
水位は低下する

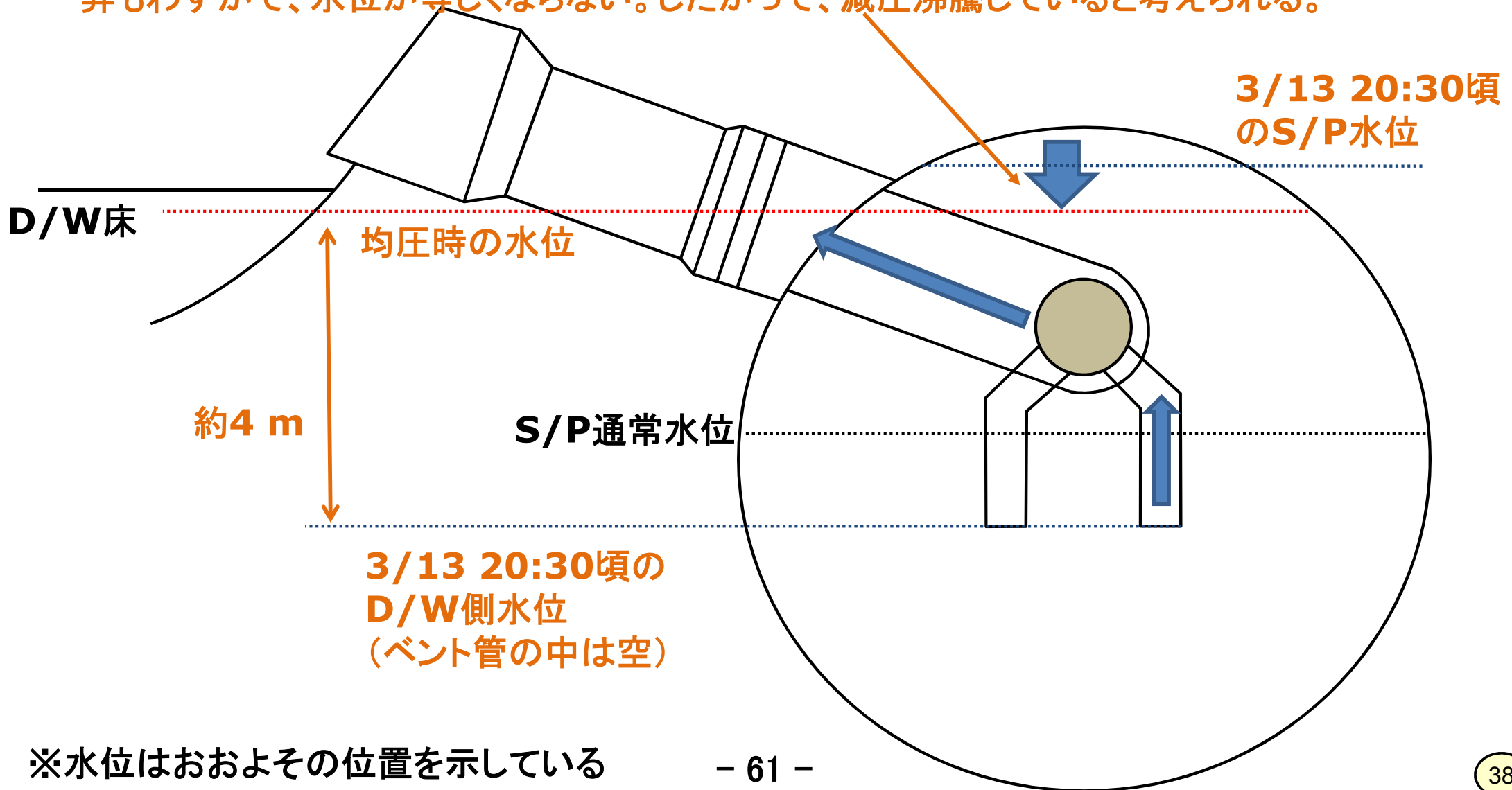
格納容器圧力からの水位の推定



均圧まで、S/Cはわずかに75 kPaの低下。後ろで示すS/P水位が正しければ、等温の場合、40 m³程度しか体積が増えない。その場合、ベント管内の水位上昇もわずかで、水位が等しくならない。

D/WとS/Cが均圧するまでの水位

均圧まで、S/Cはわずかに75 kPaの低下。後ろで示すS/P水位が正しければ、等温の場合、 40 m^3 程度しか体積が増えない(水位低下は10 cm程度)。その場合、ベント管内の水位上昇もわずかで、水位が等しくならない。したがって、減圧沸騰していると考えられる。



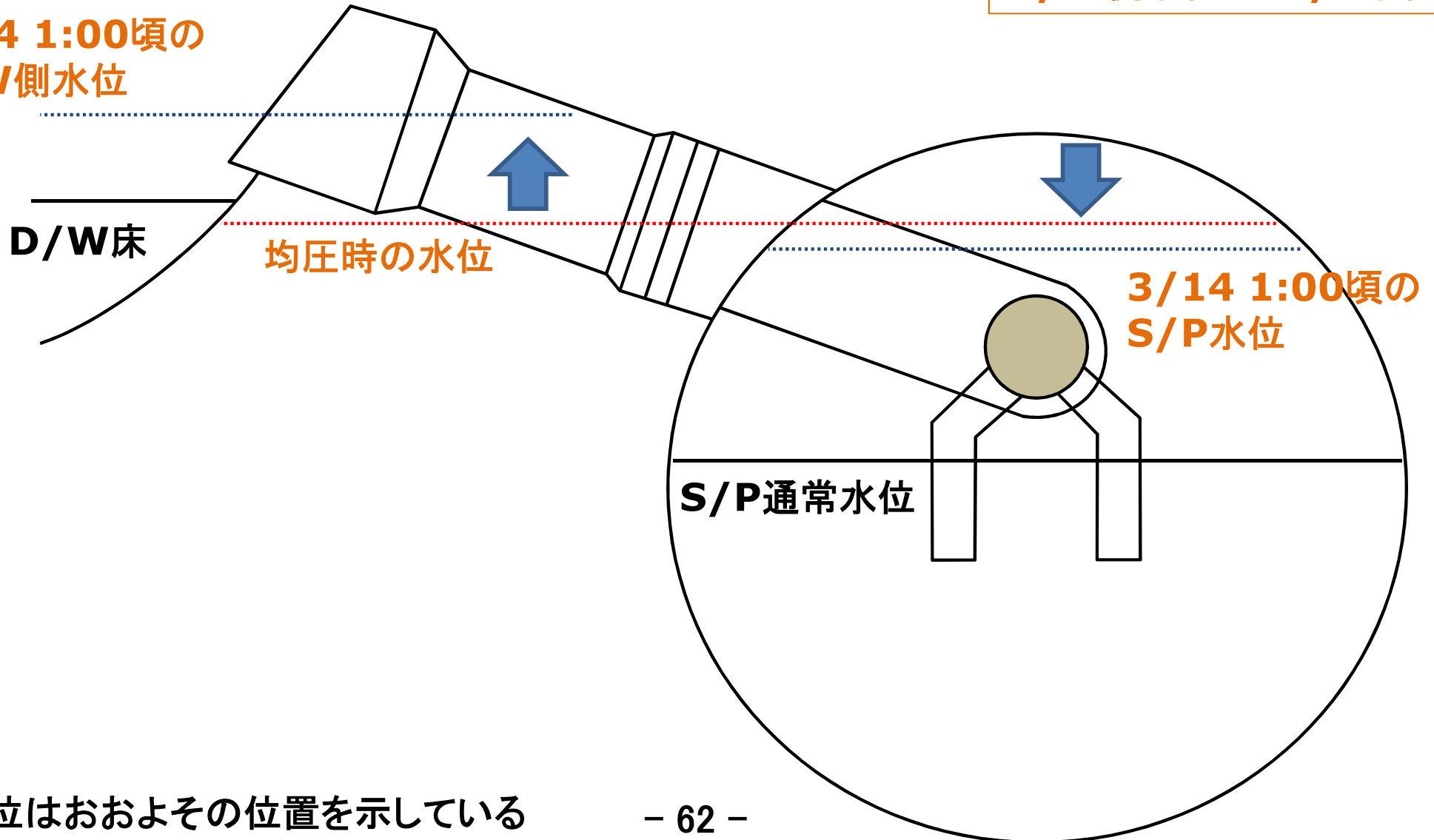
※水位はおおよその位置を示している

D/WとS/Pが均圧した後の水位

D/W床の高さ程度までベント管内の水位が上昇する

水位が逆転
D/W側水位 > S/P水位

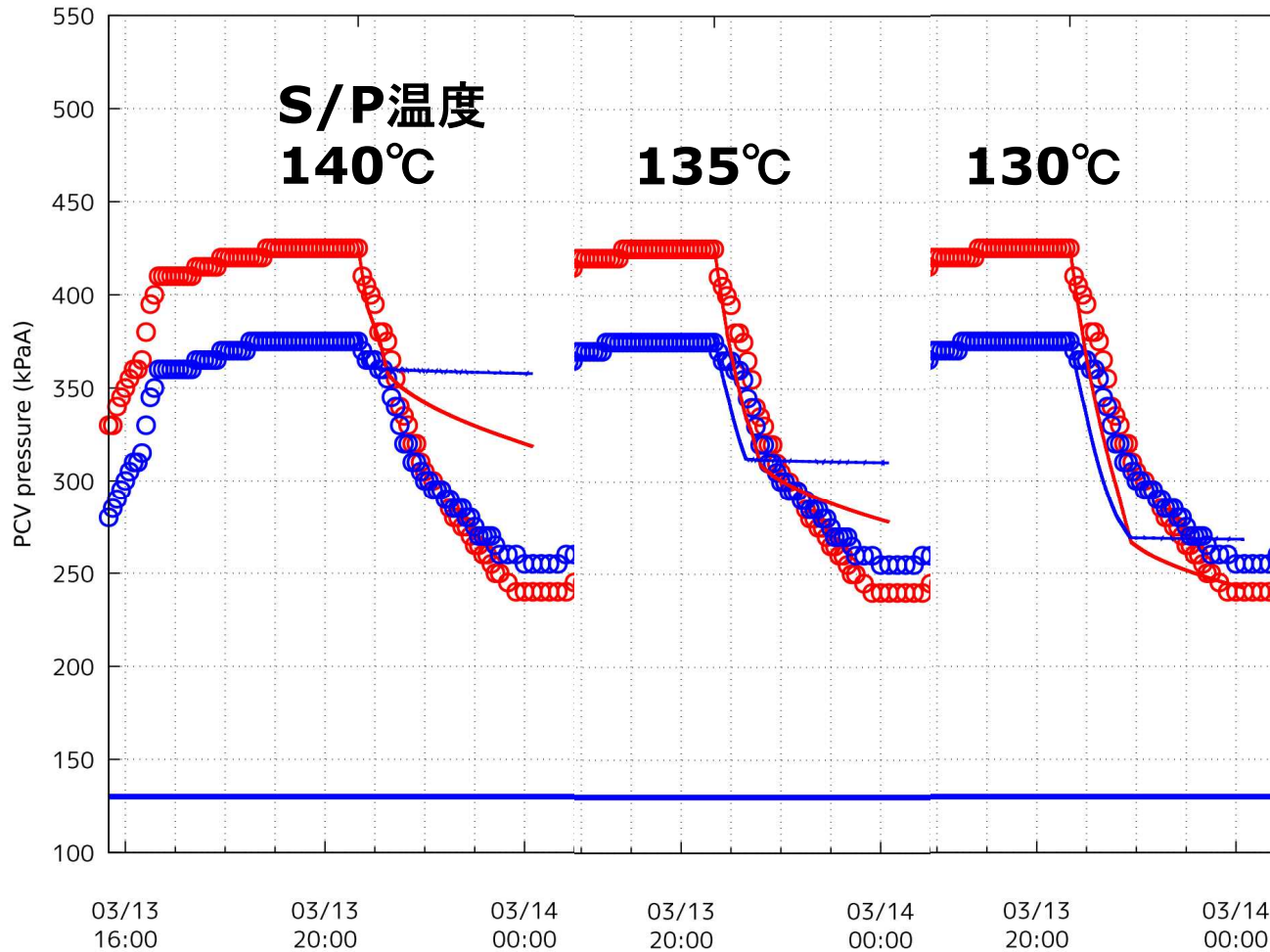
3/14 1:00頃の
D/W側水位



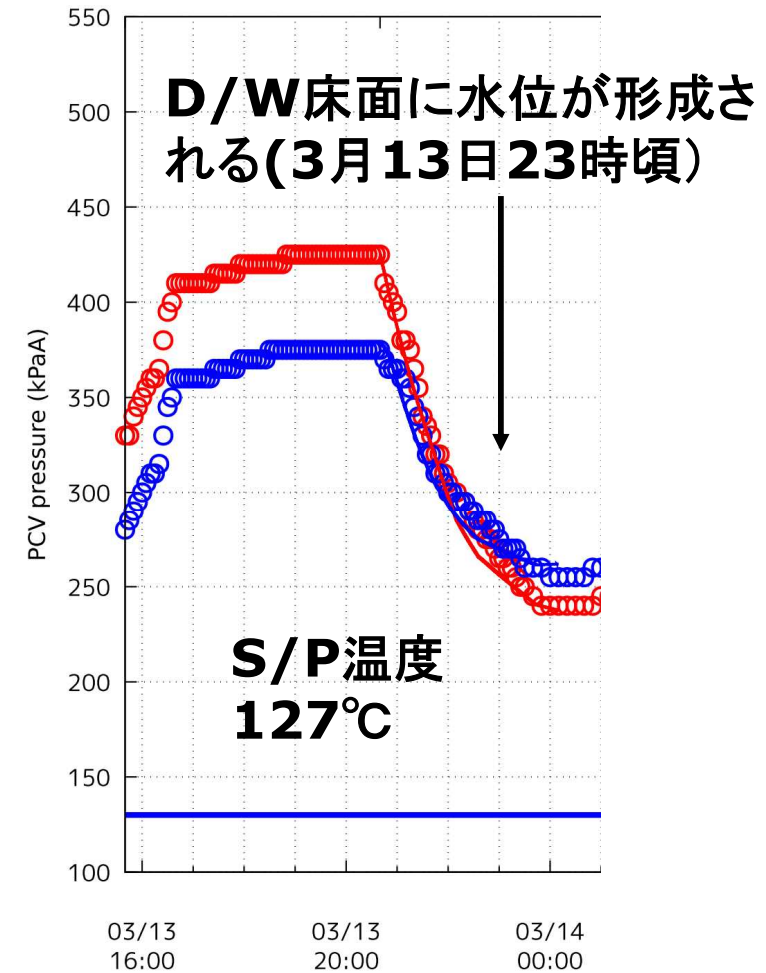
※水位はおおよその位置を示している

PCV減圧とS/P水温

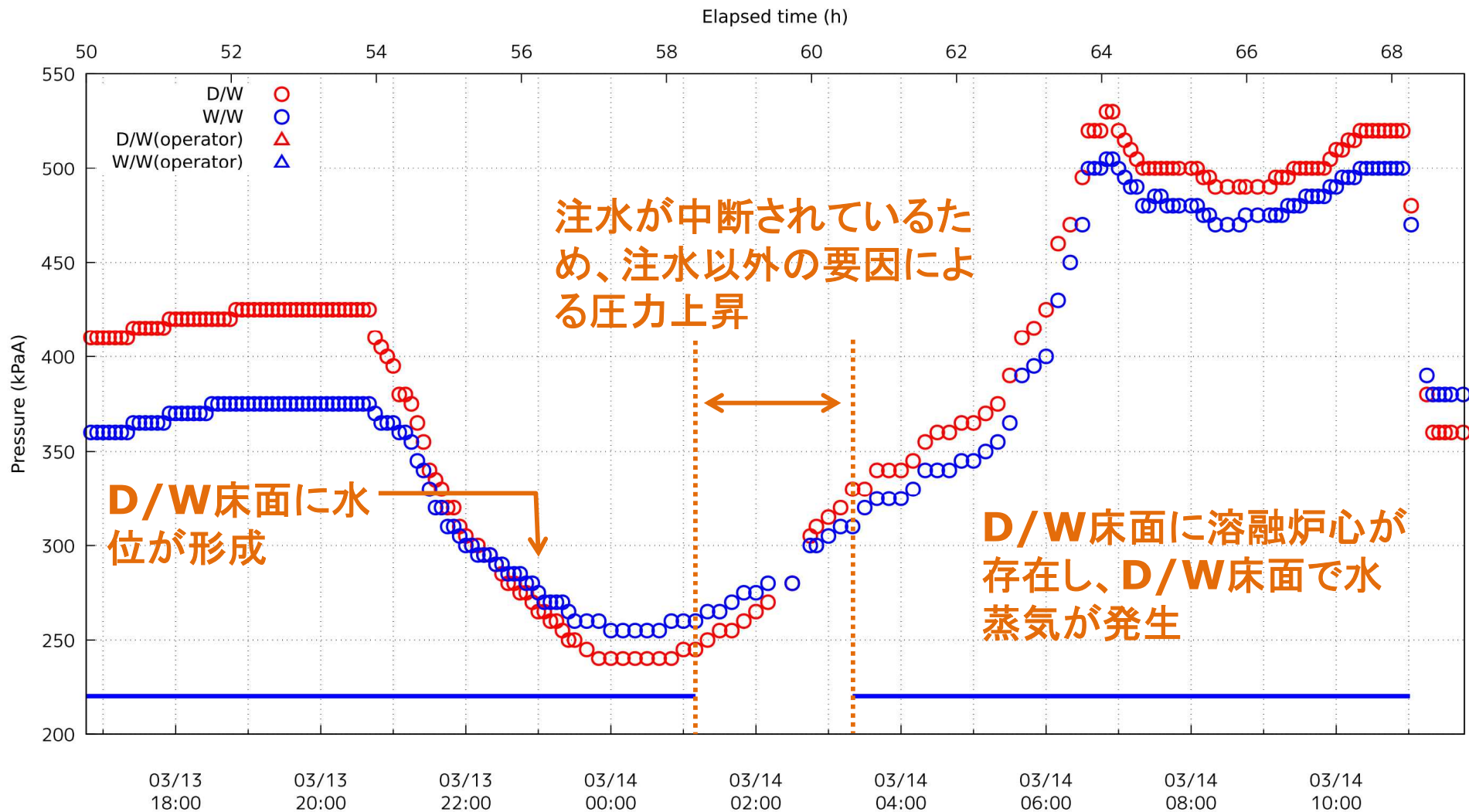
S/P水温を変化させた場合の計算結果(直線)との比較



D/Wからの漏えい量を調整



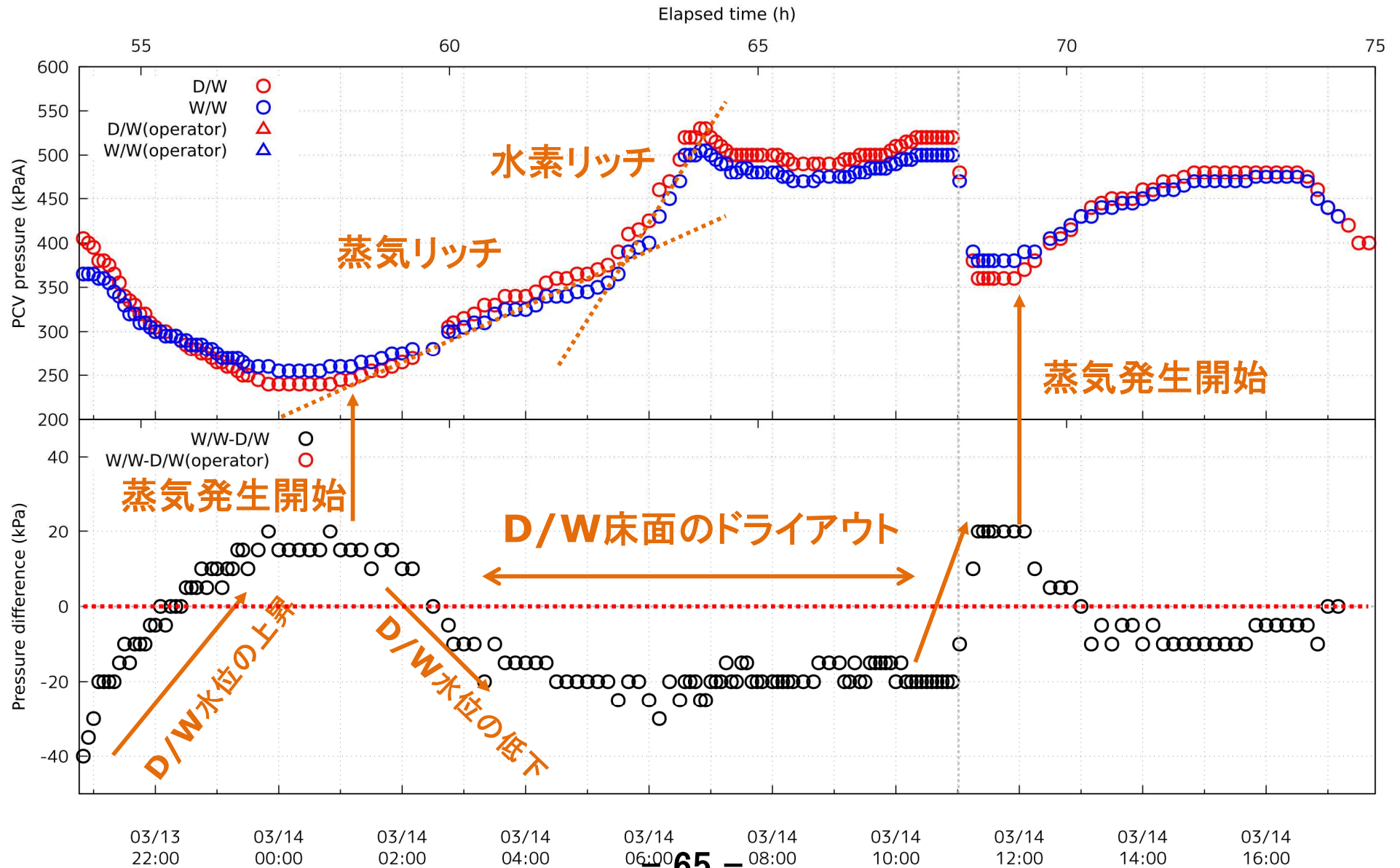
D/Wでの水位形成後の圧力上昇



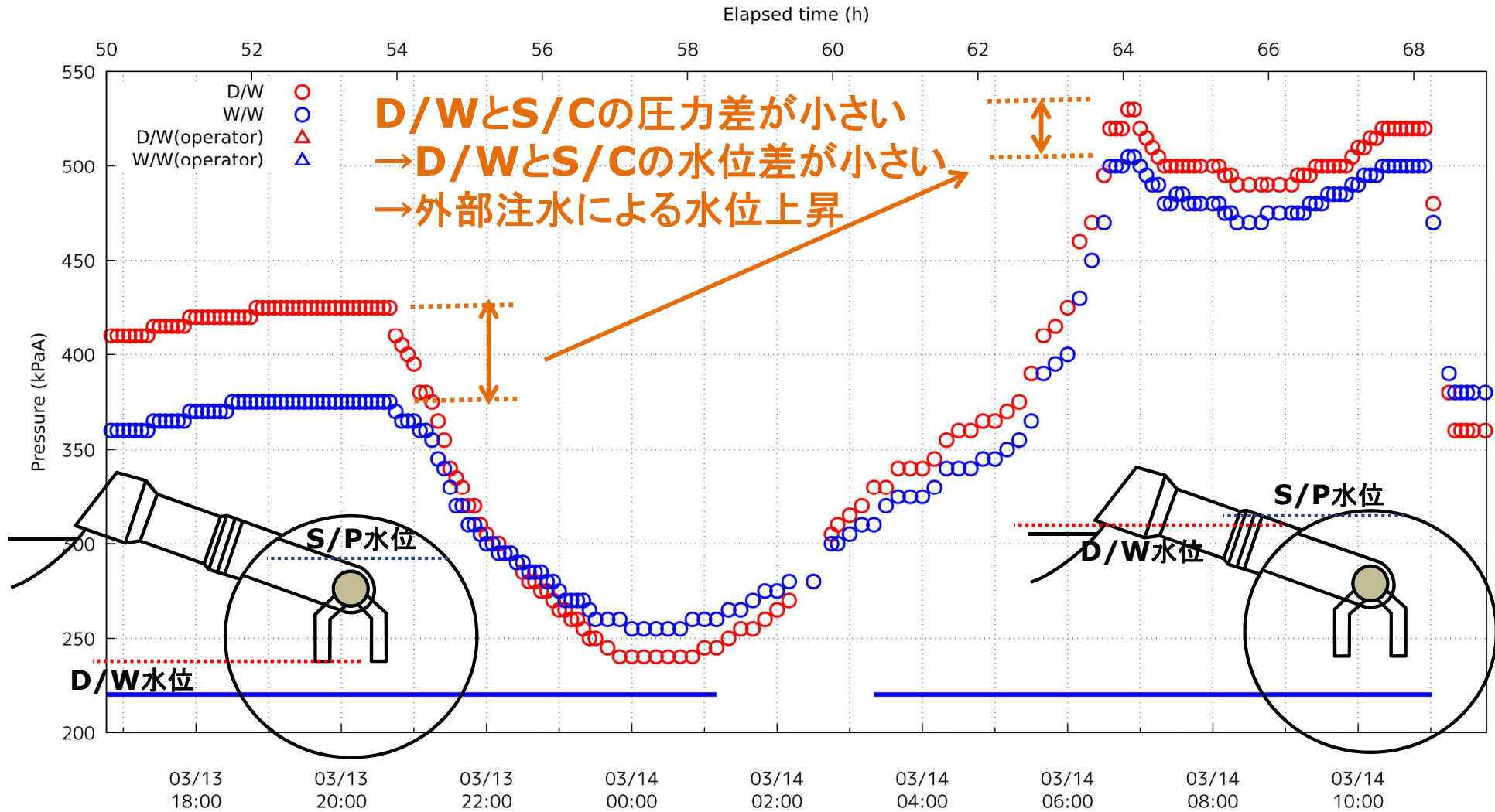
引用: 原子力災害対策本部、「国際原子力機関に対する日本国政府の追加報告書 -東京電力福島原子力発電所の事故について- (第2報)」、平成23年9月

14日1時10分に逆洗弁ピット内の海水が残りなくなったことから、一旦消防車を停止し、消防車を逆洗弁ピットに寄せてホースの吸い込み位置を深くするなど取水位置の調整を行ったところ、海水を引くことができ、14日3時20分に海水注入を再開した。

D/Wの水位の変動と蒸気の発生



外部注水による水位上昇



3.4 MCCIについて

- D/W床面がドライアウトする間にMCCIが進行し、水素等の発生により急峻なPCV圧力上昇が生じたと考えられる P. 42
- 1号機ではサンドクッションドレン管からの漏水が確認されているが、3号機では確認されていないことから、1号機と比較するとコンクリート侵食は少なかったと考えられる P. 45
- これは、前述のようにS/P水がD/W床面に逆流したことでコンクリート侵食が緩和されたためと考えられる P. 45
- 一方、3月14日1時頃からの圧力上昇は、水蒸気の発生に加え、非凝縮性ガスが発生したと考えられる P. 65
- 非凝縮性ガスの発生はMCCIに加え、RPV下部構造物等の金属成分の寄与も考えられる

コンクリート侵食の緩和について

- 1号機では、D/W内にある機器ドレンサンプから原子炉補機冷却系(RCW)の熱交換器へ核分裂生成物(FP)が移行した可能性が指摘されている※
- 1号機では外部注水がわずかであったため、D/W床面がドライな状態で溶融炉心が落下したと推定される
- 3号機では、1号機と比較して、RCWの熱交換器近傍の線量が高くない
- 1号機ではサンドクッションドレン管からの漏えいが確認されている※
- 一方、3号機ではそのような漏えいは確認されていない
- 3号機ではD/W床に水位が形成されていたことによってコンクリート侵食が緩和されたと考えられる

3.5 可燃性ガスの発生について

- 水素爆発時に黒煙が観測されていることから、炭素化合物の不完全燃焼が推測される P. 48
- MCCIにより一酸化炭素が発生することが考えられるが、玄武岩系のコンクリートではその発生量は限られる P. 48
- 一方、機器ハッチの塗膜喪失等から格納容器内は有機物の溶解等が生じる程度の高温になったと想定される P. 48
- そのような高温環境下において、PCV内表面の塗装、ケーブル被覆材等の熱分解により炭素化合物等が生成され、原子炉建屋へ漏えいしたものと考えられる P. 48

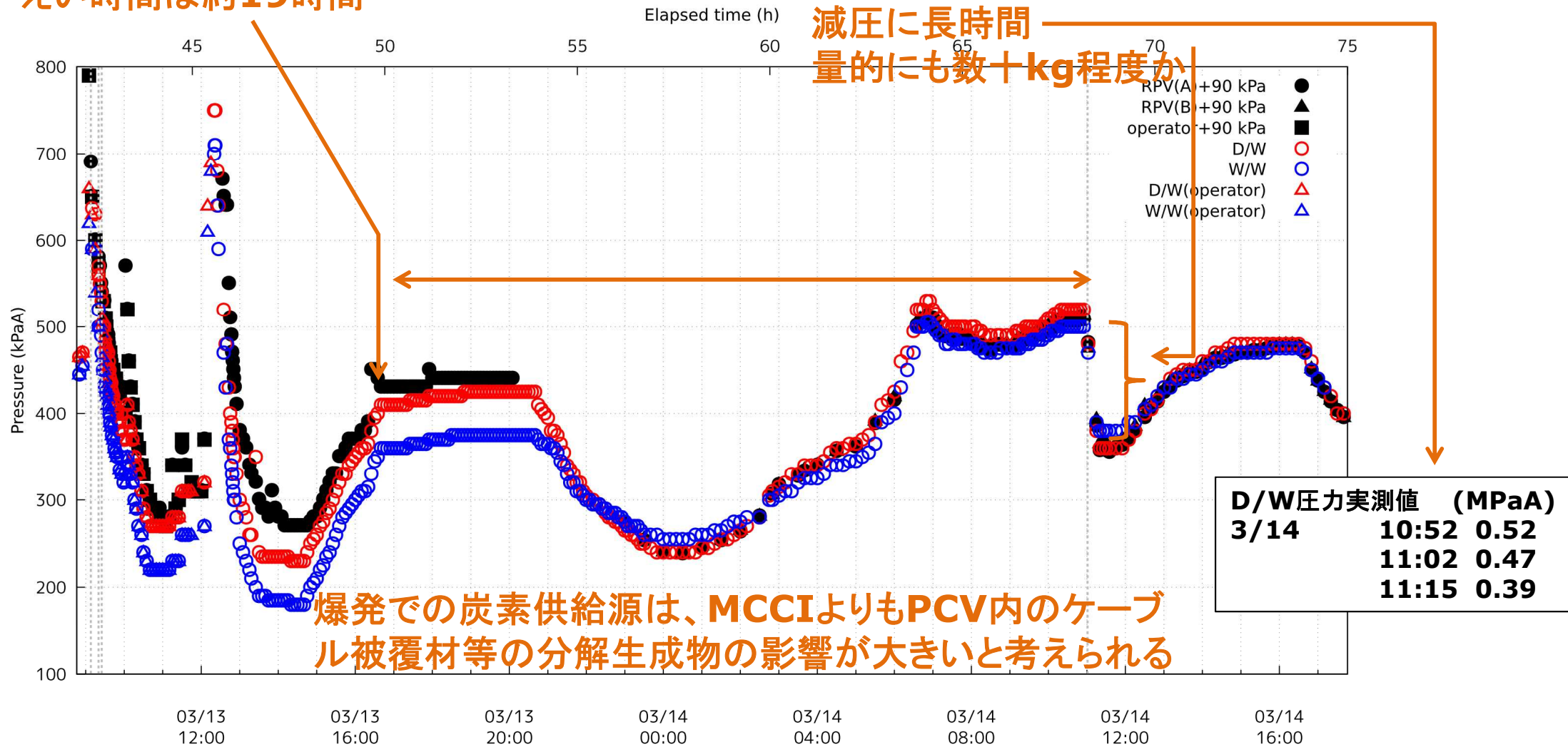
水素爆発との関係

この時点からD/Wの気相漏えいが開始したと仮定すると、水素爆発までの漏えい時間は約**19時間**

オペフロが爆発によって、ヘッドフランジが開いた可能性

オペフロへの水素の追加供給の可能性は低い

減圧に長時間
量的にも**数十kg程度か**



爆発での炭素供給源は、MCCIよりもPCV内のケーブル被覆材等の分解生成物の影響が大きいと考えられる

水素爆発に伴って生じた黒煙等について

- 3号機の水素爆発時に有色炎及び黒煙が観察された
- 炭素化合物の燃焼又は不完全燃焼によって生じたと推定される
- 多量の炭素化合物の発生源
 - 溶融炉心-コンクリート(MCCI)反応では量的には不足する
 - PCV内部が高温になり、PCV内表面の有機塗料又はケーブル被覆材の熱分解生成物が発生
 - 機器ハッチ塗膜が落ちていることが確認されている※
 - シリコンを含む有機物の熱分解生成物は、通称「セシウムボール」の生成要因となる可能性がある

3月下旬に発生した黒煙について

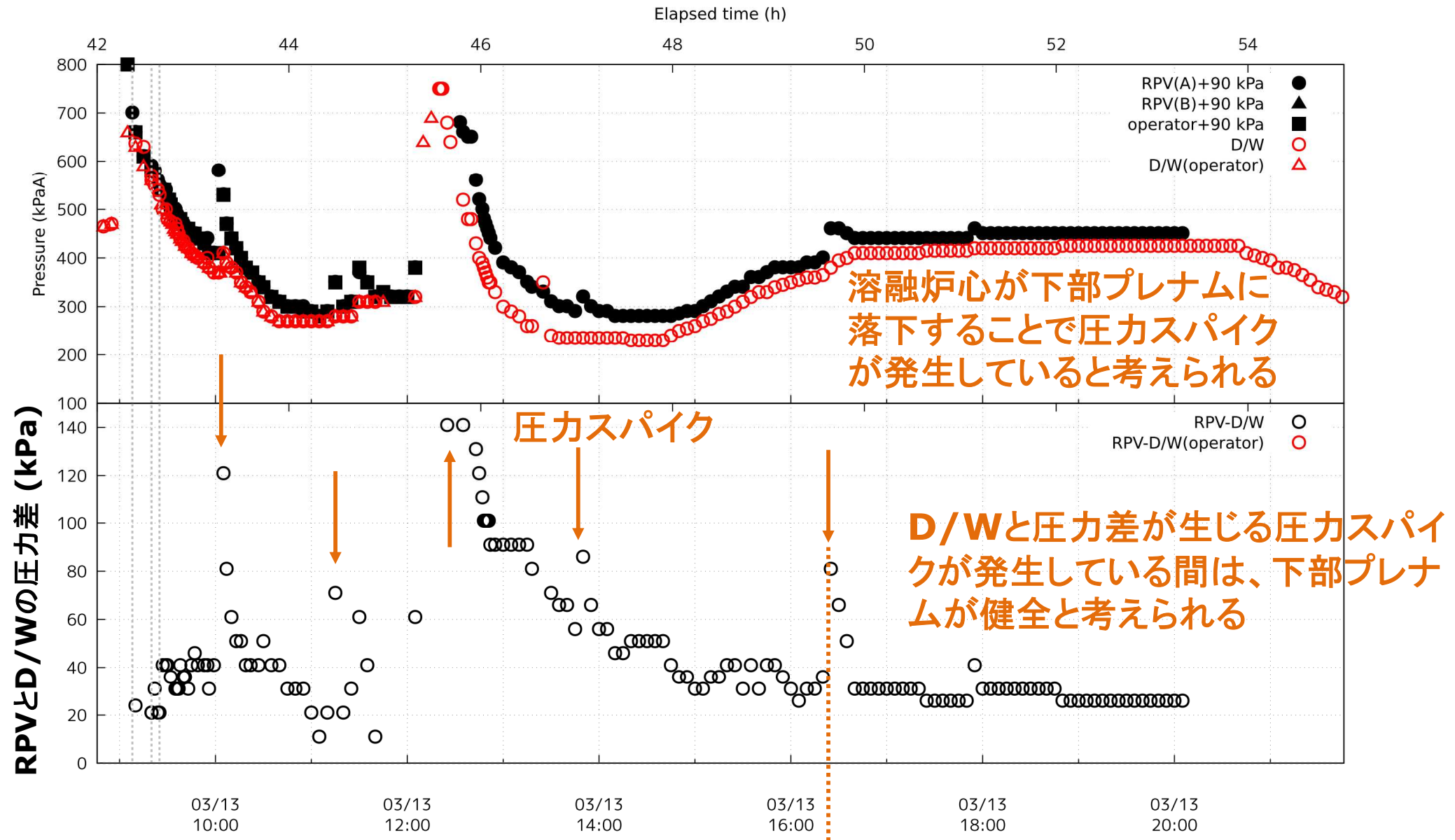
- 3月21日及び23日に確認された煙も分解生成物がFPを伴いPCVから漏えいしたと考えられる
- 3月19日 8:10 正門付近で830.8 $\mu\text{Sv/h}$ を測定しており、PCVからの漏えいが継続していた可能性がある

3/21	3:58 使用済燃料プール冷却への東京消防庁消防救助部隊による放水を終了、約1,137t 15:55頃 原子炉建屋、屋上南東側より、 <u>やや灰色がかった煙が発生</u>
3/22	10:36 非常用低圧配電盤(パワーセンター(P/C)4D)受電 15:10 使用済燃料プールへの東京消防庁消防救助部隊による放水開始 15:59 使用済燃料プールへの東京消防庁消防救助部隊による放水終了、約150t 22:28 計測用主母線盤受電 AC120V 22:46 中操照明復旧
3/23	11:03 使用済燃料プールへの燃料プール冷却浄化系(FPC)からの海水注水を開始 13:20 使用済燃料プールへのFPCからの海水注水終了、約35t 16:20頃 原子炉建屋付近より、 <u>やや黒煙が発生</u>

3.6 RPVとD/Wからの漏えいについて

- ベント実施前からD/W圧力がS/C圧力よりも高い状態が継続されていることから、RPVからD/Wへの漏えい経路は形成されていたと考えられる
- 3月13日16時頃まではRPVの小さな圧カスパイクが見られることから、RPVの下部プレナムには冷却材が残っており、溶融燃料の落下によるものと考えられる P. 51
- 一方、前述のように溶融燃料は3月14日の1時頃にはD/W床面へ落下したと考えられるため、RPV下部ヘッドはそれ以前に破損したと考えられる P. 41
- RPVの下部ヘッドが破損すると、注水流路が変化し、蒸気発生量も変化するため圧力挙動に変化をもたらすと考えられるので、3月13日16:30頃又は3月13日20:40頃に生じる圧力変曲点が候補と考えられる P.52
 - この2か所の圧力変曲点はD/Wからの漏えい発生の候補にもなる

溶融炉心の落下によるRPVの圧カスパイク



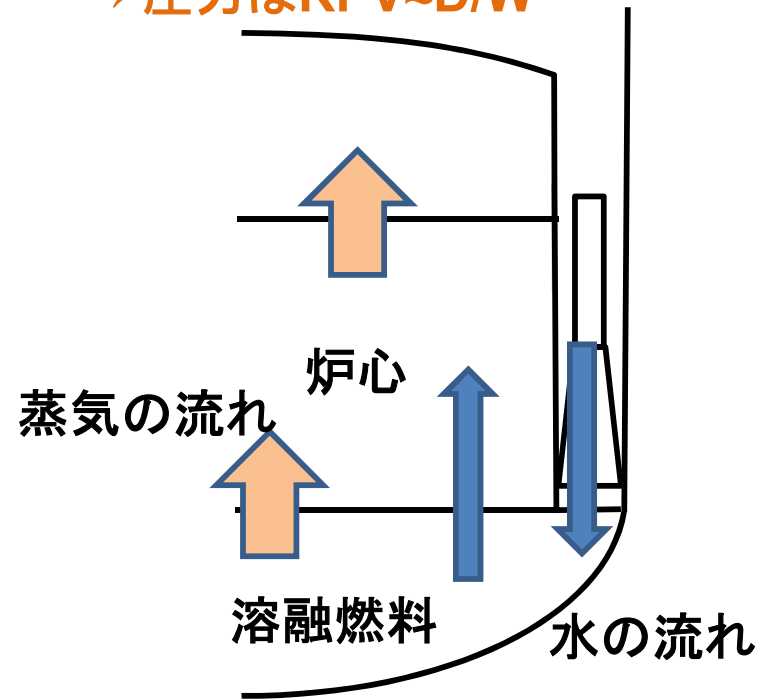
下部ヘッドが健全 ———— 74 ————

PCV圧力への注入水の流路変化の影響

下部ヘッドが健全な場合

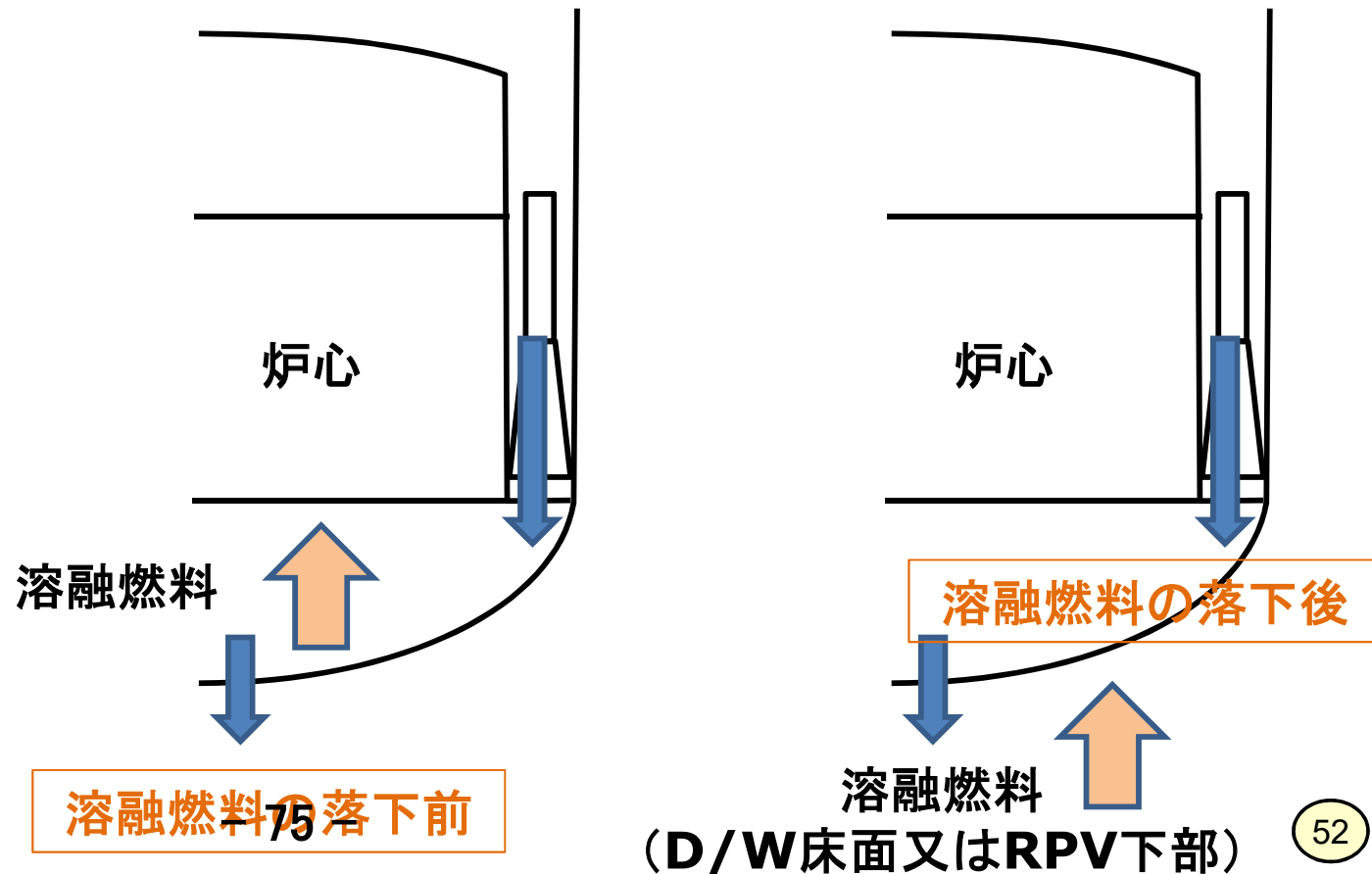
圧力 $RPV > D/W$ の場合、
主たる蒸気発生源はRPV内

D/Wへの漏えい面積小
→ 圧力は $RPV > D/W$
D/Wへの漏えい面積大
→ 圧力は $RPV \approx D/W$



下部ヘッドが破損した場合

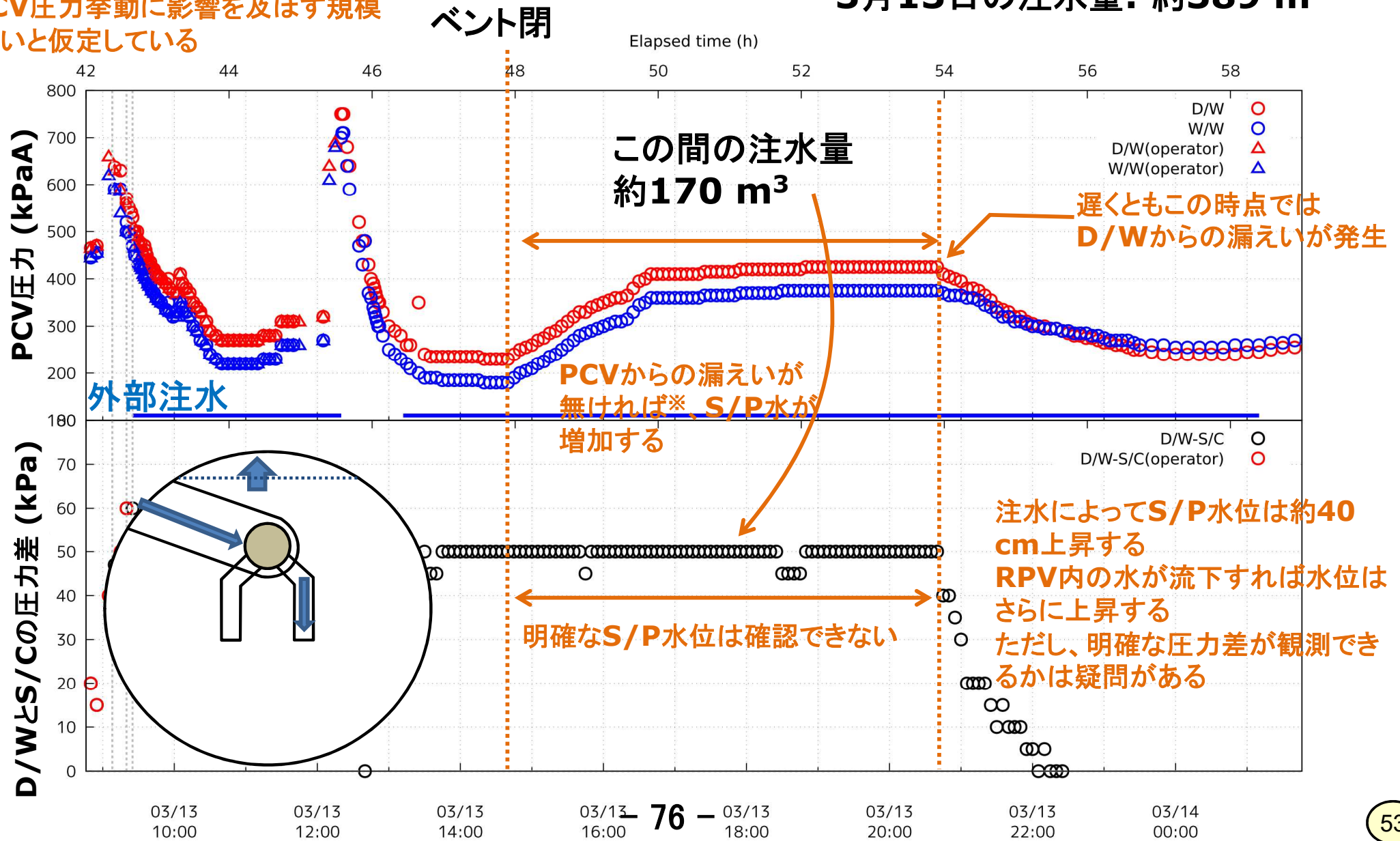
注入された水は炉心へ回らない
下部ヘッドの破損口でD/Wと連通するため、圧力は $RPV \approx D/W$
下部ヘッド破損、溶融燃料の落下によって蒸気発生量は変化する
なお、BWRのRPV下部構造の複雑さから、RPV下部ヘッド破損とD/W床面への溶融炉心の落下には時間差が生じると想定している



外部注水によるS/P水位の変化

※PCVからの小さな漏えいは生じているが、PCV圧力挙動に影響を及ぼす規模ではないと仮定している

3月13日の注水量: 約389 m³

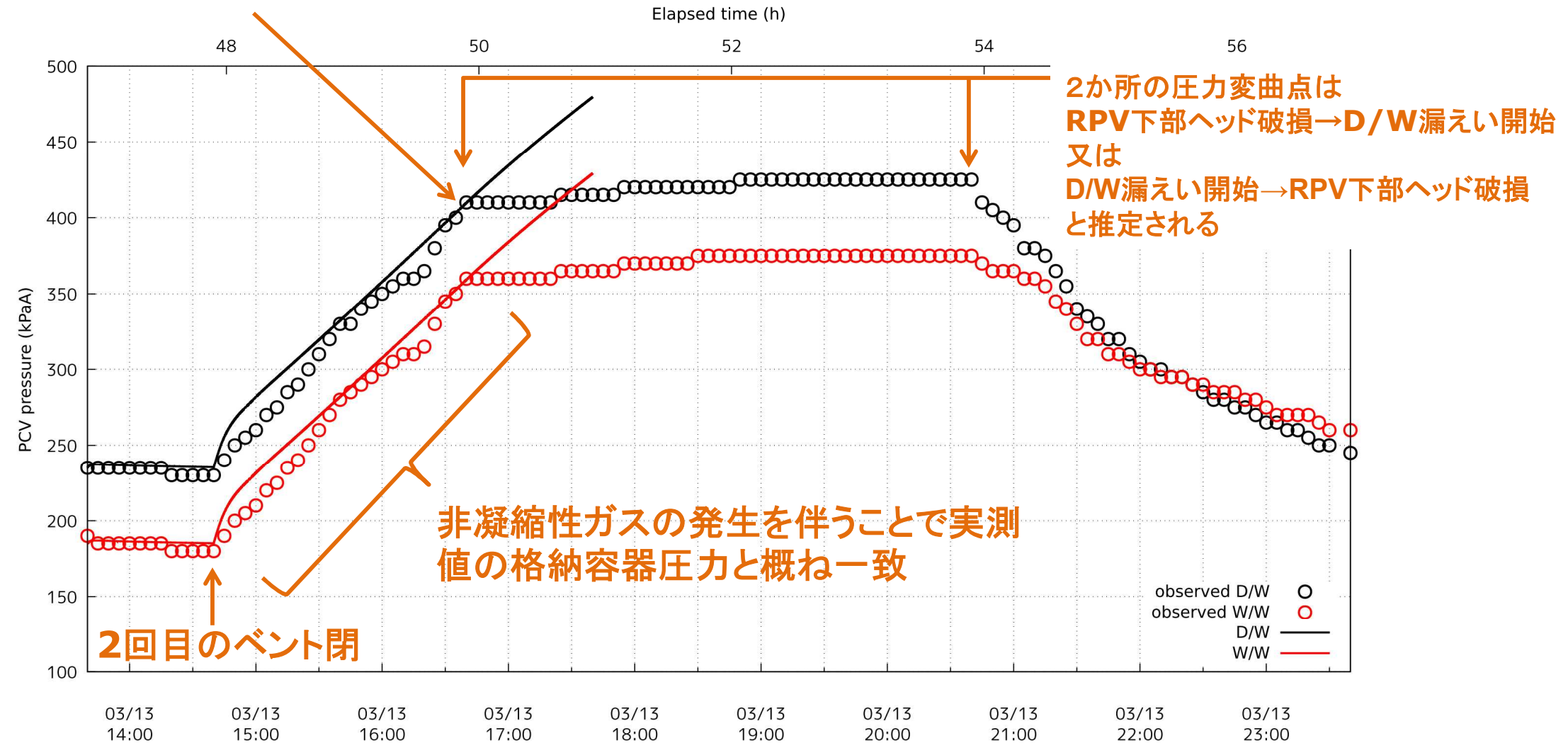


非凝縮性ガス発生を伴う場合の圧力上昇

水蒸気等の発生量に変化が無ければ格納容器圧力は上昇し続ける。

一方、実測値は圧力上昇がほぼ停止している。

→PCVからの漏えい発生又は蒸気等の発生量低下



直線は蒸気等の発生を仮定した計算結果

再掲

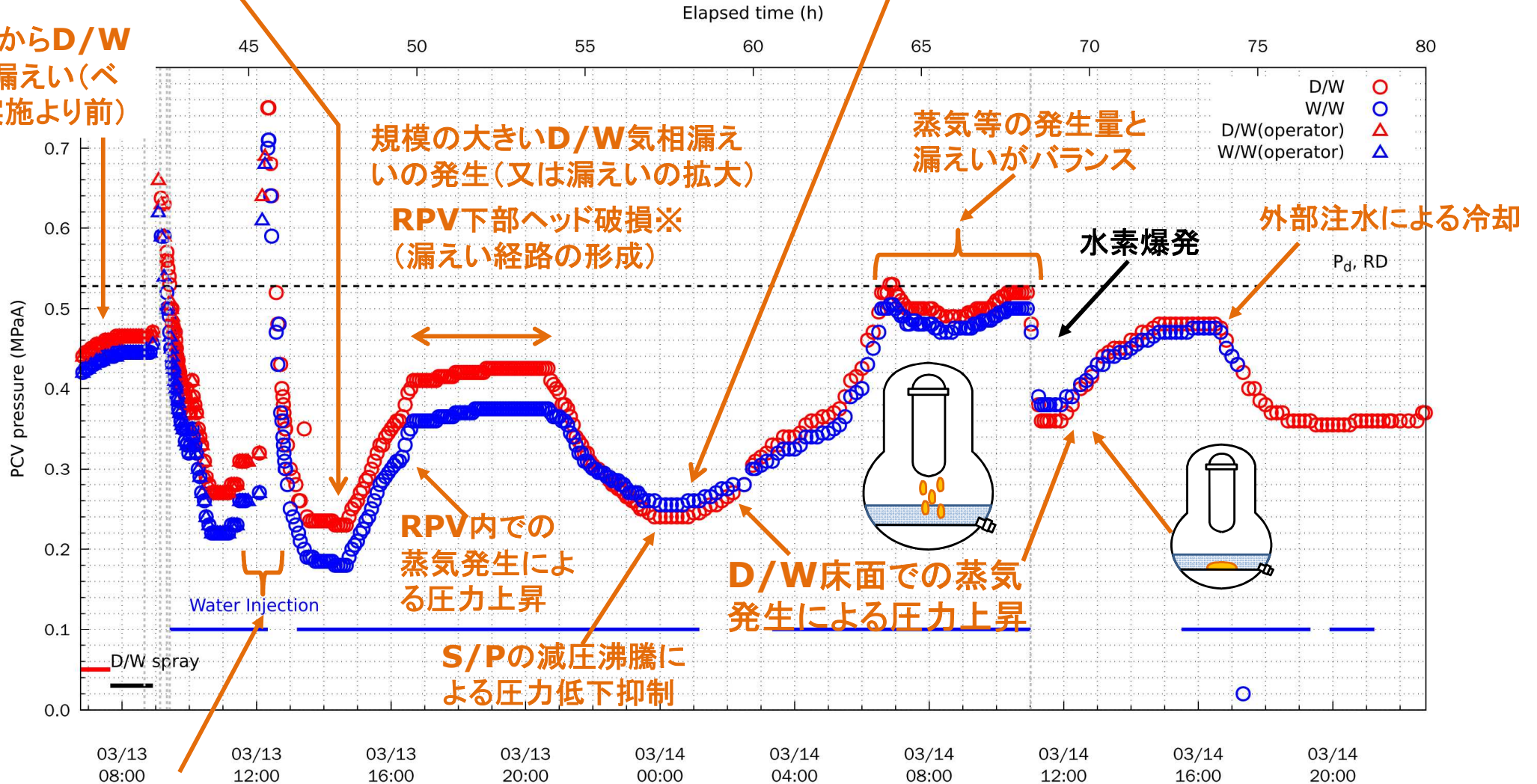
事故進展の推定

※BWRのRPV下部構造の複雑さから、RPV下部ヘッド破損とD/W床面への溶融炉心の落下には時間差が生じると想定している

S/P水のD/Wへの逆流
D/W床面への溶融燃料の落下

PCVベント閉止

RPVからD/Wへの漏えい(ベント実施より前)

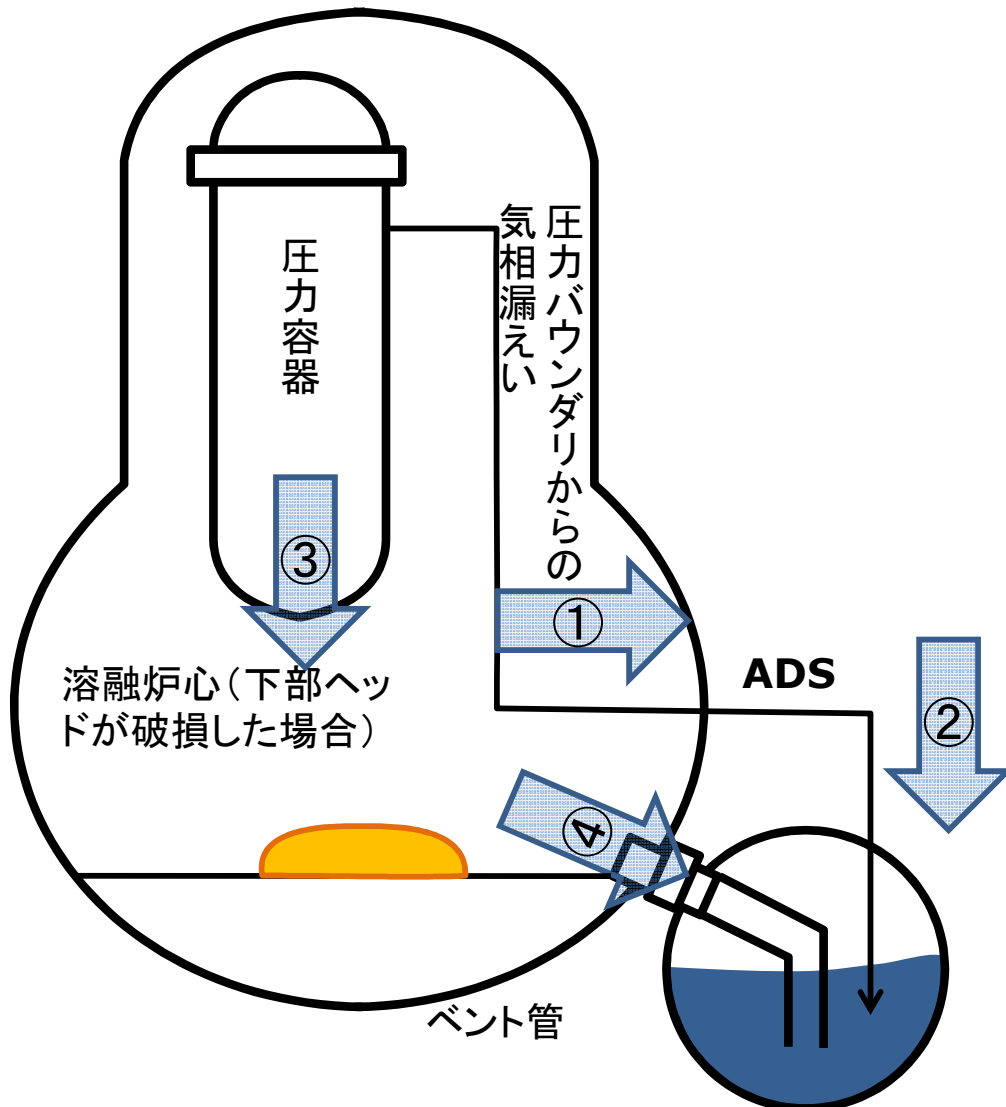


主蒸気管貫通部近傍からの小規模な漏えい開始

以下、参考図

蒸気による崩壊熱の輸送

崩壊熱の輸送



- 下部ヘッド破損前
 - D/W圧力 > S/C圧力なので①→④の経路が支配的
 - ADSが開状態を維持していれば②の経路も
 - 今回は②の経路を無視
- 下部ヘッド破損後
 - ③(又はD/W内での蒸気発生)→④の経路が支配的
 - RPV内部での蒸気発生は限定的か

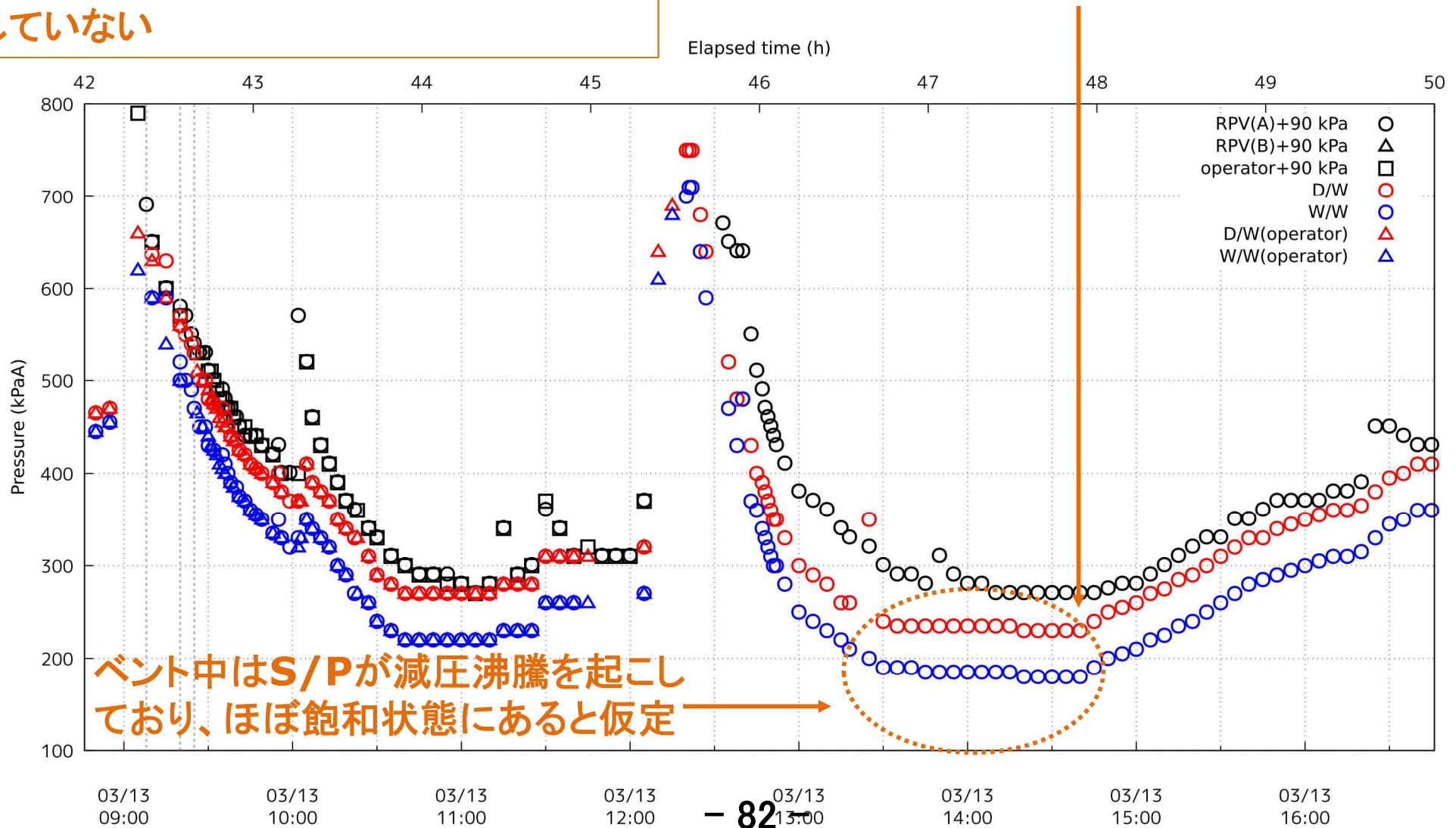
解析方針

- ここでは、ADSが閉じた前提の解析を実施
 - 前述の崩壊熱の輸送経路②を無視
 - 問題を単純化(シンプルなノーディング)
- PCV圧力挙動を評価するには自由体積の設定が必要
 - PCV外からの注水によって自由体積が減少
 - S/Pの水位を推定(実測値は3月12日20:00まで)
- PCV内部でケーブル被覆材等の分解生成物として可燃性ガスが発生した可能性があるが、解析では水素で代表させた

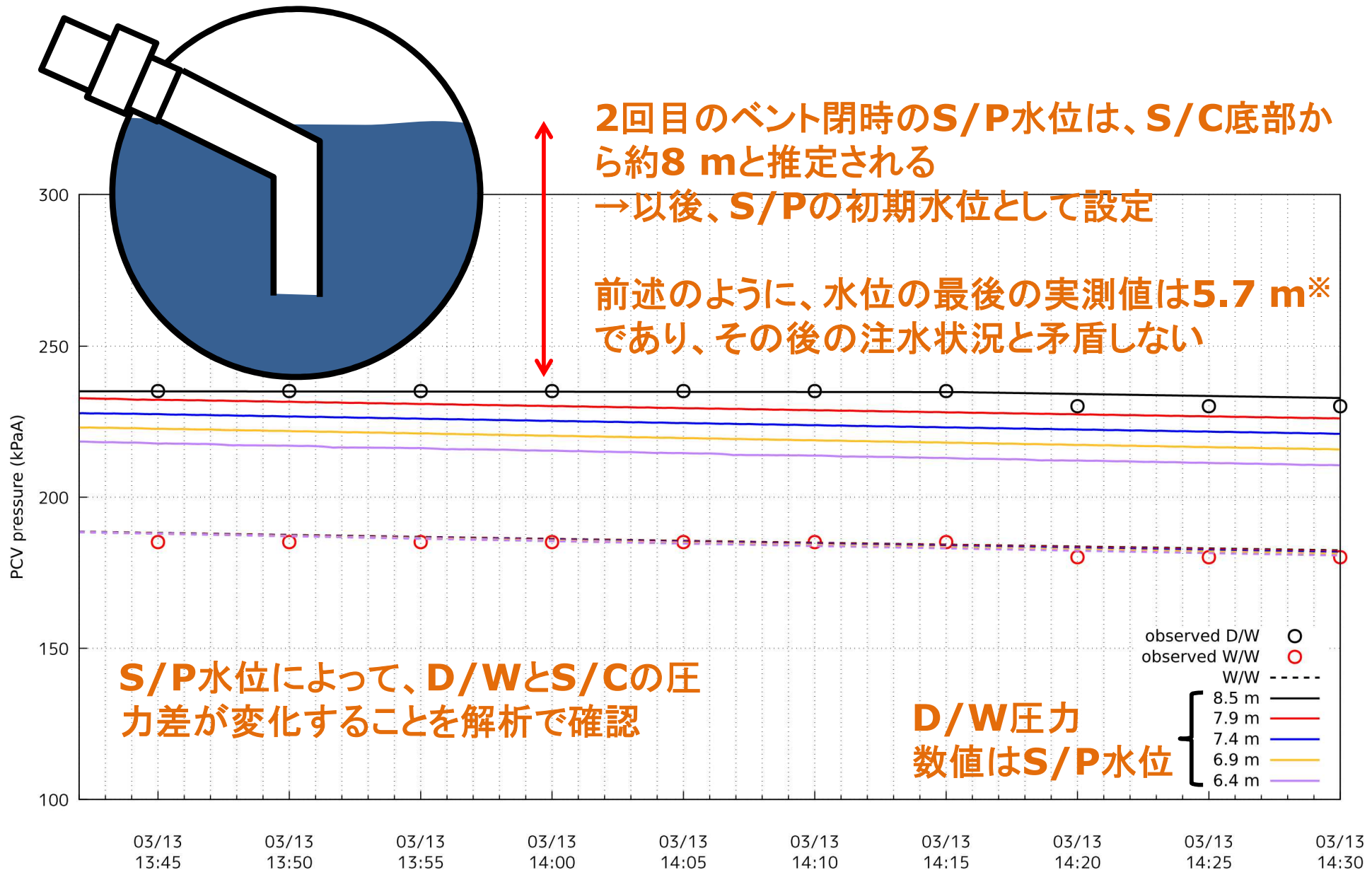
ベント後の圧力挙動についての解析方針

解析では、水蒸気及び水素の発生量のみを仮定した。
燃料及び溶融燃料の配置及び輻射は考慮していない

- ベント閉の時点でのプラントの状態を推定
- S/Cの水位(D/WとS/Cの圧力差)
 - RPV(D/W)での蒸気等の発生量(S/Cの圧力)



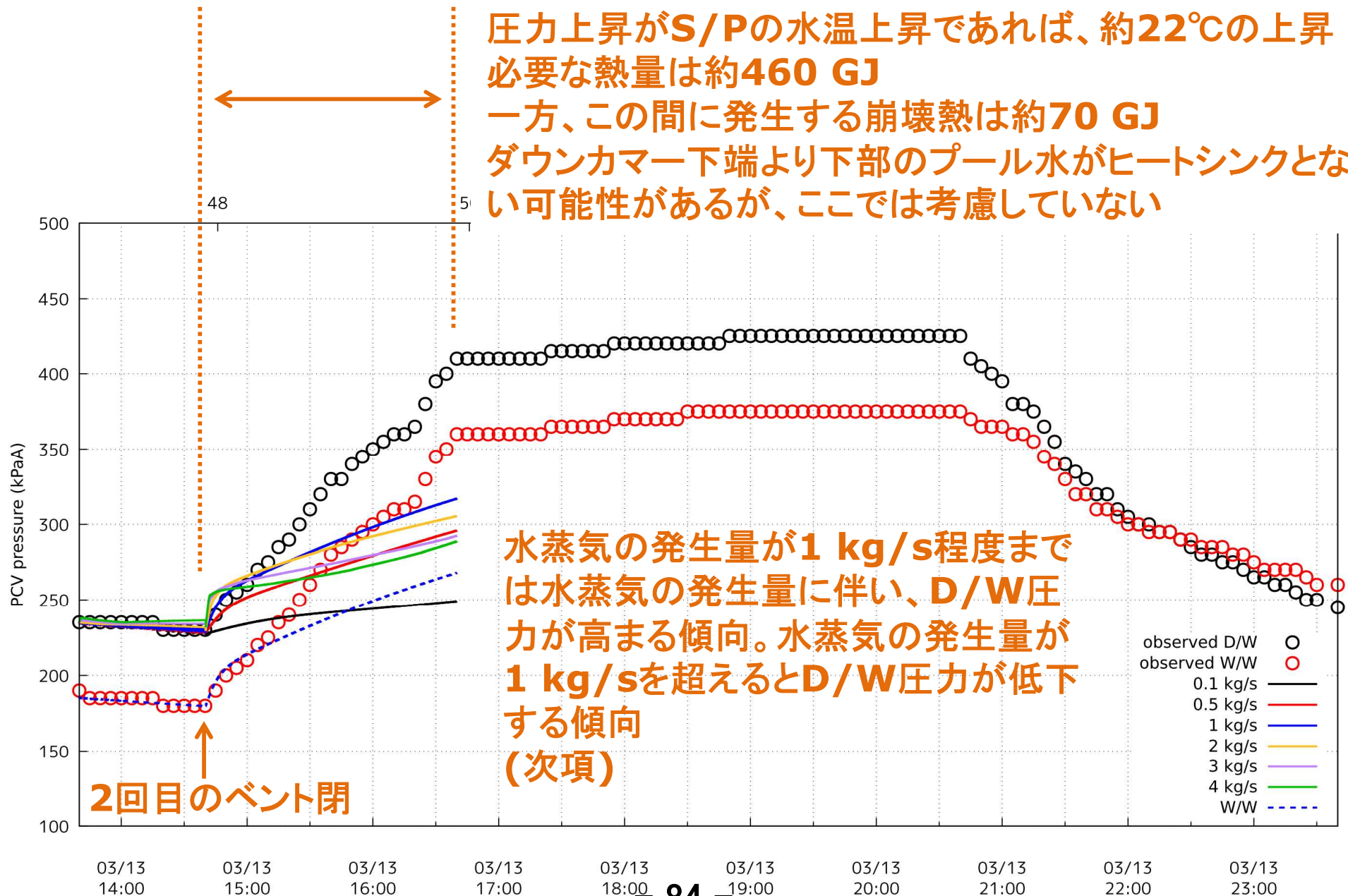
2回目のベント閉時点のS/P水位の推定



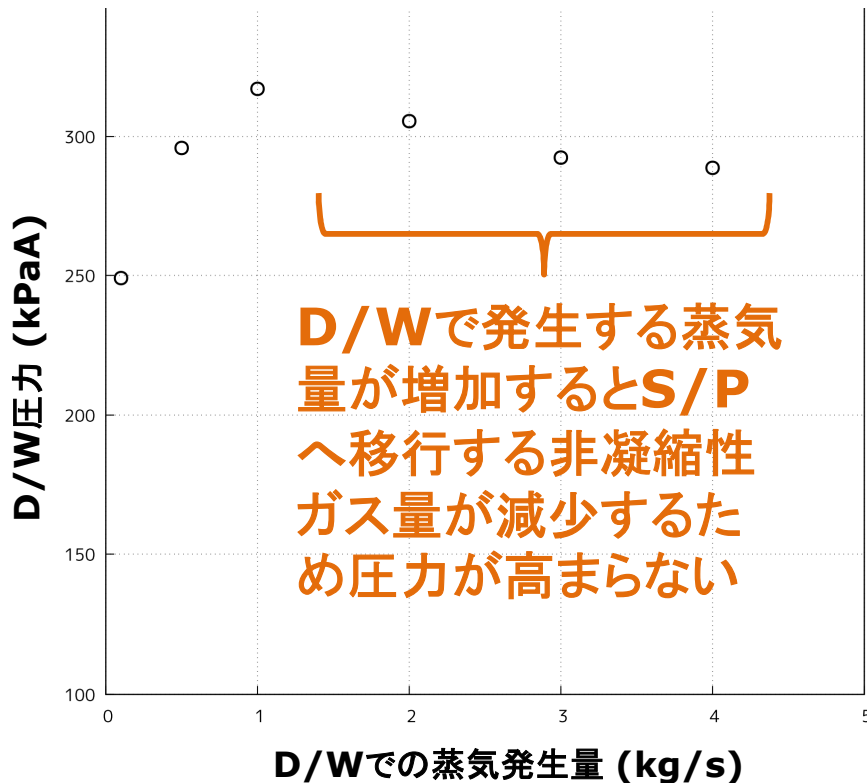
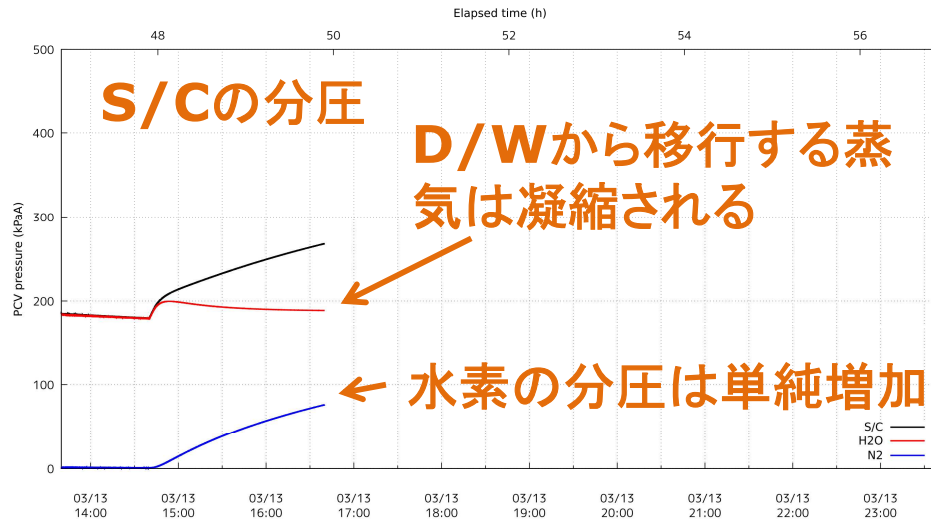
※東京電力ホールディングス株式会社、「福島第一原子力発電所1～3号機の炉心格納容器の状態の推定と未説明問題に関する検討 第5回進捗報告」、平成29年12月25日

水蒸気による圧力上昇

圧力上昇がS/Pの水温上昇であれば、約22°Cの上昇
必要な熱量は約460 GJ
一方、この間に発生する崩壊熱は約70 GJ
ダウンカマー下端より下部のプール水がヒートシンクとならな
い可能性があるが、ここでは考慮していない



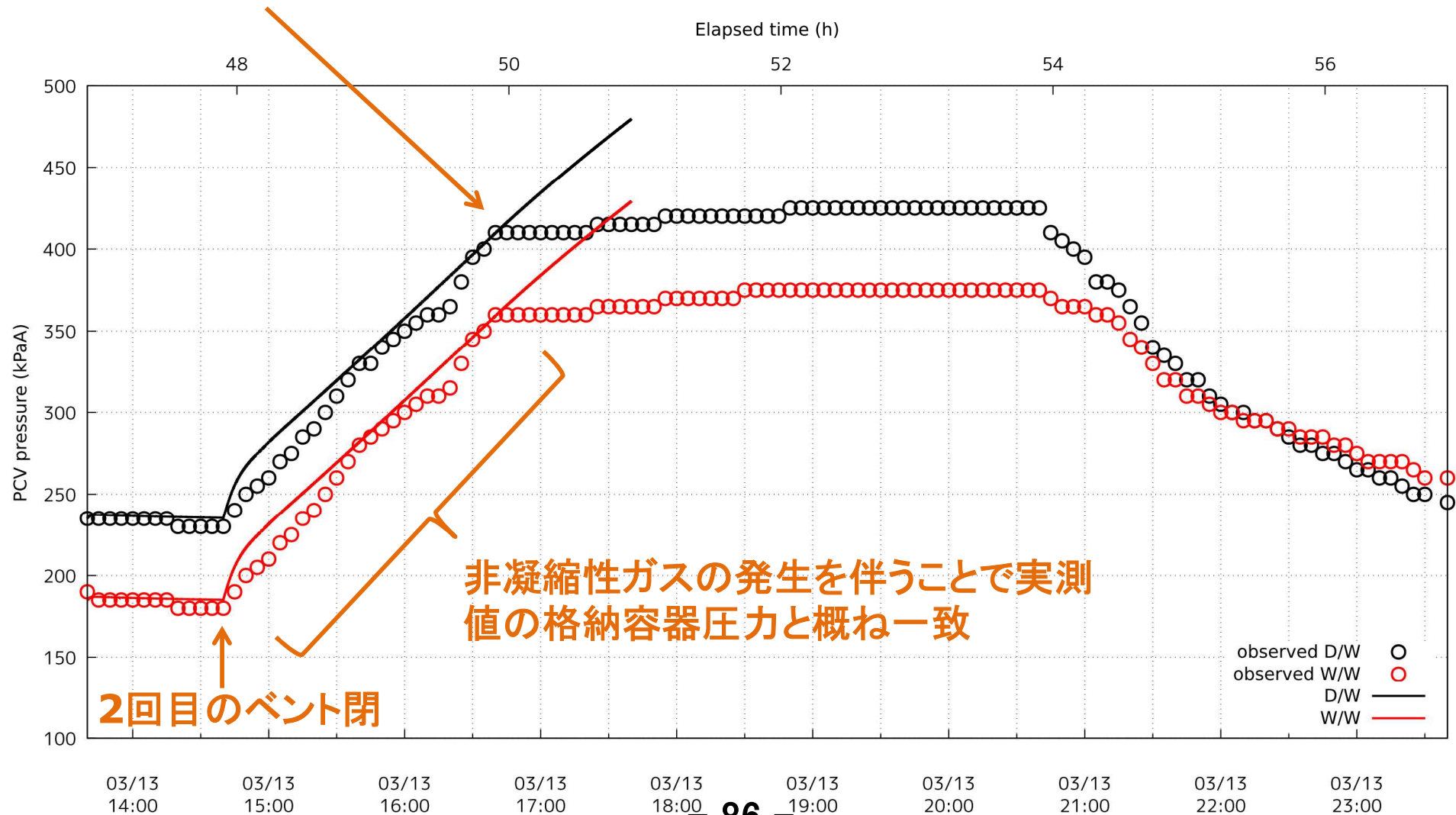
非凝縮性ガスの移行による圧力上昇



- D/Wで発生した蒸気はS/Pで凝縮される
- D/Wでの蒸気発生量が増え、S/Pへ移行する非凝縮性ガスが減少し、圧力上昇が緩やかになる
- D/Wでの蒸気発生量が少なすぎる場合もS/Pへ移行する非凝縮性ガスが減少し、圧力上昇が緩やかになる
- RPV又はD/W内で水素等の非凝縮性ガスが発生していると考えられる

非凝縮性ガス発生を伴う場合の圧力上昇

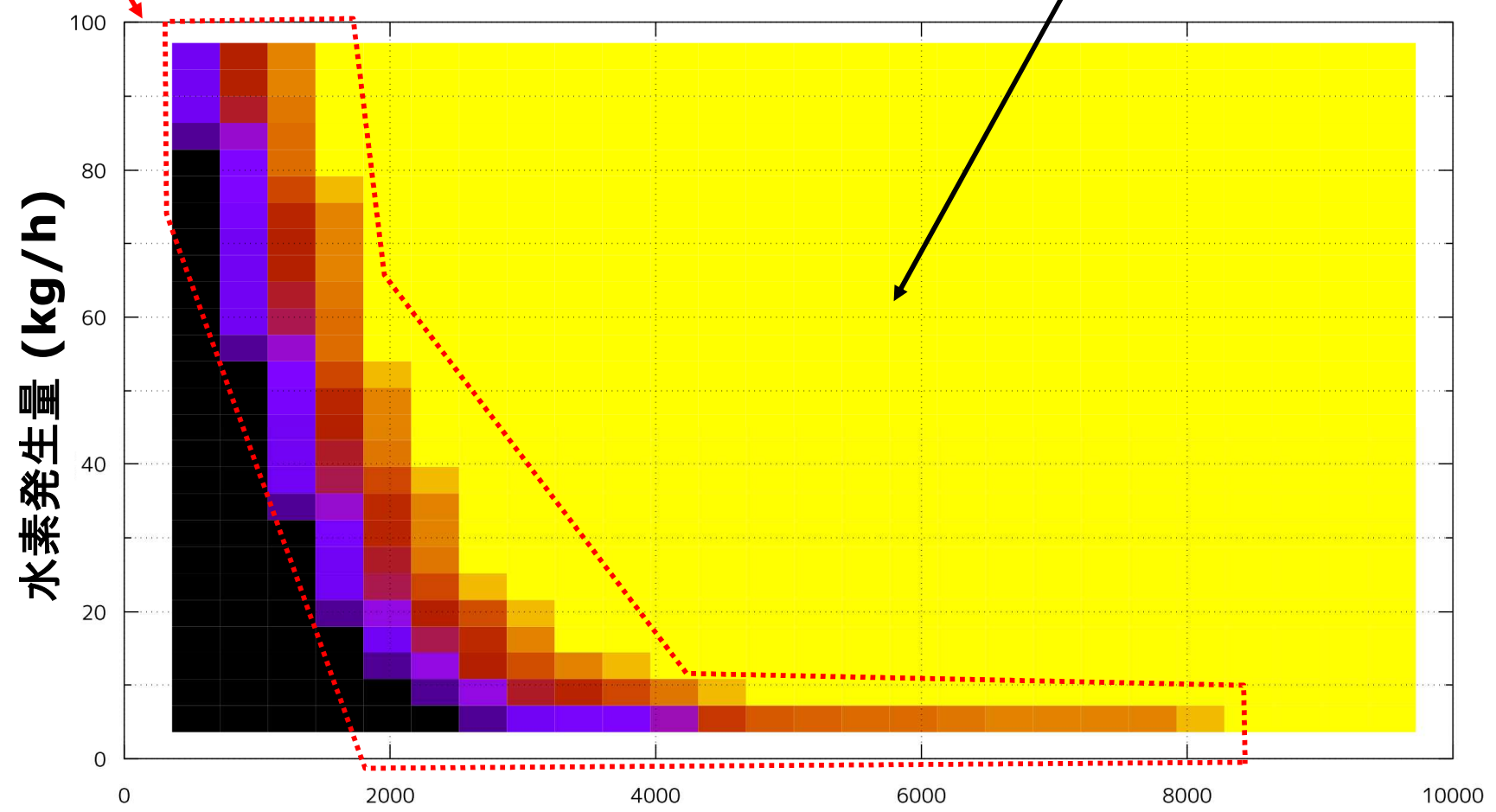
水蒸気等の発生量に変化が無ければ格納容器圧力は上昇し続ける。
一方、実測値は圧力上昇がほぼ停止している。
→PCVからの漏えい発生又は蒸気等の発生量低下



水蒸気と非凝縮性ガスの発生量(1)

3月13日16:30頃までのPCV圧力上昇が実測値と概ね一致する領域

ガスの発生量が多すぎるため、実測値よりも格納容器圧力が高くなる(黄色の範囲)



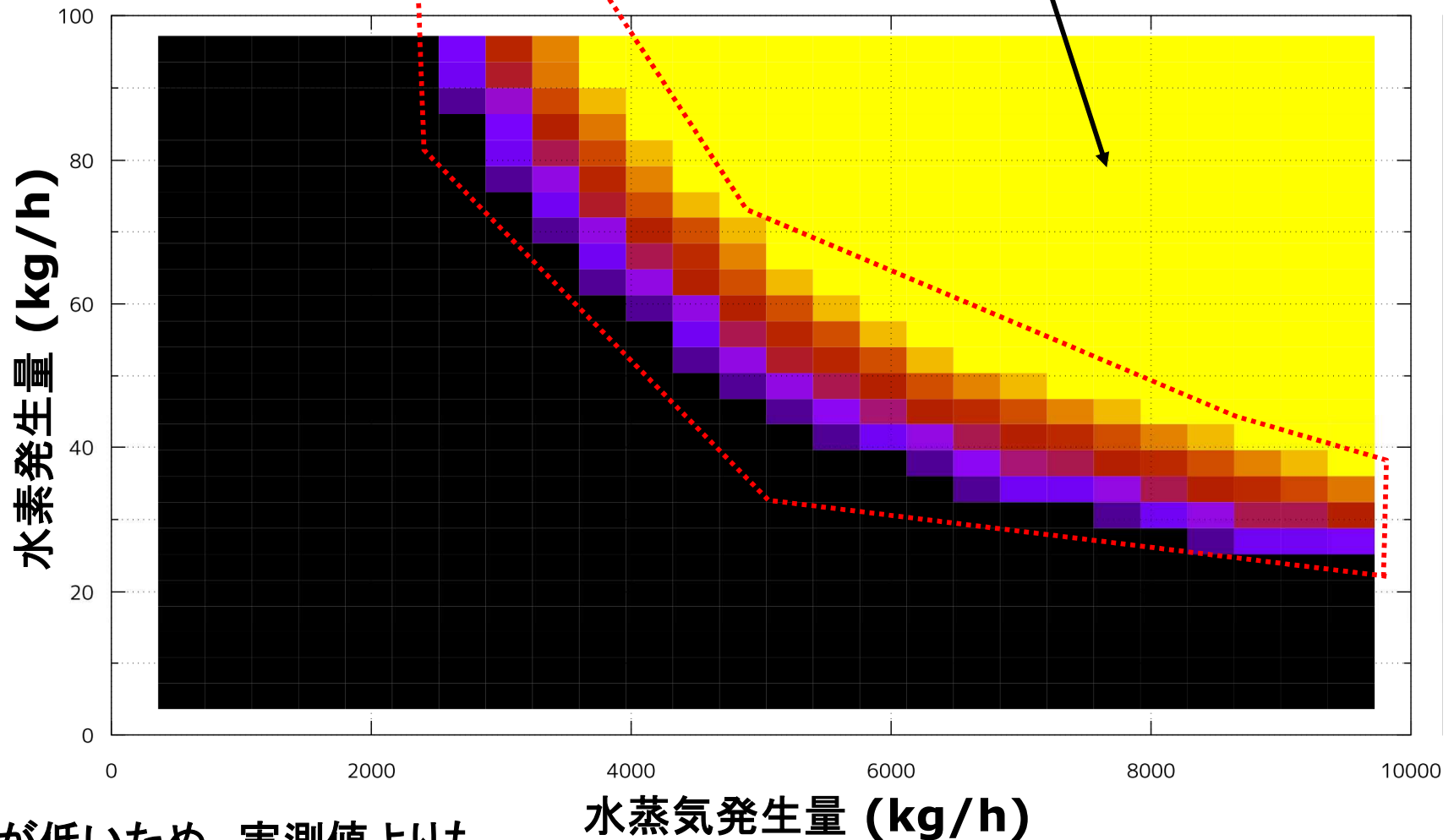
ガスの発生量が低いため、実測値よりも格納容器圧力が低くなる(黒色の範囲)

水蒸気発生量 (kg/h)

水蒸気と非凝縮性ガスの発生量(2)

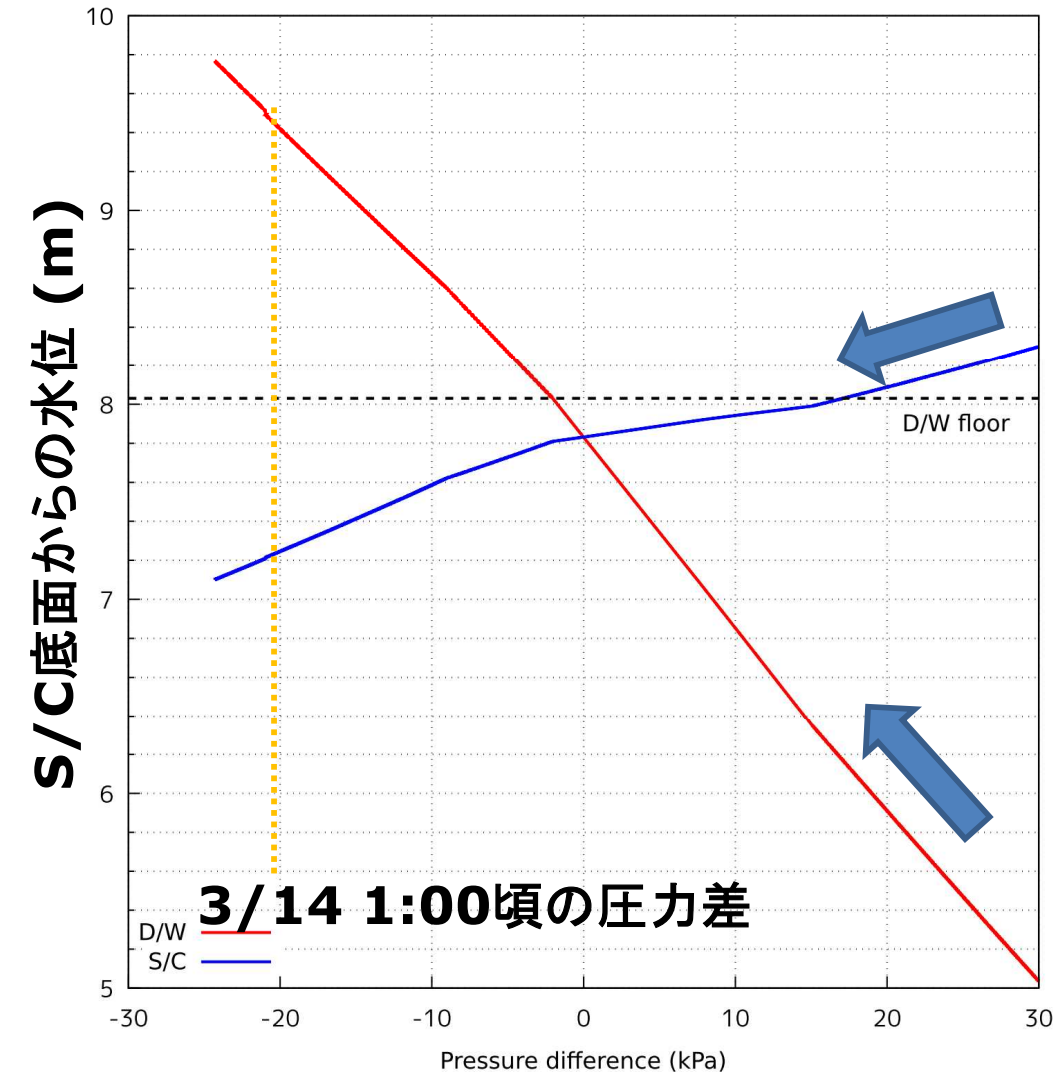
3月14日7:00頃までのPCV圧力上昇が実測値と概ね一致する領域

ガスの発生量が多すぎるため、実測値よりも格納容器圧力が高くなる(黄色の範囲)



ガスの発生量が低いため、実測値よりも格納容器圧力が低くなる(黒色の範囲)

PCV内水位の変動

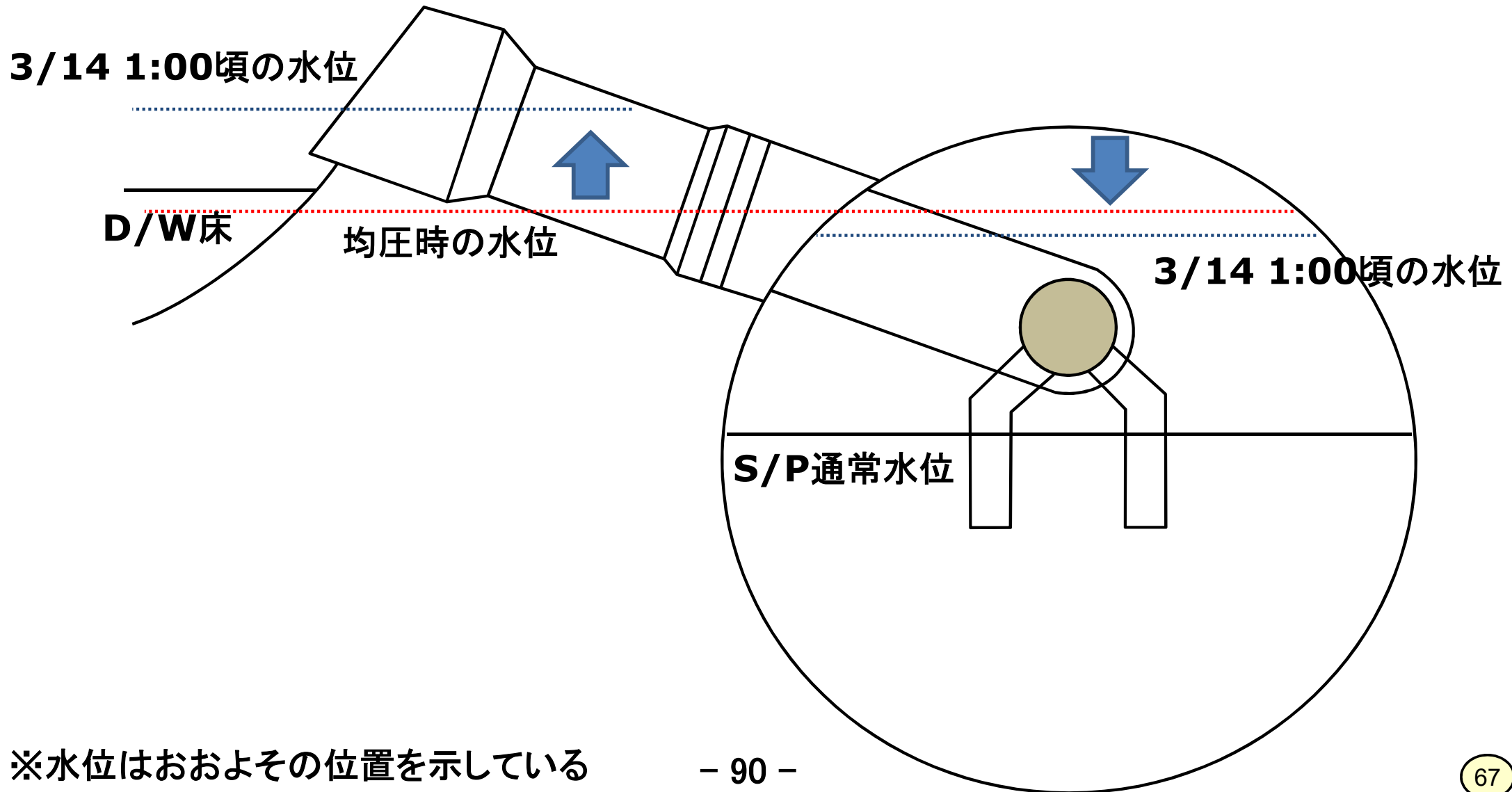


低 ← D/W圧力 → 高

- D/W圧力が低下すると、S/Cの水位が低下し、ベント管内の水位が上昇する。
- D/WとS/Cの圧力が逆転した後は、D/W床上に水位が形成された可能性がある。
- 3/14 1:00頃には最大で1 mを超える水位が一時的にD/Wで形成されたか。

D/WとS/Cが均圧した後の水位

D/W床の高さ程度までベント管内の水位が上昇する

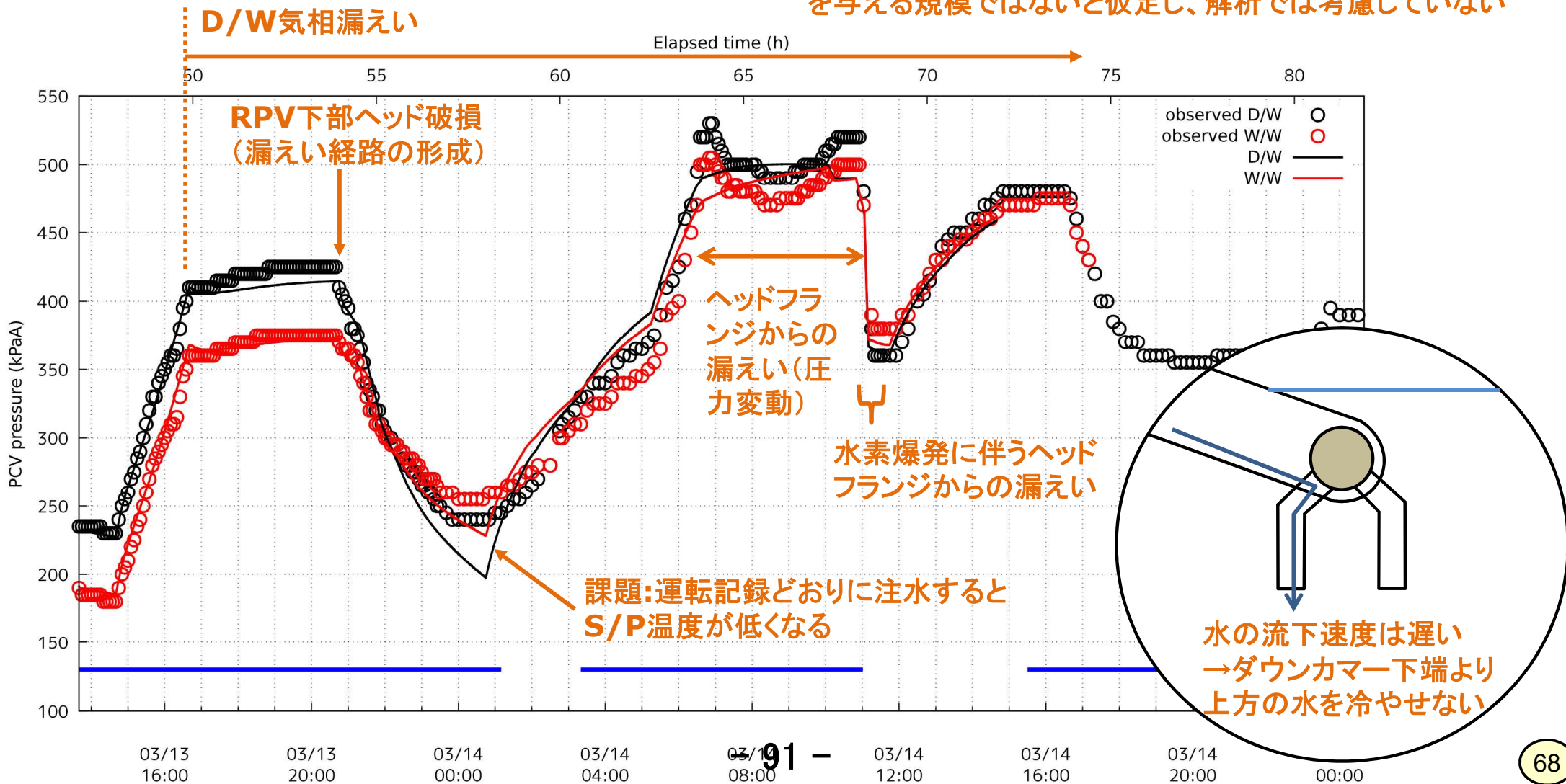


※水位はおおよそその位置を示している

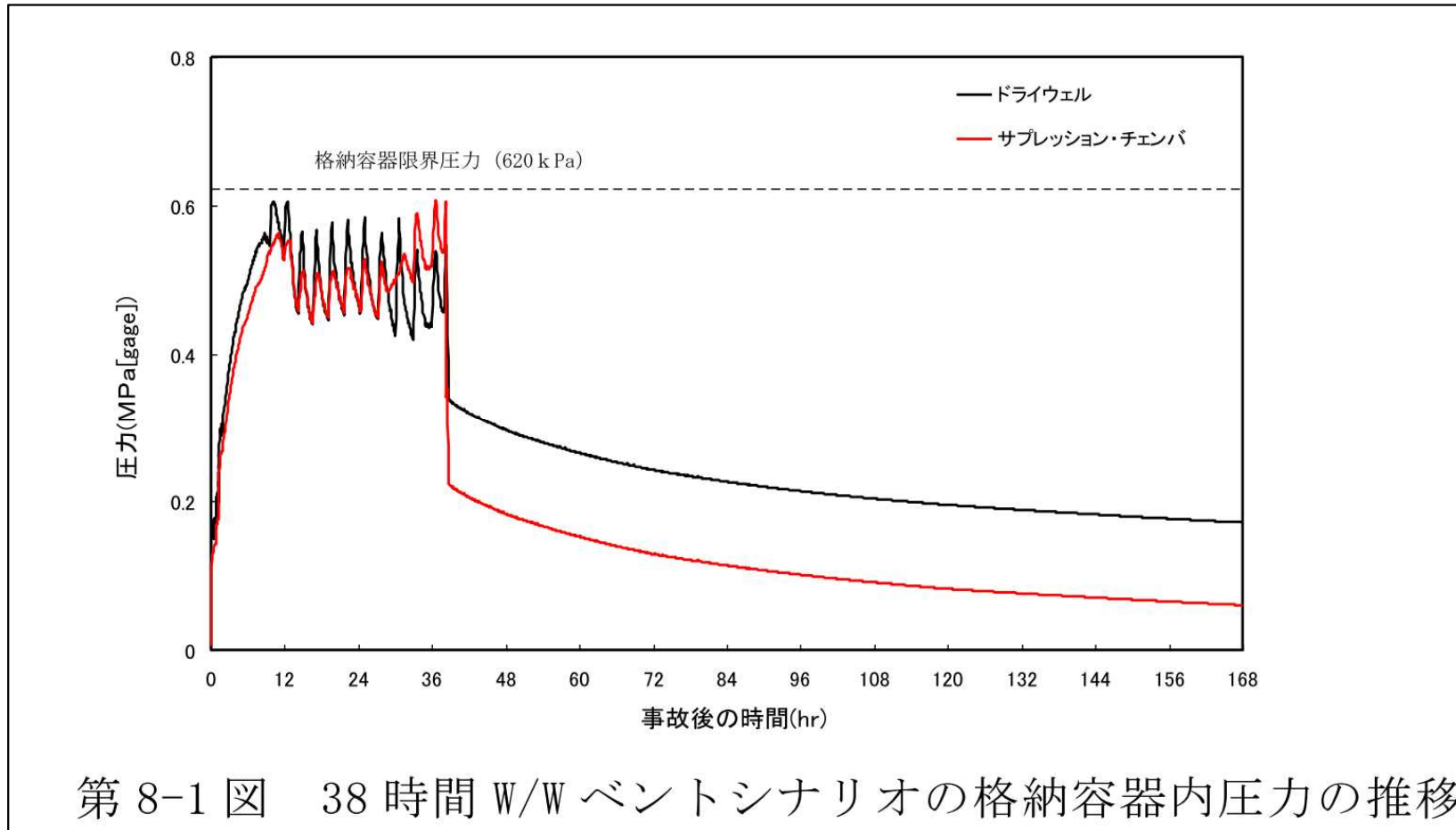
解析結果

前項までの基礎検討結果から、実測値の再現性が高いパラメータを選定
解析結果は概ね実測値と整合する結果を再現していることから、提示したシナリオ
の実現性があると考えられる

初期の主蒸気管貫通部での漏れはPCVの圧力挙動に影響
を与える規模ではないと仮定し、解析では考慮していない



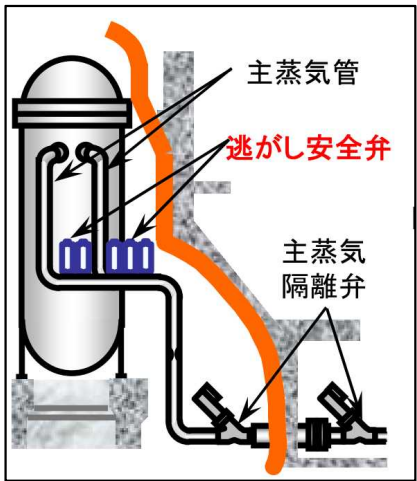
ABWRでのW/Wベント時のPCV圧力



↑ ↓ W/Wベント時は
 $P_{D/W} > P_{S/C}$

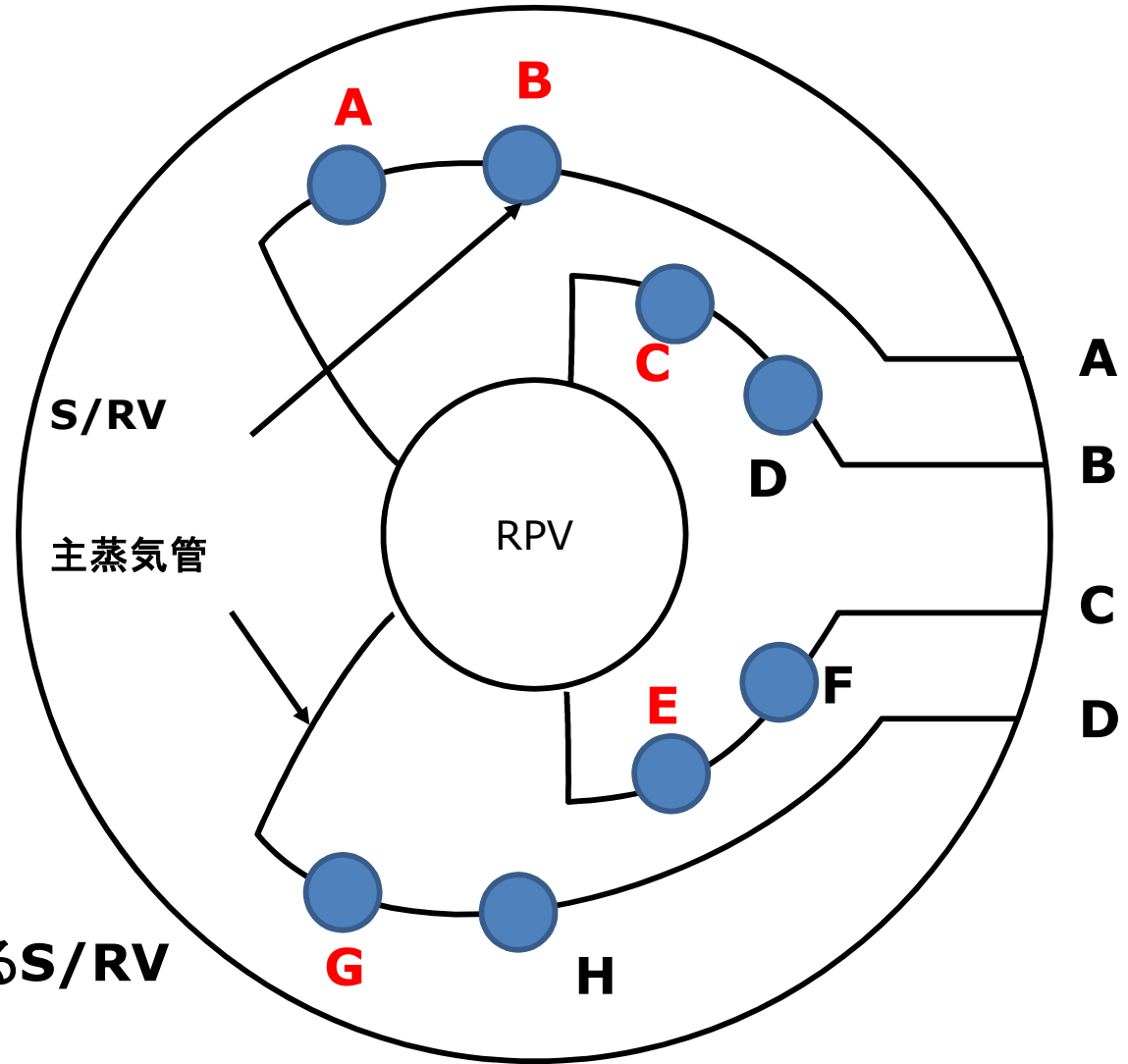
引用: 東京電力株式会社、柏崎刈羽原子力発電所 6号及び7号炉格納容器圧力逃がし装置 (ベント実施に関する考慮事項)について、平成29年4月

3号機主蒸気管

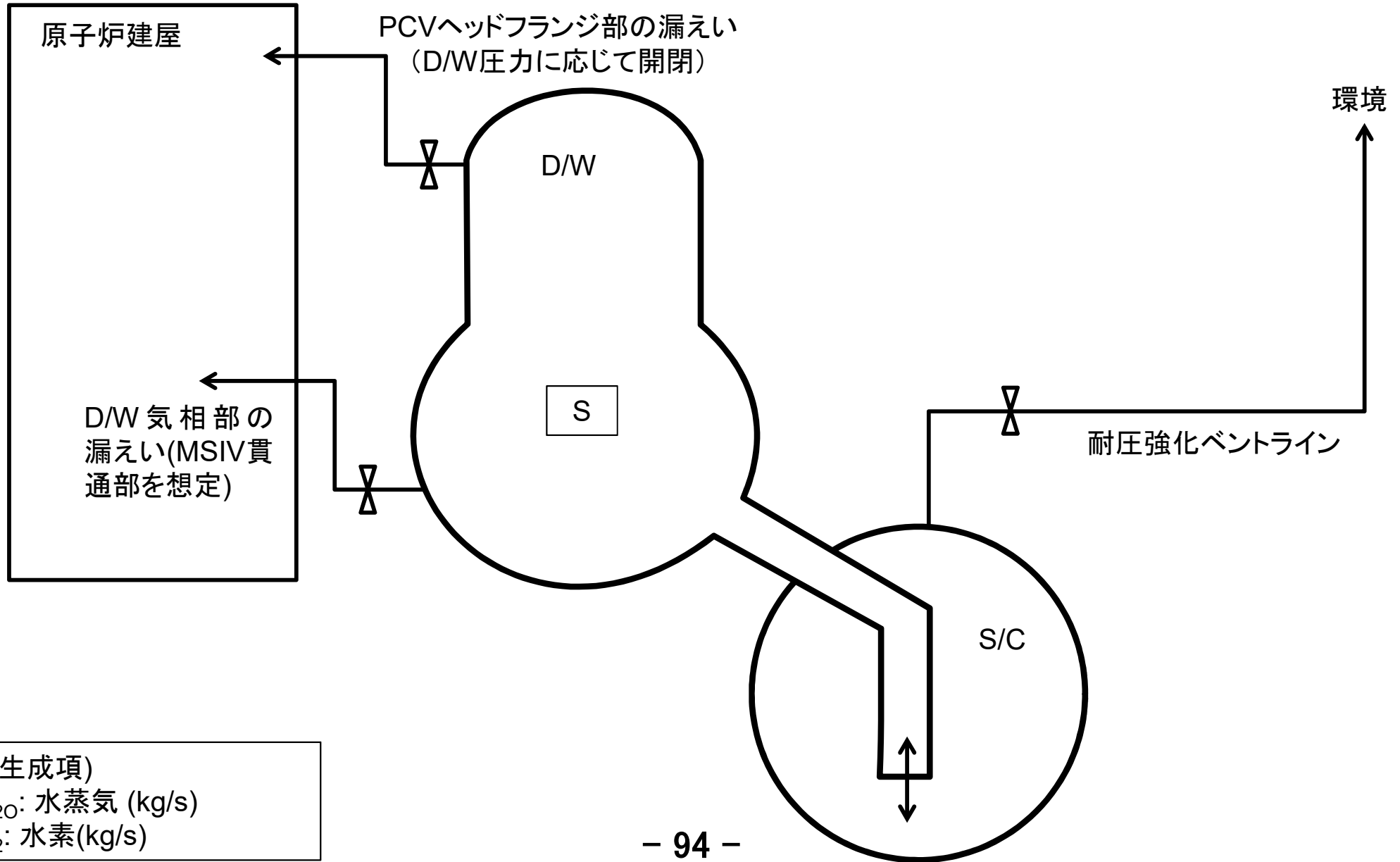


MSIVとは高低差あり※

赤字はADS機能のあるS/RV



解析ノード図



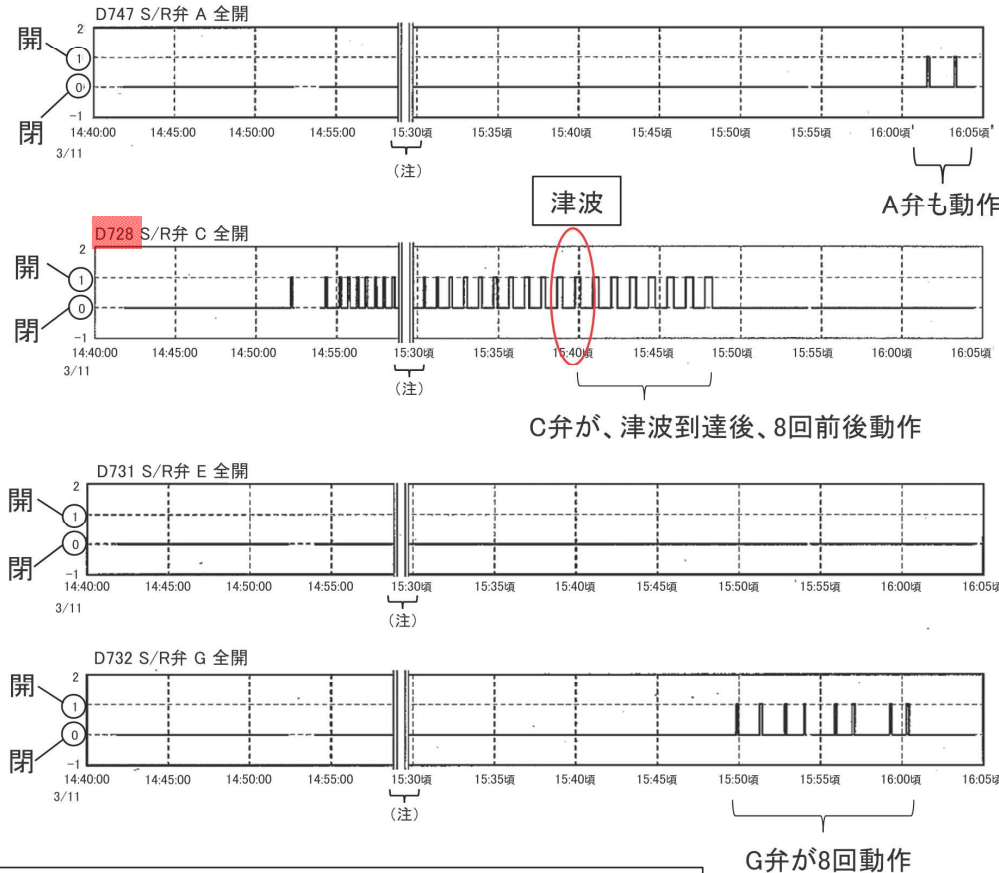
アキュムレータによる逃し弁の動作

逃がし安全弁Cの開閉記録

開閉回数	3/11時刻	逃し安全弁C開	開閉回数	3/11時刻	逃し安全弁C開
1	14:51:50	オン	28	15:07:58	オン
	14:51:55	オフ		15:08:05	オフ
2	14:52:29	オン	29	15:08:39	オン
	14:52:35	オフ		15:08:46	オフ
3	14:53:03	オン	30	15:09:55	オン
	14:53:11	オフ		15:10:03	オフ
4	14:53:56	オン	31	15:11:09	オン
	14:54:04	オフ		15:11:16	オフ
5	14:54:48	オン	32	15:12:01	オン
	14:54:56	オフ		15:12:07	オフ
6	14:55:21	オン	33	15:13:32	オン
	14:55:29	オフ		15:13:39	オフ
7	14:55:53	オン	34	15:14:43	オン
	14:56:01	オフ		15:14:49	オフ
8	14:56:26	オン	35	15:15:54	オン
	14:56:34	オフ		15:16:00	オフ
9	14:57:00	オン	36	15:17:17	オン
	14:57:07	オフ		15:17:22	オフ
10	14:57:33	オン	37	15:19:01	オン
	14:57:41	オフ		15:19:06	オフ
11	14:58:06	オン	38	15:25:58	オン
	14:58:14	オフ		15:26:03	オフ
12	14:58:39	オン	39	15:27:19	オン
	14:58:47	オフ		15:27:24	オフ
13	14:59:13	オン	40	15:28:17	オン
	14:59:21	オフ		15:28:23	オフ
14	14:59:47	オン	41	15:30:02	オン
	14:59:55	オフ		15:30:09	オフ
15	15:00:21	オン	42	15:30:51	オン
	15:00:29	オフ		15:30:58	オフ
16	15:00:56	オン	43	15:31:39	オン
	15:01:04	オフ		15:31:50	オフ
17	15:01:30	オン	44	15:32:32	オン
	15:01:38	オフ		15:32:45	オフ
18	15:02:04	オン	45	15:33:27	オン
	15:02:12	オフ		15:33:40	オフ
19	15:02:39	オン	46	15:34:23	オン
	15:02:46	オフ		15:34:37	オフ
20	15:03:12	オン	47	15:35:21	オン
	15:03:20	オフ		15:35:36	オフ
21	15:03:46	オン	48	15:36:19	オン
	15:03:54	オフ		15:36:36	オフ
22	15:04:21	オン	49	15:37:20	オン
	15:04:29	オフ		15:37:36	オフ
23	15:04:56	オン	50	15:38:20	オン
	15:05:03	オフ		15:38:40	オフ
24	15:05:30	オン	51	15:39:26	オン
	15:05:38	オフ		15:39:46	オフ
25	15:06:06	オン	52	15:40:33	オン
	15:06:14	オフ		15:40:54	オフ
26	15:06:42	オン	53	15:41:39	オン
	15:06:50	オフ		15:42:02	オフ
27	15:07:19	オン	54	15:42:48	オン
	15:07:26	オフ		15:43:12	オフ

(3号機アラームタイプに基づく)

3号機 SR弁の動作



C弁→G弁→A弁の順で動作

東京電力「過渡現象記録装置データ」(平成23年5月)を基に作成

14:41:50~15:43:12、合計54回にわたった(3号機アラームタイプに基づく)。14:59頃から約30分間の過渡現象記録とその前後のSR弁の開閉動作に関する記録と整合する。
なお、アラームタイプには、SR弁の開閉に関する記録はない。

15:00	41	0	4	8	10	D616	MSIV	内側	ACロジック	トリップ	オン	
15:00	41	0	8	5	70	D616	MSIV	内側	ACロジック	トリップ	オフ	
15:00	41	2	5	4	30	D706	6.9KV	メタクラ	3D	母線電圧喪失	オン	
15:00	41	3	9	7	30	D625	逃し安全弁	C	開		オフ	
15:00	41	4	8	0	60	D639	CS系	A	起動		オフ	
15:00	42	0	2	9	10	D625	逃し安全弁	C	開		オン	
15:00	42	4	8	9	60	D625	逃し安全弁	C	開		オン	
15:00	43	1	2	5	90	D625	逃し安全弁	C	起動		オン	
15:00	43	3	2	8	00	D639	CS系	A	起動		オフ	
15:00	43	4	1	2	50	D658	主蒸気管	圧力	低	B1	オフ	
15:00	43	4	1	2	50	D679	原子炉水位	低	(L-2 MSIV)	B	オフ	
15:00	4	4	2	1	10	D575	PLR	MG	セット	モーター	A	オン

現地調査の実施状況について

2020年10月16日

東京電力福島第一原子力発電所事故対策室

- (1) 2号機原子炉建屋内調査について
(令和2年10月8日、9月10日 (予備調査))
- (2) 3号機原子炉建屋内調査について
(令和2年9月17-18日、9月11日 (試料採取))
- (3) 1号機タービン建屋内調査について
(令和2年10月9日)
- (4) 現地調査時の動画

(1) 2号機原子炉建屋内調査について

(令和2年10月8日、9月10日 (予備調査))

(1) 2号機原子炉建屋内調査の実施概要

(1) 目的

これまでの現地調査等において、2号機のシールドプラグは汚染レベルが高いことが確認されており、シールドプラグの下面には極めて多量(約70PBq)の放射性物質が存在している可能性があると考えられる。

そのため、原子炉ウエルの排気を行う配管(原子炉建屋4階)付近やその下階(3階)等、これまで人の立ち入りによる調査実績がない2号機原子炉建屋内の汚染状況の調査として、線量計による線量測定及びスミア(ろ紙)による試料採取等を実施した。

(2) 場所

- ①2号機原子炉建屋4～1階(現地調査日:令和2年10月8日)
- ②2号機原子炉建屋予備調査(現地調査日:令和2年9月10日)

(1) 2号機原子炉建屋内調査の実施概要

(3) 調査日

令和2年10月8日、9月10日(予備調査)

(4) 調査実施者

令和2年10月 8日 原子力規制委員会委員長、原子力規制庁職員 9名

令和2年 9月10日 原子力規制庁職員 4名

(5) 被ばく線量

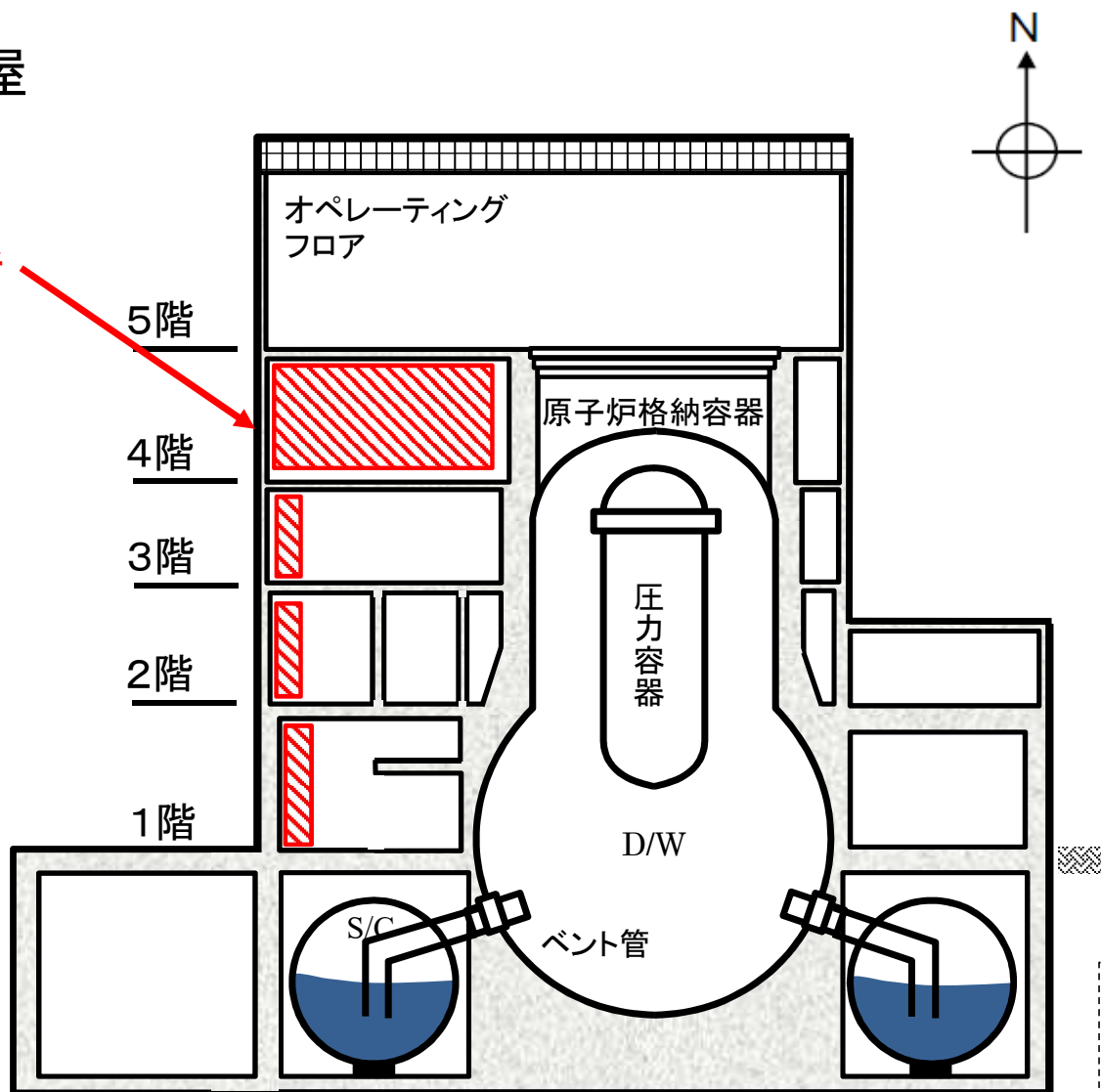
令和2年10月 8日 最大:1.87 mSv、最小:0.82 mSv (2号機原子炉建屋内入域者)

令和2年 9月10日 最大:1.31 mSv、最小:0.78 mSv

※被ばく線量[mSv]の最大、最小は、調査実施者のうち、最も被ばく線量の高い人の値と低い人の値を1日の合計値(同日に複数の調査を実施した場合は、他の調査による被ばく線量との合算値)として示した。

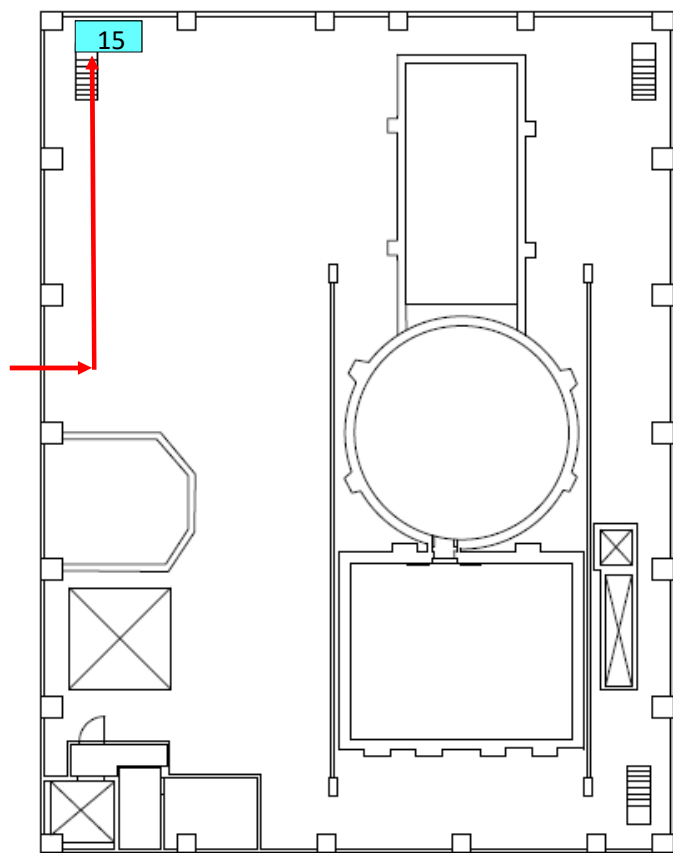
○2号機原子炉建屋
(東西断面)

現地調査箇所

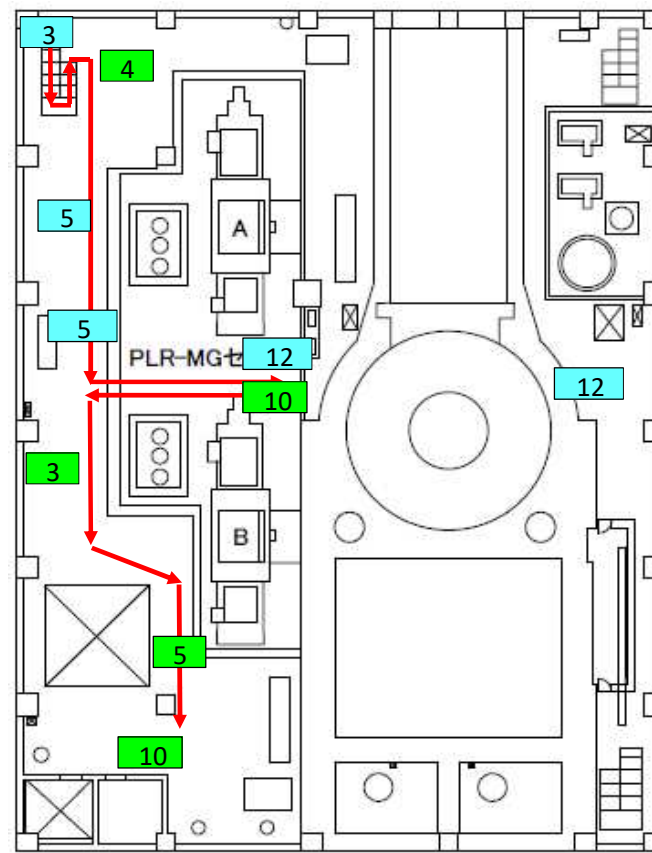


東京電力「福島第一原子力発電所
原子炉設置変更許可申請書」
(平成15年6月現在)を基に作成

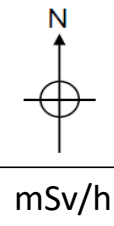
○現地調査ルート（2号機原子炉建屋（平面図））



5階



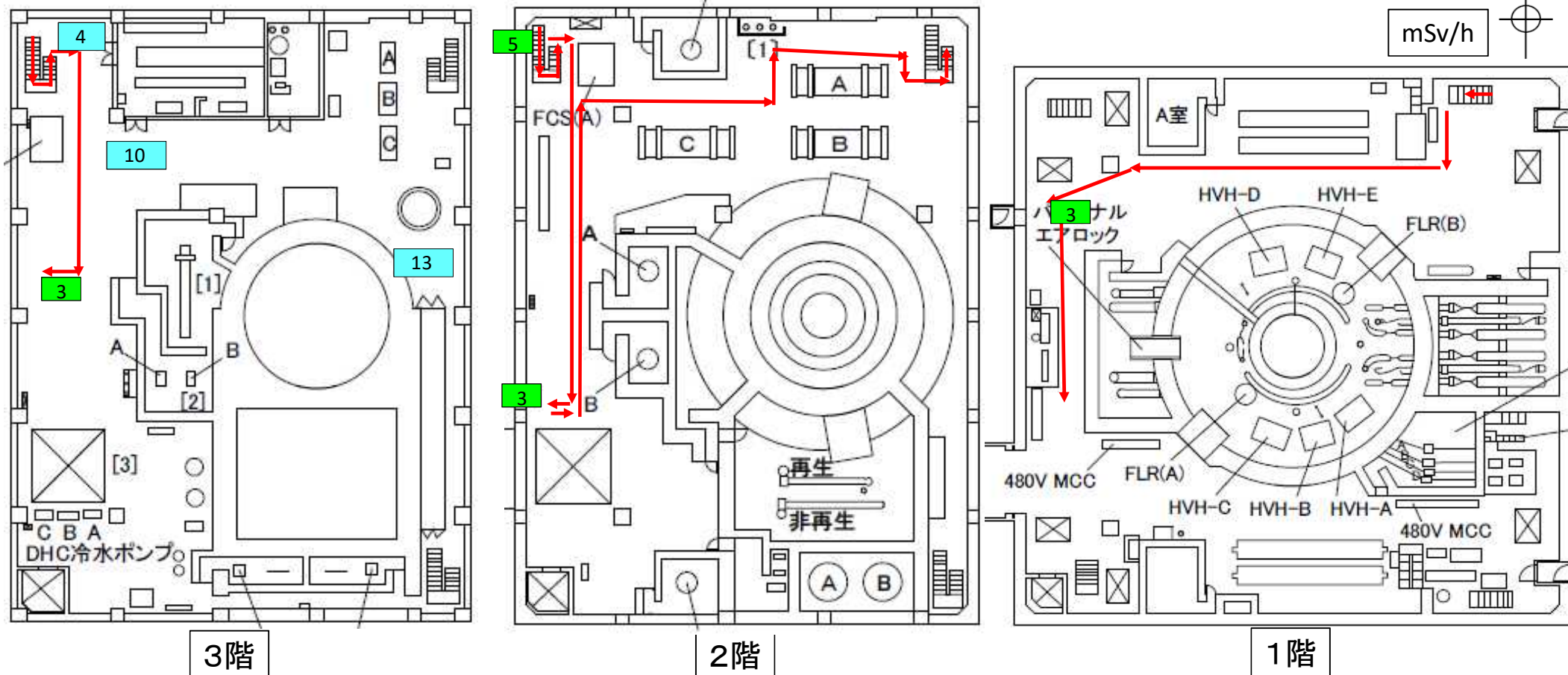
4階



※4階西側に示されている
PLR-MGセットの位置には、
実際にはインバータが設置
されている。

→ : 現地調査ルート(令和2年10月8日)
 : 原子力規制庁による測定結果(令和2年9月10日)
 : 原子力規制庁による測定結果(令和2年10月8日)
 ※図面は東京電力資料及び政府事故調報告書より抜粋一部加工

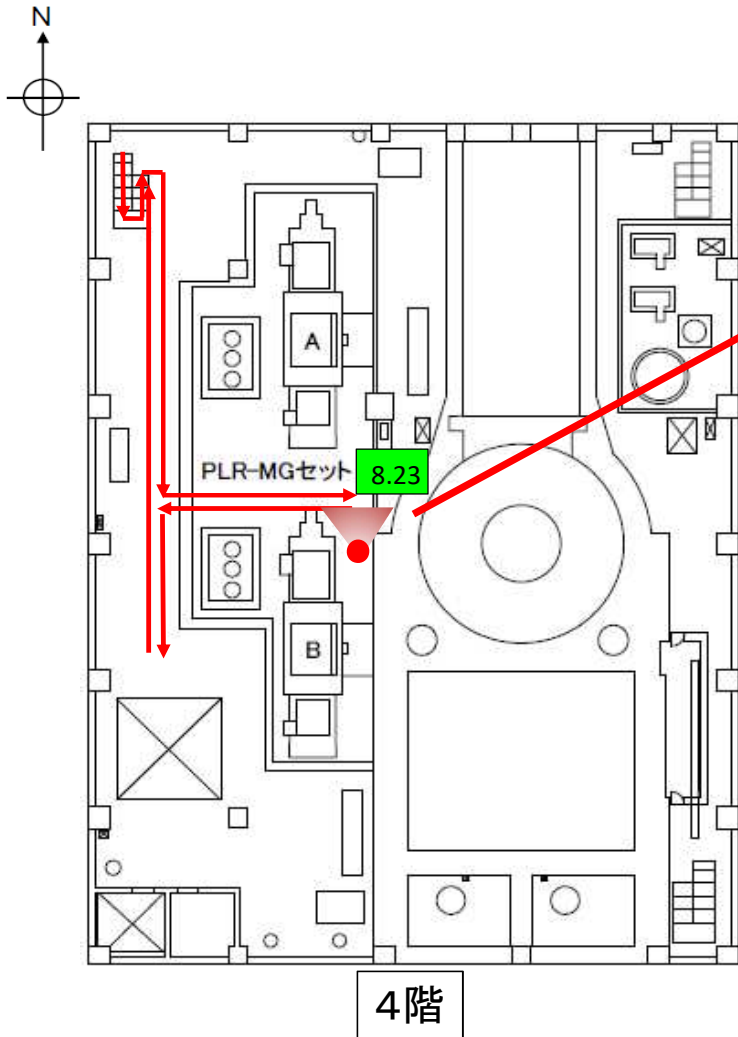
○現地調査ルート（2号機原子炉建屋（平面図））



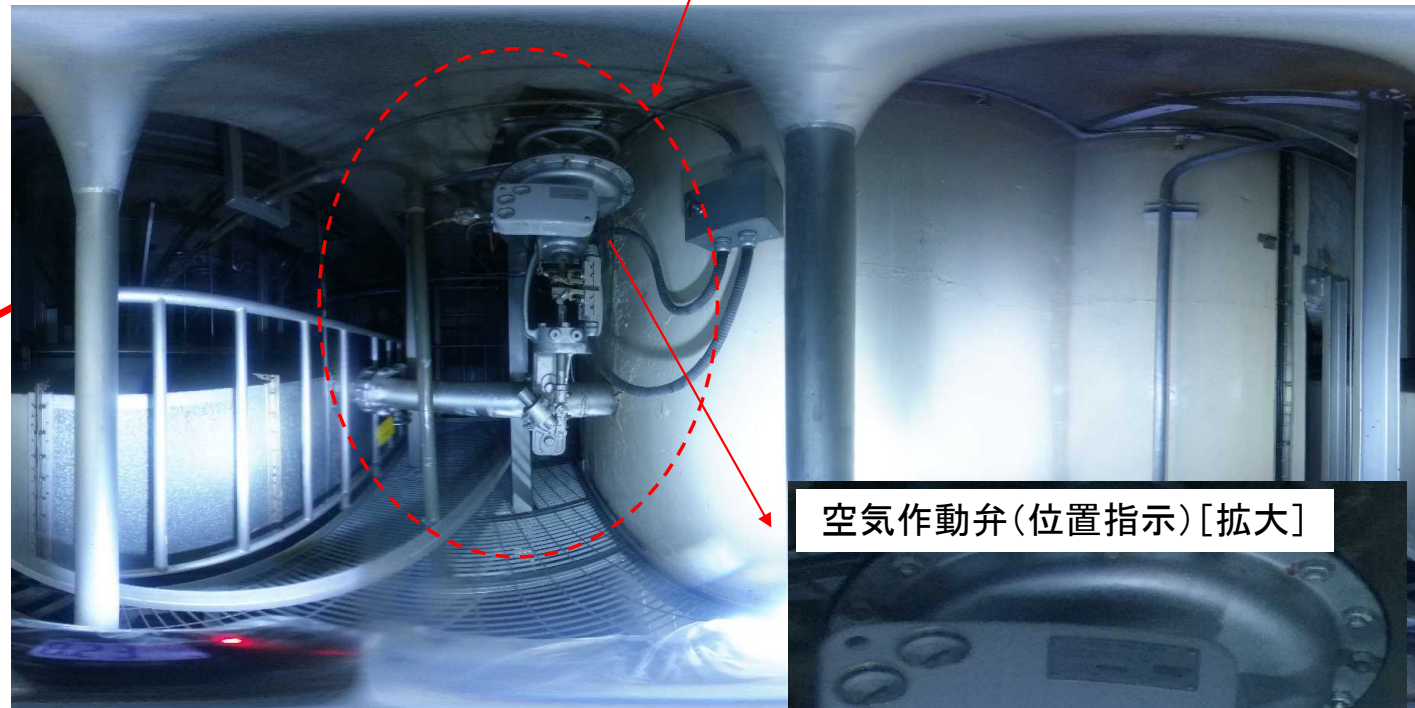
→ : 現地調査ルート(令和2年10月8日)
 : 原子力規制庁による測定結果(令和2年9月10日)
 : 原子力規制庁による測定結果(令和2年10月8日)

※図面は東京電力資料及び政府事故調報告書より抜粋一部加工

○2号機原子炉建屋4階



原子炉ウエルの排気を行う配管(リアクターキャビティ差圧調整ダクト)及び空気作動弁



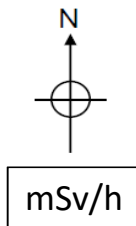
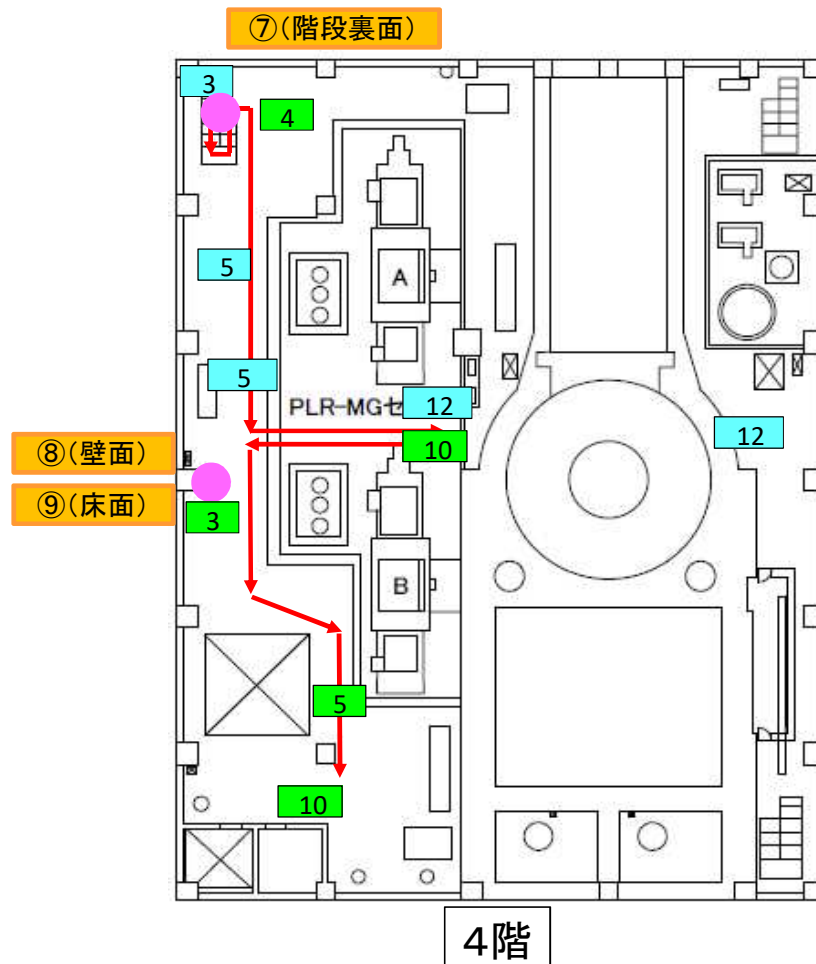
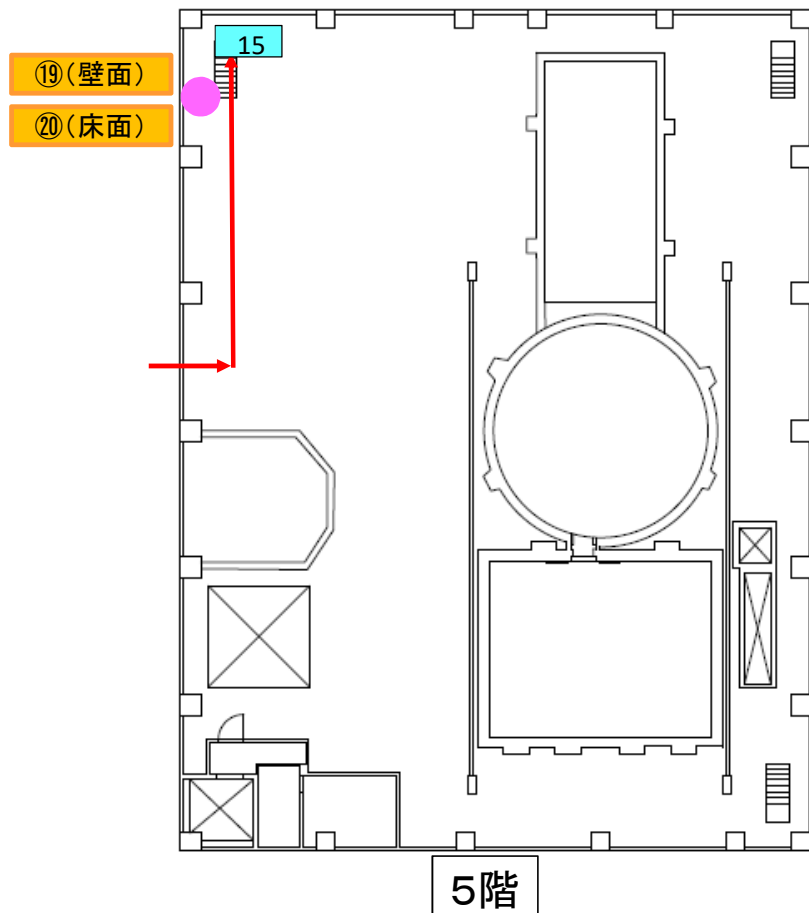
空気作動弁(位置指示)[拡大]

8.23 : 原子力規制庁による測定結果(令和2年10月8日)
mSv/h

写真は、令和2年10月8日
原子力規制庁撮影

図面は東京電力資料及び政府事故調報告書より抜粋一部加工

○2号機原子炉建屋 スミア採取



※4階西側に示されている
PLR-MGセットの位置には、
実際にはインバータが設置
されている。

● : スミア採取箇所
 : スミア試料番号(実際の試料番号を記載)
 : 原子力規制庁による測定結果(令和2年9月10日)
 : 原子力規制庁による測定結果(令和2年10月8日)
 ※図面は東京電力資料及び政府事故調報告書より抜粋一部加工

(2) 3号機原子炉建屋内調査について

(令和2年9月17-18日、9月11日 (試料採取))

(2) 3号機原子炉建屋内調査の実施概要

(1) 目的

3号機原子炉建屋の3階西側では梁や天井の損傷が確認されている。損傷が確認された小梁の上部(4階床面)等の状況を確認するために、3階天井の開口部から4階の床面付近の調査を行った。

また、水素爆発による原子炉建屋への発生応力等の影響を検討するため、3号機原子炉建屋3階西側の大梁及び小梁の損傷状況を調査した。

原子炉建屋内の汚染状況を検討するため、3号機タービン建屋内に飛散したがれき試料(原子炉建屋内壁と思われるもの)の採取を行った。

(2) 場所

①3号機原子炉建屋3階(調査日:令和2年9月18日)

②3号機タービン建屋(がれき試料採取)(採取日:令和2年9月11日)

(2) 3号機原子炉建屋内調査の実施概要

(3) 調査日

令和2年9月17日(予備調査、4号機原子炉建屋内)、18日、9月11日(試料採取)

(4) 調査実施者

令和2年 9月17日 原子力規制庁職員 6名

令和2年 9月18日 原子力規制庁職員 6名

令和2年 9月11日 原子力規制庁職員 3名

(5) 被ばく線量

令和2年 9月17日 最大:0.01 mSv、最小:0.01 mSv

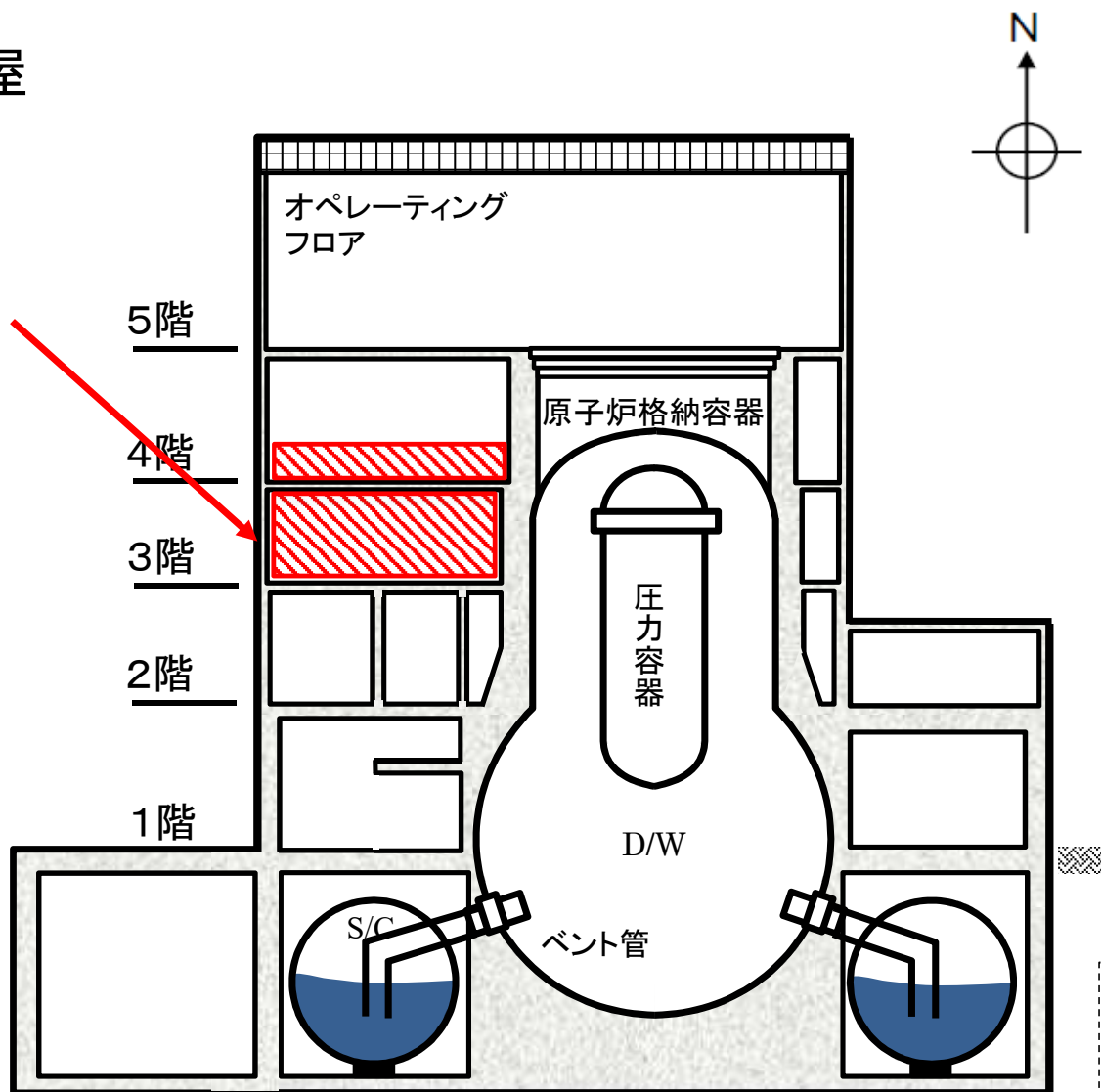
令和2年 9月18日 最大:3.31 mSv、最小:3.05 mSv

令和2年 9月11日 最大:0.15 mSv、最小:0.13 mSv

※被ばく線量[mSv]の最大、最小は、調査実施者のうち、最も被ばく線量の高い人の値と低い人の値を1日の合計値(同日に複数の調査を実施した場合は、他の調査による被ばく線量との合算値)として示した。

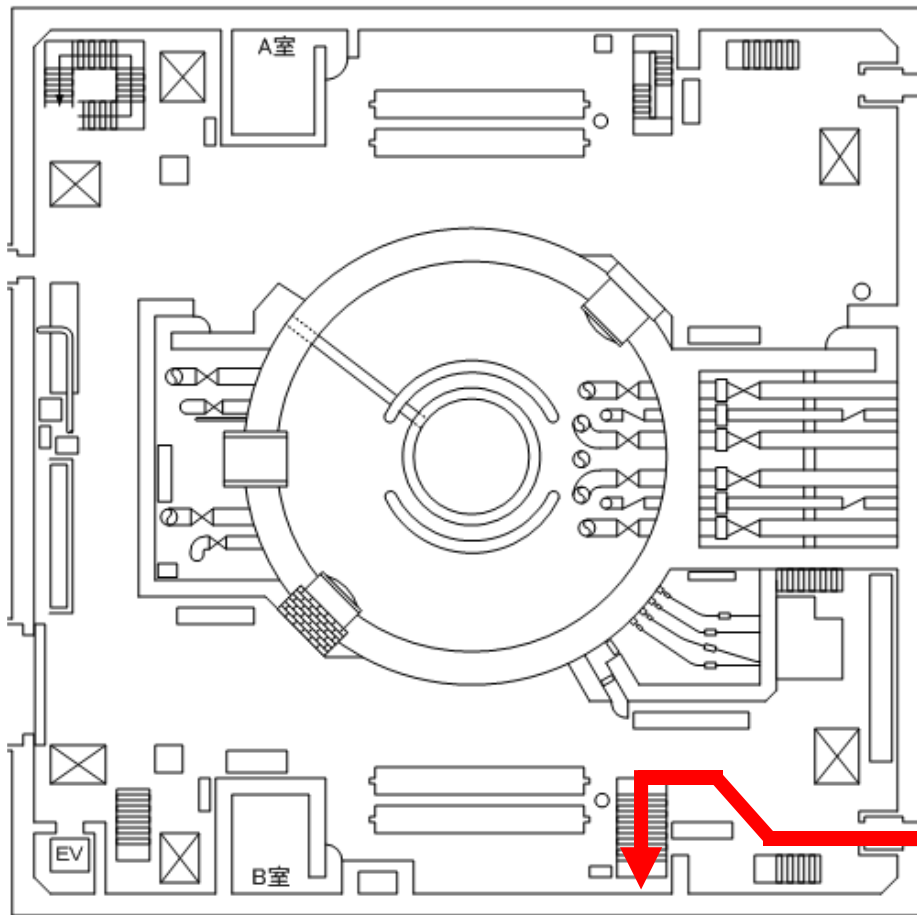
○3号機原子炉建屋 (東西断面)

現地調査箇所

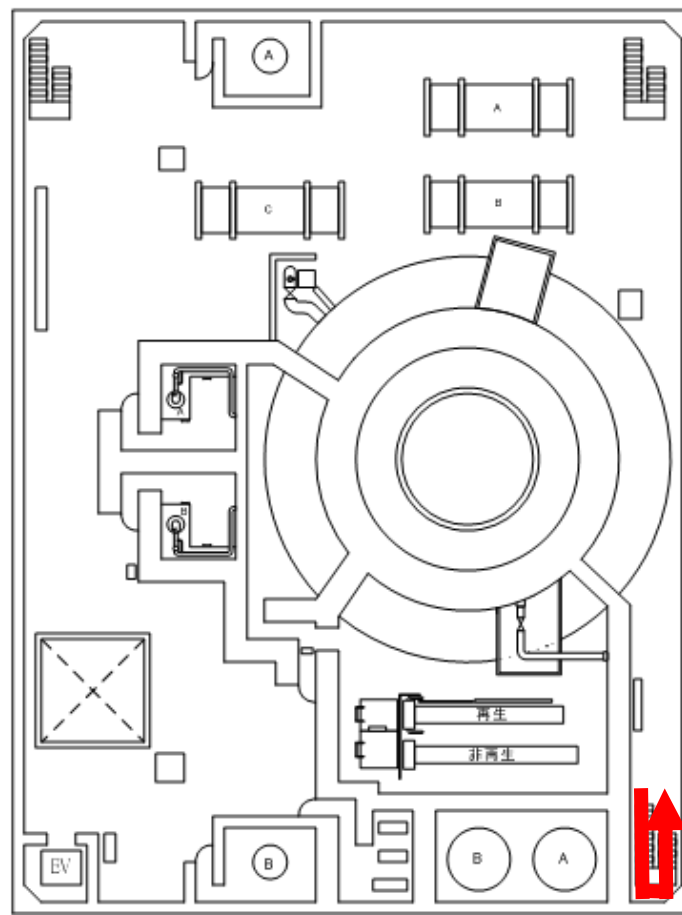


東京電力「福島第一原子力発電所
原子炉設置変更許可申請書」
(平成15年6月現在)を基に作成

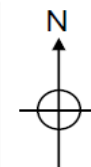
○現地調査ルート（3号機原子炉建屋（平面図））



1階



2階

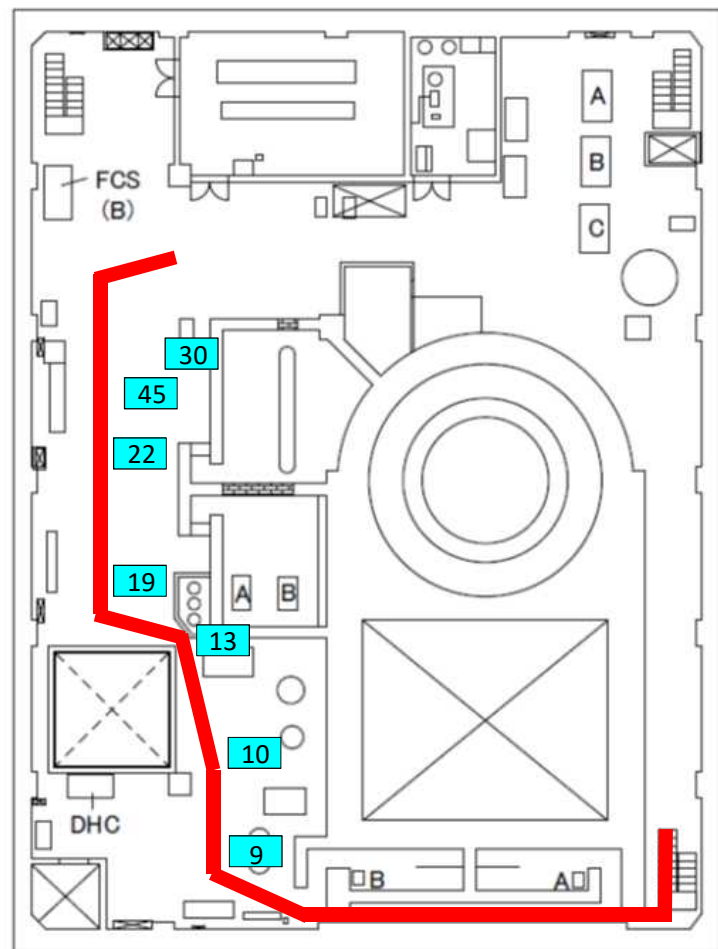



 現地調査ルート※
 （令和2年9月18日）

※令和元年12月12日の現地調査ルートと同じルート

図面は東京電力資料及び政府事故調報告書より抜粋一部加工

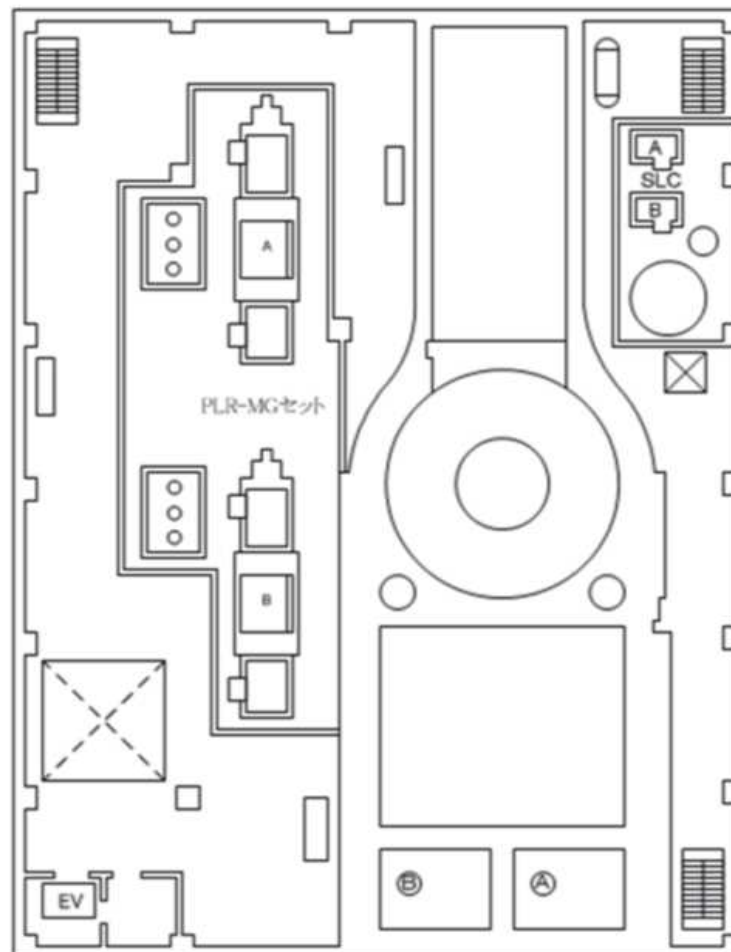
○現地調査ルート（3号機原子炉建屋（平面図））



mSv/h

3階

：原子力規制庁による測定結果（令和2年9月18日）



4階

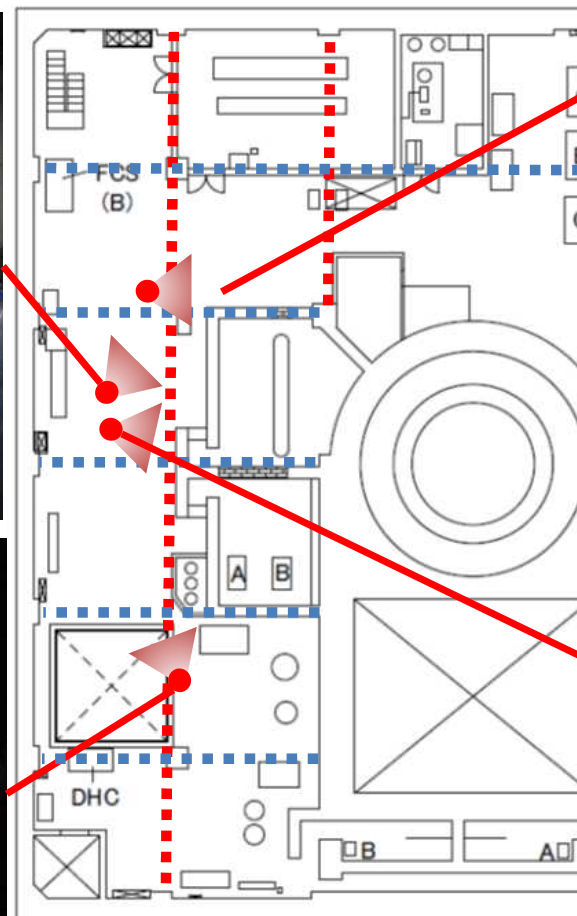


— 現地調査ルート※
（令和2年9月18日）

※令和元年12月12日の現地調査
ルートと同じルート

図面は東京電力資料及び政府事故調報告書より抜粋一部加工

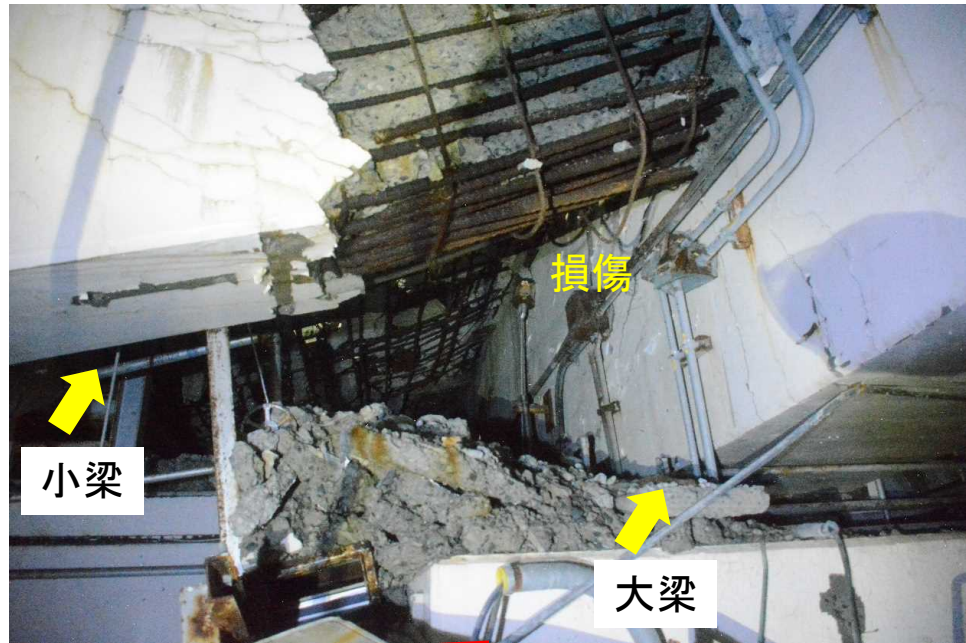
○3号機原子炉建屋3階



写真は、令和2年9月18日
原子力規制庁撮影

図面は、東京電力資料及び政府事故調報告書より抜粋一部加工

○3号機原子炉建屋3階



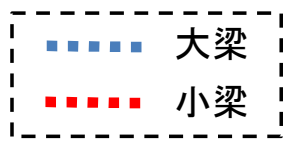
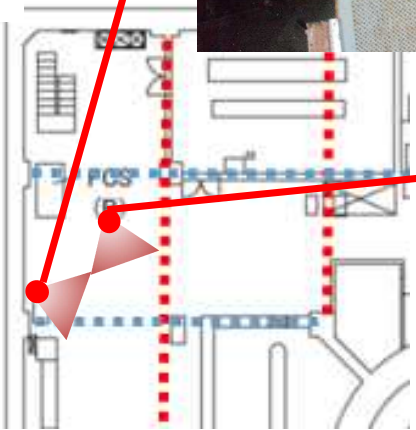
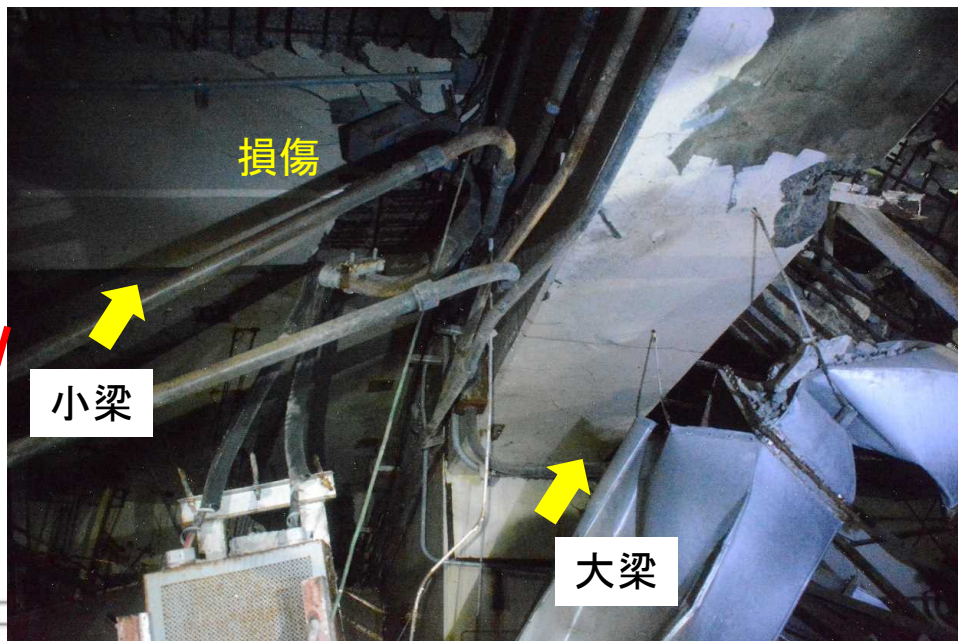
大梁
小梁

3階

写真は、令和2年9月18日
原子力規制庁撮影

図面は、東京電力資料及び政府事故調報告書より抜粋一部加工

○3号機原子炉建屋3階

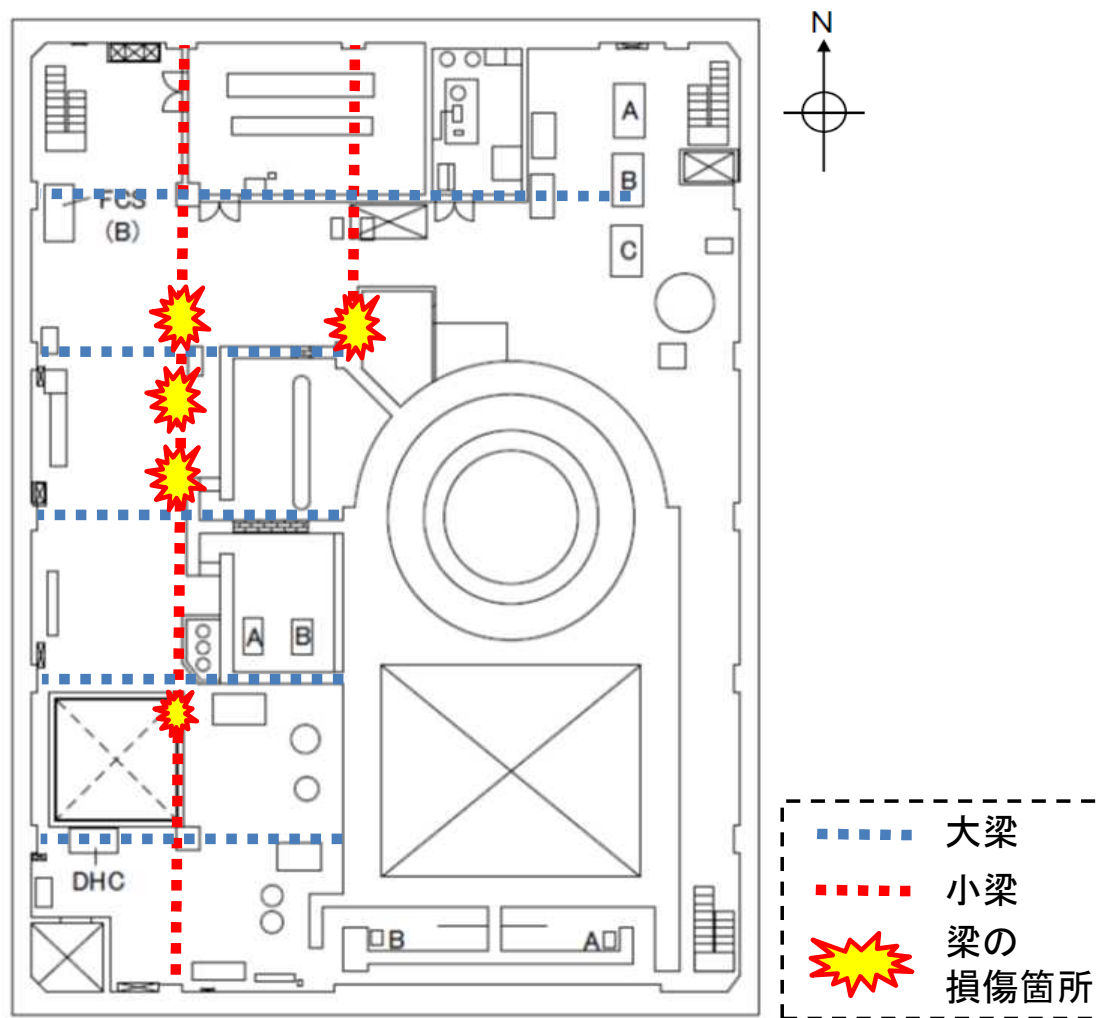


3階

写真は、令和2年9月18日
原子力規制庁撮影

図面は、東京電力資料及び政府事故調報告書より抜粋一部加工

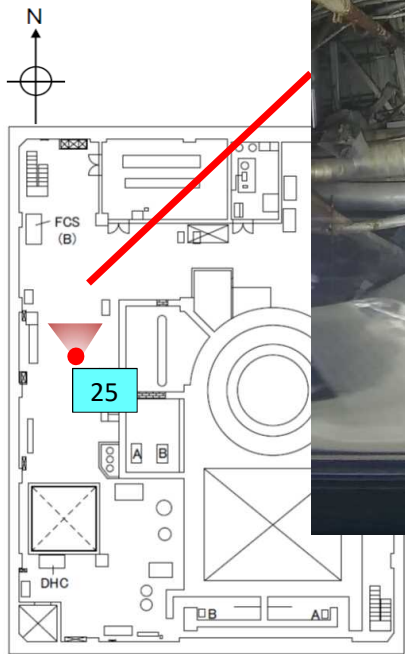
○3号機原子炉建屋3階 梁の損傷箇所



3階

図面は東京電力資料及び政府事故調報告書より抜粋一部加工

○3号機原子炉建屋3階(天井付近)



3階

■ : 原子力規制庁による測定結果(令和2年9月18日)

mSv/h

写真は、令和2年9月18日
原子力規制庁撮影

図面は、東京電力資料及び政府事故調報告書より抜粋一部加工

○3号機原子炉建屋4階



4階

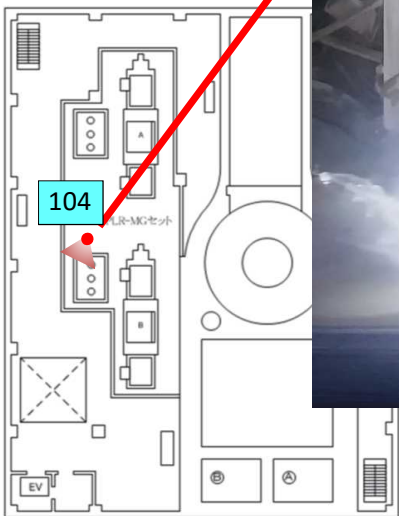
103 : 原子力規制庁による測定結果(令和2年9月18日)

mSv/h

写真は、令和2年9月18日
原子力規制庁撮影

図面は、東京電力資料及び政府事故調報告書より抜粋一部加工

○3号機原子炉建屋4階



4階

：原子力規制庁による測定結果（令和2年9月18日）

mSv/h

写真は、令和2年9月18日
原子力規制庁撮影

図面は、東京電力資料及び政府事故調報告書より抜粋一部加工



上方のグレーチングの状況



設備の大規模な損傷は見られない



床面ががれきが散乱している



上方から落下したと思われるグレーチング



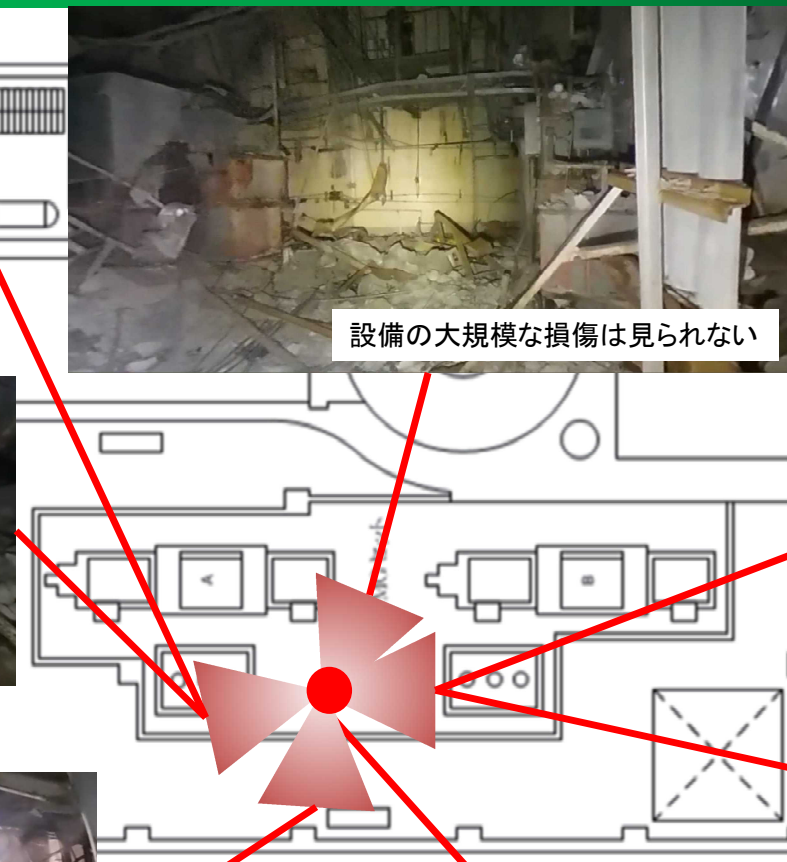
外壁は抜けているが、内部設備・鋼材の大規模な損傷は見られない



線量率の最大値:108 (mSv)
(床面から高さ数十cm程度の位置)



設備の大規模な損傷は見られない



●:カメラ位置 ◀:視野の方向

令和2年9月18日原子力規制庁撮影
※360度カメラの映像から抽出しているため、画像が湾曲している。
※360度カメラの外側に汚染防止のための透明カバーを付けているため、光が屈折している場合がある。

(3) 1号機タービン建屋内調査について
(令和2年10月9日)

(3) 1号機タービン建屋内調査の実施概要

(1) 目的

1号機タービン建屋2階非常用ガス処理系(SGTS)室内は高線量のため、室内に設置されているSGTSフィルタ、SGTS配管、耐圧強化ベント配管等の線量測定が実施できていない。

今後、詳細なSGTSラインの汚染状況の調査、検討を行うため、1号機タービン建屋2階SGTS室へのアクセス性、室内状況の確認を行った。

(2) 場所

①1号機タービン建屋2階SGTS室内(調査日:令和2年10月9日)

(3) 1号機タービン建屋内調査の実施概要

(3) 調査日

令和2年10月9日

(4) 調査実施者

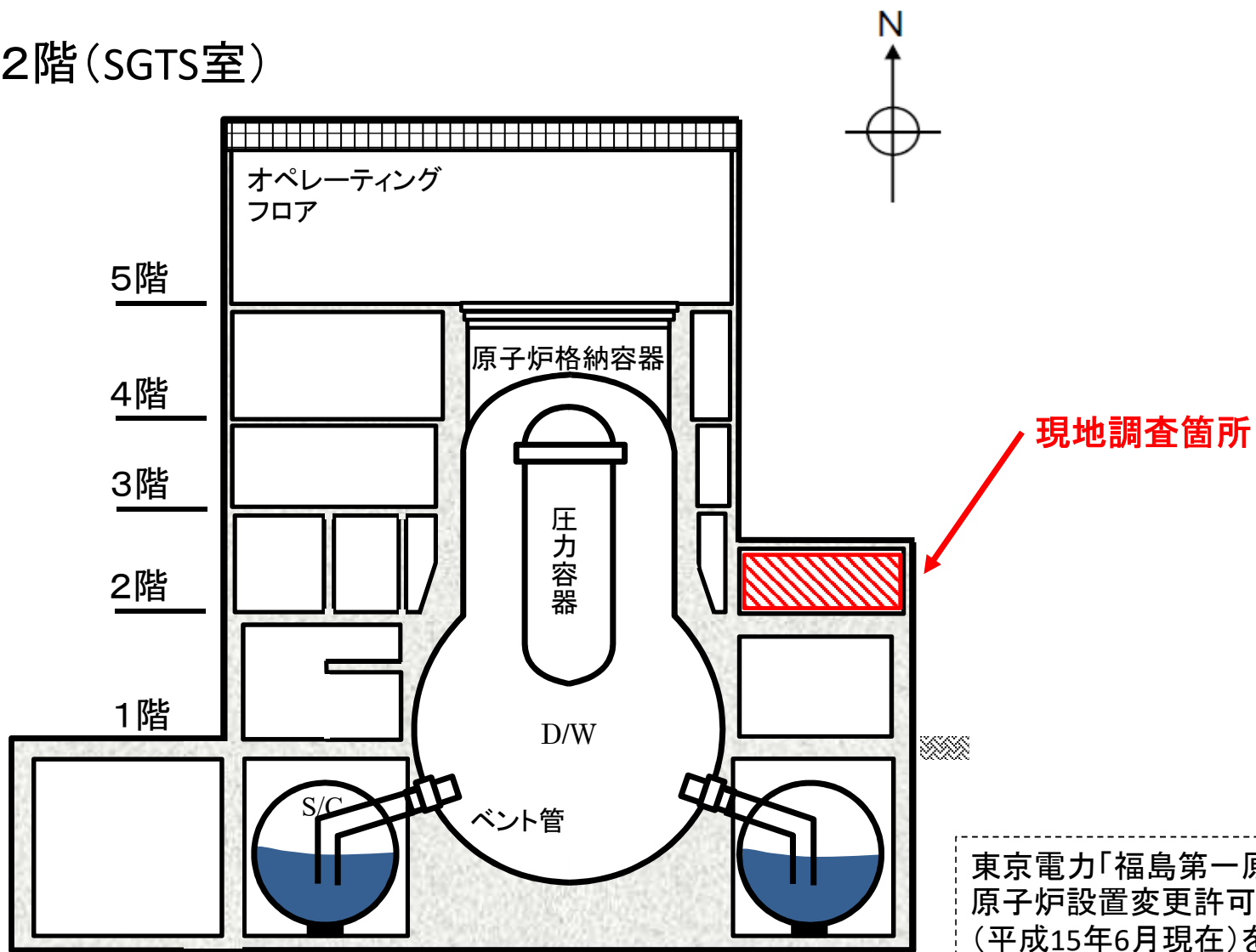
令和2年10月9日 原子力規制庁職員 5名

(5) 被ばく線量

令和2年10月9日 最大:1.15 mSv、最小:0.65 mSv

※被ばく線量[mSv]の最大、最小は、調査実施者のうち、最も被ばく線量の高い人の値と低い人の値を1日の合計値(同日に複数の調査を実施した場合は、他の調査による被ばく線量との合算値)として示した。

○1号タービン建屋2階(SGTS室)
(東西断面)



東京電力「福島第一原子力発電所
原子炉設置変更許可申請書」
(平成15年6月現在)を基に作成

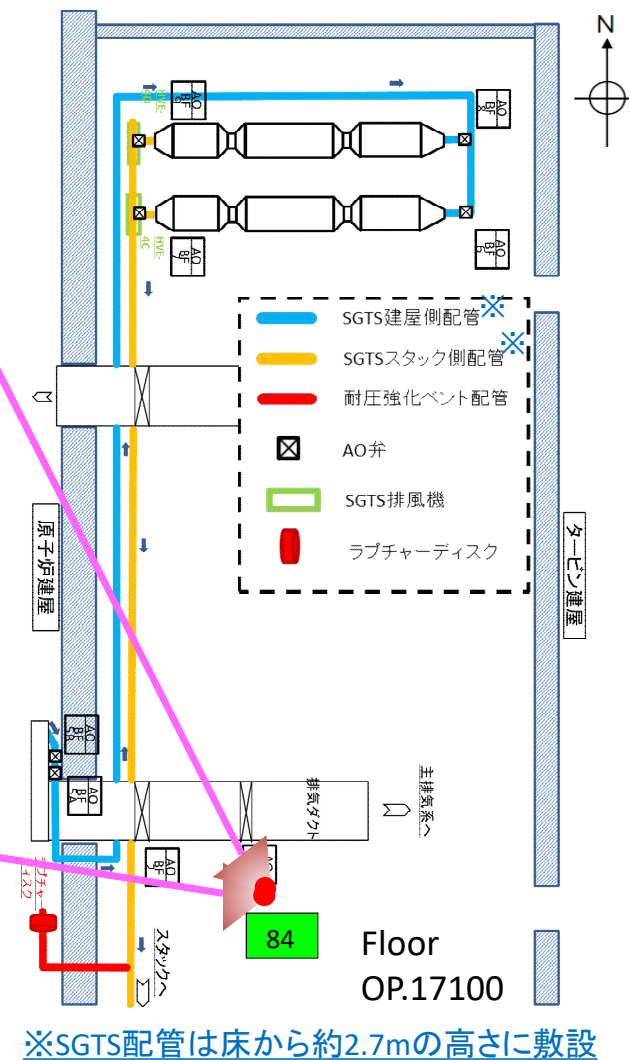
○現地調査ルート（1号機タービン建屋2階（SGTS室））



○1号機SGTS室内概要図



写真は、令和2年10月9日
原子力規制庁撮影



84 : 原子力規制庁による測定結果(令和2年10月9日)
mSv/h

(4) 現地調査時の動画

資料3-1: 2号機原子炉建屋内の現地調査時の動画(令和2年10月8日原子力規制庁撮影)

<https://www.youtube.com/watch?v=xgN2kCOrn9k>

<https://www.nicovideo.jp/watch/so37644822>

資料3-2: 3号機原子炉建屋内の現地調査時の動画(令和2年9月18日原子力規制庁撮影)

<https://www.youtube.com/watch?v=2ogtUCOnQDg>

<https://www.nicovideo.jp/watch/so37669375>

資料3-3: 3号機原子炉建屋内(4階)の現地調査時の動画(令和2年9月18日原子力規制庁撮影)

<https://www.youtube.com/watch?v=bQ-ROid740c>

<https://www.nicovideo.jp/watch/so37669649>

資料3-4: 1号機タービン建屋内の現地調査時の動画(令和2年10月9日原子力規制庁撮影)

<https://www.youtube.com/watch?v=7KX-mmwh93c>

<https://www.nicovideo.jp/watch/so37669753>